

RESUMO-NOTAS/ABSTRACT-NOTES

Através do estudo de feições morfológico-estruturais de formas lineares (lineamentos) presentes em imagens orbitais dos sensores TM e MSS dos satélites da série LANDSAT e em imagens SLAR obtidas para o projeto Radambra sil, referente à região leste do Estado de São Paulo e adjacências, procura -se estabelecer as relações estruturais e a cronologia relativa entre os di versos sistemas de lineamentos existentes. São identificados sete sistemas de lineamentos. Os três sistemas mais antigos têm seus lineamentos distribuí dos preferencialmente ao longo de faixas no terreno e representam zonas de cisa lhamento proterozóicas ligados a um tectonismo transcorrente. Esses lineamen tos são responsáveis pelas notáveis feições topográficas lineares da área, principalmente na direção E-NE. Os outros quatro sistemas identificados são mais novos e distribuem-se homogeneamente por toda a área. Estes são interpre tados como ligados ao tectonismo meso-cenozóico e à abertura do Atlântico Sul, sendo associados ao modelo de cisalhamento de Riedel. No Meso-Cenozóico e ve rificada também a reativação de dois dos sistemas antigos de lineamentos.

- OBSERVAÇÕES/REMARKS -

Dissertação de Mestrado em Sensoriamento Remoto, aprovada em Outubro de 1987.

Aprovada pela Banca Examinadora

em cumprimento a requisito exigido

para a obtenção do Título de Mestre

em Sensoriamento Remoto

Dr. Juércio Tavares de Mattos

Presidente

Dr. Liu Chan Chiang

Orientador

Dr. Alberto Pio Fiori

Memoro da Banca -convidado-

Dr. Gilberto Amaral

Membro da Banca -convidado-

Dr. Paulo Veneziani

Membro da Banca

Candidata: Isabel Cristina Franchitto Cacarelli

São José dos Campos, 28 de outubro de 1987

A José Carlos e Camila

AGRADECIMENTOS

Agradeço a todos que, de alguma forma, contribuiram para a realização deste trabalho; em particular ao Prof. Dr. Liu Chan Chiang péla orientação da pesquisa; ao Prof. Dr. Yocitery Hasui por sua colaboração e discussão acerca da tectônica regional; ao geólogo Edson Eygi Sano pela ajuda nos trabalhos de campo; à Jose Carlos Cecarelli pela leitura crítica e revisão do texto; e ao Instituto de Pesquisas Espaciais (INPE) e Fundação de Amparo à Pesquisa do Estado de São Paulo (FA PESP) pelo fornecimento de meios à realização do trabalho.

ABSTRACT

Based on studying the linear morphostructural features (lineaments) exhibited in Landsat - TM and - MSS and SLAR images of the east region of São Paulo State and the neighboring terrains, structural relations and relative chronology of the diverse systems of lineaments can be deduced. There are seven systems of lineaments to be identified, and three of them, revealed by notable linear topographic features principally in E-NE direction and concentrated as belts, may represent as shear zones in relation to a wrench tectonism and may be older than other four systems which are distributed homogeneously in all study region. The younger four systems of lineaments may be in relation to the opening of the South Atlantic during the Mesozoic-Cenozoic tectonism, and the older three systems may also be reactivated in these events. Joints are interpreted to be associated with the Riedel shear model.

<u>SUMÁRIO</u>

	<u>Pág</u> .
LISTA DE FIGURAS	xi
LISTA DE TABELAS	xv
CAPÍTULO 1 - INTRODUÇÃO	1
1.1 - Objetivos	1
1.2 - Localização da área	1
1.3 - Material utilizado	2
CAPÍTULO 2 - METODOLOGIA	. 5
2.1 - Princípios e conceitos geológicos básicos na aplicação de sensoriamento remoto para mapeamento de estruturas geológicas	5
2.2 - Lineamentos: definição do termo e critérios de identifica ção	7
2.3 - Importância dos ângulos de elevação e azimute solar na \underline{de} terminação das feições reais no terreno	10
2.4 - Sequência operacional de trabalho	13
CAPÍTULO 3 - CONTEXTO GEOLÓGICO REGIONAL	21
3.1 - Descrição das unidades litológicas e estratigráficas	28
3.1.1 - Complexo Costeiro	28
3.1.2 - Complexo Paraíba do Sul	29
3.1.3 - Grupo Açungui	29
3.1.4 - Rochas granitóides	31
3.1.5 - Magmatismo ultrabásico à intermediário	32
3.1.6 - Magmatismo alcalino	33
3.1.7 - Sedimentos cenozóicos (Formações Caçapava, Tremembé e	
Resende)	33
3.2 - Expressão geomorfológica	34
3.3 - Grandes estruturas	. 39
CAPÍTULO 4 - LINEAMENTOS: EXPRESSÃO NA IMAGEM	45
CAPÍTULO 5 - CORRELAÇÃO ENTRE LINEAMENTOS E DADOS DE CAMPO	57
CAPÍTULO 6 - DISCUSSÃO DOS RESULTADOS	67

	<u>Pāg</u> .
 6.1 - Introdução 6.2 - Geometria das zonas de ruptura 6.3 - Integração dos dados 	67 67 75
CAPÍTULO 7 - CONCLUSÕES	85
REFERÊNCIAS BIBLIOGRÁFICAS	89
APÊNDICE A - MAPA DE LINEAMENTOS ESTRUTURAIS	
APÊNDICE B - MAPA DE LINEAMENTOS ESTRUTURAIS DO SISTEMA B	
APÊNDICE C - MAPA DE LINEAMENTOS ESTRUTURAIS DO SISTEMA C	
APÊNDICE D - MAPA DE FEIXES DE LINEAMENTOS DOS SISTEMAS A, B, C	
APÊNDICE E - MÀPA DE LINEAMENTOS ESTRUTURAIS DO SISTEMA D	
APÊNDICE F - MAPA DE LINEAMENTOS ESTRUTURAIS DO SISTEMA E	
APÊNDICE G - MAPA DE LINEAMENTOS ESTRUTURAIS DO SISTEMA F	
APÊNDICE H - MAPA DE LINEAMENTOS ESTRUTURAIS DO SISTEMA G	
APÊNDICE I - DADOS ESTRUTURAIS DE CAMPO	
APËNDICE J - MAPA DE PONTOS	
APÊNDICE L - REALCE DE LINEAMENTOS ESTRUTURAIS ATRAVÉS DE TEĆN <u>I</u> CAS DE FILTRAGENS DIGITAIS	

LISTA DE FIGURAS

			Pag.
1.1	***	Localização da área	2
1.2	-	Índice de recobrimento das imagens LANDSAT/TM e MSS e ima gens SLAR	3
2.1	-	Imagem TM/LANDSAT, passagem do dia 22/06/84, órbita 218/ ponto 76, banda 4, elevação solar 30°, azimute solar 42°.	11
2.2	-	Imagem MSS/LANDSAT, passagem do dia 25/06/84, órbita 150/ponto 28, banda 7, elevação solar 22 ⁰ , azimute solar 49 ⁰	12
2.3	-	Imagem MSS/LANDSAT, passagem dia 31/01/78, órbita 150/ ponto 28, banda 7, elevação solar 41°, azimute solar 93°	12
2.4	-	Mosaico de imagem SLAR obtidas para o projeto Radambrasil com direção de iluminação E-W	13
2.5	_	Diagrama de fluxo de trabalho	14
3.1	-	Provincias estruturais do Brasil	21
3.2	_	Evolução lito-estrutural do Pré-Siluriano	24
3.3	_	Distribuição das unidades pré-cambrianas	25
3.4	-	Possível evolução tectôno-magmática da borda continental da bacia de Santos	27
3.5	-	Distribuição dos corpos granitóides	31
3.6	_	Unidades geomorfológicas	36
3.7	_	Zonas de cisalhamento do sudeste brasileiro	39
3.8	-	Principais falhas da região estudada	41
		Falhas de gravidade associadas à bacia de Taubaté	44
4.1	_	Mapa de lineamentos estruturais fotointerpretados	45
4.2	_	Mapa de feixes de lineamentos dos sistemas A, B, C	47
		Mapa de lineamentos estruturais do sistema B	49
		Mapa de lineametnos estruturais do sistema C	51
4.5	_	Mapa de lineamentos estruturais do sistema D	54
		Mapa de lineamentos estruturais do sistema E	54
		Mapa de lineamentos estruturais do sistema F	55
		Mapa de lineamentos estruturais do sistema G	56
		Perfis percorridos no campo	59
		Diagrama de juntas. Perfil 1: São José dos Campos-Caragua	60

	<u>Pāg</u> .
5.3 - Diagrama de juntas. Perfil 2: Taubaté-Ubatuba	61
5.4 - Diagrama de juntas. Perfil 3: Aparecida-Parati	61
5.5 - Diagrama de juntas. Perfil 4: Barra Mansa-BR-101	62
5.6 - Diagrama de juntas. Perfil 5: Parati-Angra dos Reis	62
5.7 - Diagrama de juntas. Perfil 6: Taubaté-Paraisópolis	63
5.8 - Diagrama de juntas. Perfil 7: Lorena-Itajubā	63
5.9 - Diagrama de foliações	64
6.1 - Estilos de deformação dos níveis estruturais de Mattauer	69
6.2 - Comparação entre estruturas de pico em zonas de cisalhamento de diferentes magnitudes	70
6.3 - Comparação entre estruturas de pos-picos em zonas de cisalha mento de diferentes magnitudes	71
6.4 - Comparação entre estruturas residuais em zonas de cisalha mento de diferentes magnitudes	72
6.5 - Modelo estrutural resultante de cisalhamento simples, no ca so, produzido por esforços de direção E-W com cisalhamento destral	73
6.6 - Tipos de falhas de rejeito produzindo subsidência de bacias em regime de extensão e elevação de blocos em regime de com pressão	74
6.7 - Desenvolvimento de zona de falha transcorrente trançada	75
6.8 - Grandes estruturas obtidas através de geofísica no Estado de Minas Gerais	77
6.9 - Os sistemas de lineamentos D, E e F segundo o modelo de cisa lhamento de Riedel	82
L.1 - Localização das áreas teste processadas nas escalas 1) 1:100.000, 2) 1:50.000 e 3) 1:25.000	L.3
L.2 - Mascara 3x3 utilizada na filtragem passa-baixa	L.5
L.3 - Composição colorida com bandas 3, 4 e 5 do TM (azul, verde e vermelho, respectivamente) obtida em escala 1:50.000	L.8
L.4 - Lineamentos estruturais extraidos à partir da Fig. L.3	L.8
L.5 - Primeira componente principal da area teste 2, com escala 1:50.000	L.9
L.6 - Filtragem usada para realçar lineamentos na direção NE	L.10
L.7 - Classificação dos lineamentos tonais na direção NE	L.10
L.8 - Filtragem usada para realçar lineamentos na direção NW	L.11
L.9 - Classificação de lineamentos tonais na direção NW	L.11

		<u>Pag</u> .
L.10 -	- Filtragem usada para realçar lineamentos na direção	E-W L.12
L.11 -	- Classificação dos lineamentos tonais na direção E-W	L.12

LISTA DE TABELAS

			<u>Pág</u> .
3.1	-	Unidades litológicas e litoestratigráficas do setor central da Provincia Mantiqueira	25
3.2	-	Unidades geomorfológicas	36
4.1	-	Direções dos sistemas de lineamentos fotointerpretados	46
5.1	-	Sistemas de juntas obtidos através de dados de campo e foto interpretação	64

CAPITULO 1

INTRODUÇÃO

A região leste do Estado de São Paulo e sul do Rio de Janeiro, apresenta um quadro tectônico-estrutural bastante complicado, embora muitos estudos venham-se desenvolvendo na area nos últimos anos.

Constituída por rochas pré-cambrianas em sua grande maioria, a região ostenta feições estruturais típicas de zonas de cisalhamento, cujas expressões topográficas ocorrem sob formas lineares muito visíveis em imagens obtidas por sensoriamento remoto.

Este aspecto, aliado à visão regional que essas imagens oferecem, permite realizar uma avaliação acerca de suas relações estruturais baseada em análises fotointerpretativas.

1.1 - OBJETIVOS

Este trabalho propõe-se a oferecer uma contribuição ao conhecimento tectônico-estrutural do leste paulista e adjacências, me diante a utilização de métodos fotointerpretativos aplicados a imagens orbitais dos sensores "Thematic Mapper" (TM) e "Multispectral Scanner System" (MSS) do sistema LANDSAT, e de imagens SLAR obtidas para o projeto RADAMBRASIL.

A dissertação apoia-se ainda no estudo da morfologia, que através de sensoriamento remoto, pode ser utilizada na obtenção de $i\underline{n}$ formações sobre a tectônica regional.

1.2 - LOCALIZAÇÃO DA ĀREA

A area estudada abrange a porção leste do Estado de São Paulo, sul de Minas Gerais e sul do Rio de Janeiro. Corresponde a região contida na imagem TM, órbita 218/ponto 76, na passagem do dia 22/06/84, apresentada na Figura 1.1.

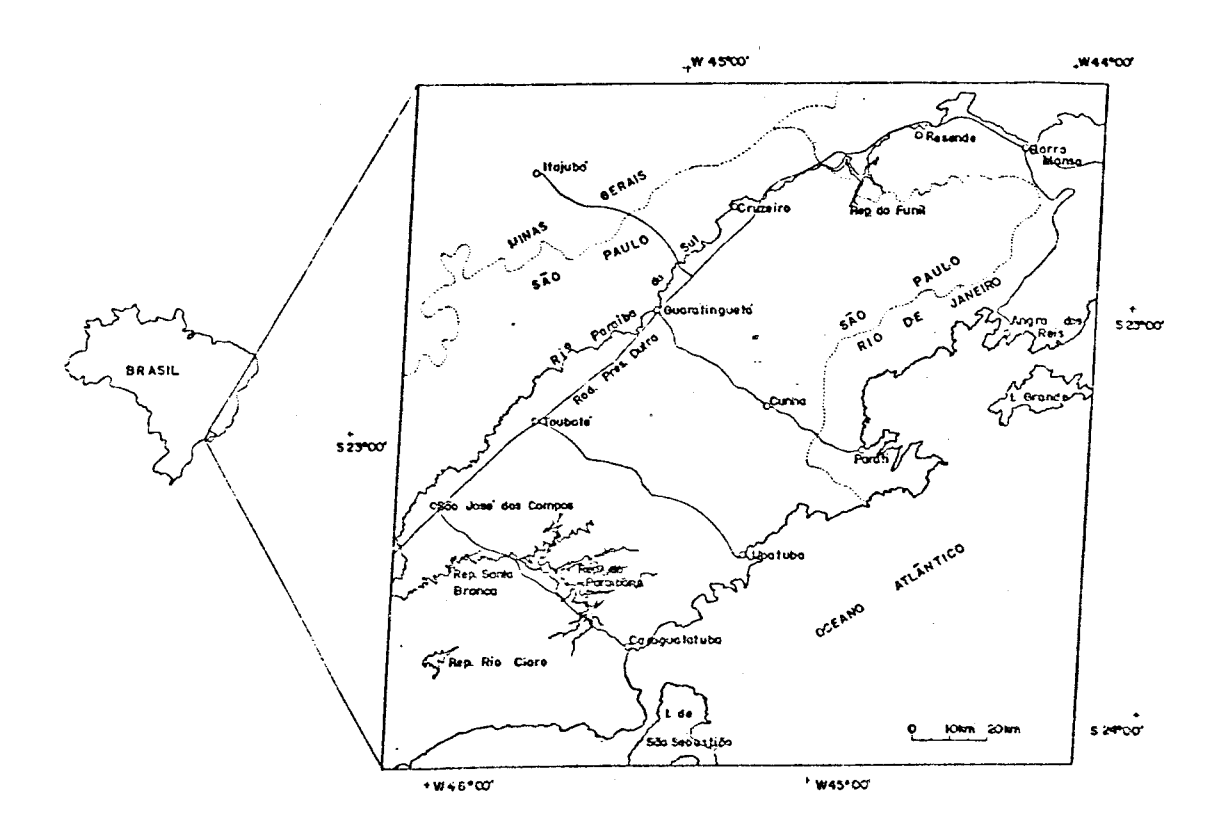


Fig. 1.1 - Localização da área.

1.3 - MATERIAL UTILIZADO

Foram utilizadas nesta pesquisa as seguintes imagens:

A - Imagens TM-LANDSAT INPE84174-122635.4 em papel fotográfico positivo referente à órbita 218, ponto 76, de 22 de junho de 1984, nas escalas:

1:1.000.000 - bandas 3, 4, 5, 7

1:500.000 - banda 4

1:250.000 - banda 4

B - Imagens MSS-LANDSAT em papel fotográfico positivo referente à órbita 150, ponto 28, de 25 de junho de 1976 (INPE-76177

-114204) e de 31 de janeiro de 1978 (INPE-78031-114657), nas escalas:

1:1.000.000 - 25 jun. 1976 - bandas 4, 5, 6, 7 - 31 jan. 1978 - bandas 4, 5, 6, 7 1:500.000 - 25 jun. 1976 - banda 7 1:250.000 - 25 jun. 1976 - banda 7 31 jan. 1978 - banda 7

C - Mosaicos SLAR na escala 1:250.000 com direção de iluminação E-W, compostos de "strips" obtidos em 1975/1976 com o radar GEMS-1000, tipo abertura sintética e visada lateral, banda X, para o Projeto RADAMBRASIL:

Folha SF-23-Y-B Folha SF-23-Y-D Folha SF-23-Z-C

0 recobrimento entre as diversas imagens $\tilde{\mathbf{e}}$ apresentado na Figura 1.2.

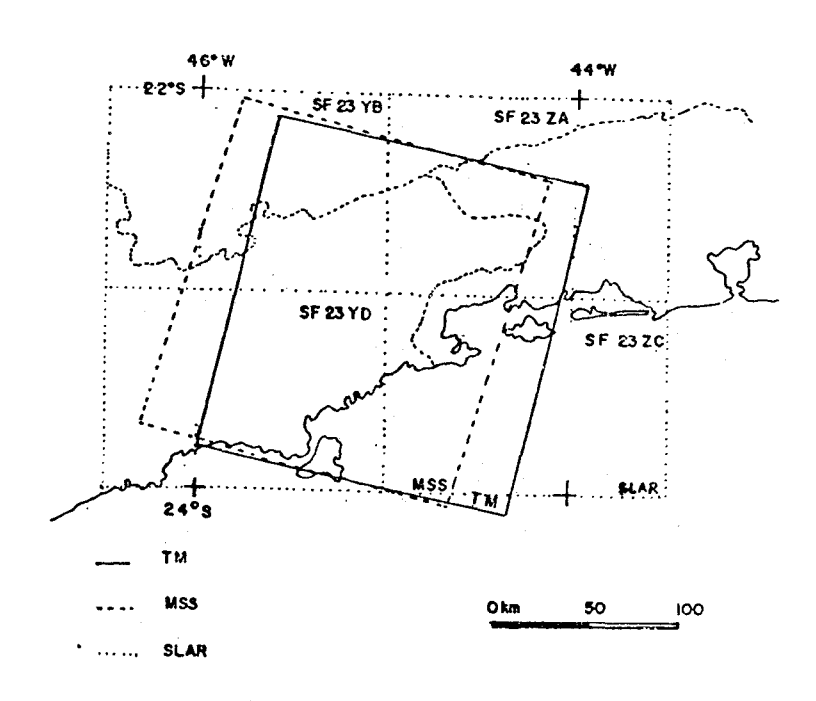


Fig. 1.2 - Indice de recobrimento das imagens LANDSAT (TM e MSS) e imagens SLAR.

CAPTTULO 2

METODOLOGIA

2.1 - PRINCÍPIOS E CONCEITOS GEOLÓGICOS BÁSICOS NA APLICAÇÃO DE SENSO RIAMENTO REMOTO PARA MAPEAMENTO DE ESTRUTURAS GEOLÓGICAS

A chave principal para a aplicação de sensoriamento remoto em estudos estruturais é a aquisição dos dados em uma escala compatível com o tipo de feições que devem ser analisadas (Liu, 1984).

A configuração das grandes estruturas e seus enquadramentos regionais são convencionalmente estudados através da compilação de mapas geológicos em grandes escalas, havendo o perigo de informações ou detalhes topográficos serem transferidos sem a devida segurança durante o processo de compilação.

As tecnicas de sensoriamento remoto orbital possibilitam a visão de grandes áreas, sendo particularmente valiosas para a geologia estrutural, na medida em que as formas de relevo, os padrões de deformação estrutural e as redes de drenagem são comumente expressos em dezenas a centenas de quilômetros, que são geralmente os intervalos recobertos por uma imagem espacial (Liu, 1984).

Um dos princípios básicos para o estudo de padrões de de formação e consequentes formas de relevo é o princípio morfotectônico.

Segundo o glossário geológico da AGI (Gary et alii, 1977), a morfologia \tilde{e} definida como uma feição topográfica que reflete a ex pressão de uma estrutura geológica.

A morfotectônica \tilde{e} definida como a interpretação de uma estrutura tectônica das feições morfológicas ou topográficas da superf $\tilde{\underline{1}}$ cie terrestre (Gary et alii, 1977).

Assim sendo, a morfotectônica pode ser entendida como o estudo das formas de relevo de significância regional ou tectônica, e como tal, e a base para a interpretação de estruturas geológicas em ima gens de sensoriamento remoto (Loczy e Ladeira, 1976).

Outro importante conceito no estudo de estruturas através de sensoriamento remoto \tilde{e} o de descontinuidade estrutural.

Entende-se por descontinuidade primaria em rochas sedimentares, os contatos geológicos entre as formações, as superfícies de acamamento e as incorformidades e, como descontinuidades secundárias, as feições estruturais impostas, tais como falhas, fraturas, juntas, cliva gem e foliação, que tiveram um papel ativo durante a deformação (Loczy e Ladeira, 1976).

Comumente, nessas descontinuidades, as rochas se intemperizam mais rapidamente e são caracterizadas por um alinhamento negativo das feições topográficas, como segmentos de vales retilineos, quebras negativas, gargantas, etc; ou ainda, quando preenchidas, podem ser expressas por cristas resistentes (Loczy e Ladeira, 1976).

Um outro conceito, o de estruturas superimpostas, está diretamente ligado a ocorrência de sucessivos eventos ou fases tectôni cas que imprimem novas formas às estruturas pre-existentes e produzem in terferências nos padrões estruturais, como é aparente em muitas faixas de dobramentos e na maioria dos embasamentos pre-cambrianos conheci dos (Ramsay, 1967). Este conceito é a principal base para se datar as estruturas relativamente umas às outras em rochas de deformações multiplas (Loczy e Ladeira, 1976).

O acumulo de pesquisas denota que os eventos ou fases tec tonicas principais geram morfoestruturas dominantes, de modo que o con ceito de estruturas superimpostas e fundamental nas determinações das diversas fases de deformação.

2.2 - LINEAMENTOS: DEFINIÇÃO DO TERMO E CRITÉRIOS DE IDENTIFICAÇÃO

O arranjo retilineo de estruturas em relação às feições to pográficas tem sido observado e estudado ha muito, principalmente depois do desenvolvimento e difusão de técnicas de sensoriamento remoto (Liu, 1984).

Não obstante, uma série de termos passaram a ser utiliza dos em trabalhos geológicos, cujas definições variam para diferentes au tores. Esses termos, com os respectivos significados adotados no presen te trabalho, são expostos a seguir.

O termo lineamento e utilizado aqui com o significado da do originalmente por Hobbs (1904), com as modificações introduzidas por O'Leary et alii (1976):

- "uma feição linear mapeavel, simples ou composta, continua ou descontinua, da superficie terrestre, cujas partes estão alinha das em um arranjo retilineo ou suavemente curvo e que difere distintamente dos padrões de feições que lhe são adjacentes e, presumivelmente, reflete um fenômeno da subsuperficie".

Sabins (1978), com base no trabalho de O'Leary et alii (1976), discutiu e redefiniu o termo lineamento: "compõe-se pelas fei ções lineares da superficie terrestre, podendo ser geomorficos (causados pelo relevo) ou tonais (causados por contrastes tonais). As feições no terreno podem ser formas de relevo, limites lineares entre diferentes ti pos de terrenos ou quebras dentro de uma unidade uniforme. Cursos d'agua retilineos e segmentos alinhados de vales são expressões geomorficas ca racterísticas dos lineamentos. Um lineamento tonal pode ser o limite re to entre áreas de tons contrastantes ou mesmo uma faixa realçada sobre fundo uniforme. Diferenças na vegetação, teor de umidade ou composição dos solos ou rochas, podem conduzir a acentuados contrastes tonais".

Também os termos linear, lineação e alinhamento são ge ralmente utilizados na fotointerpretação com significados não bastante claros.

O termo alinhamento é com frequência erroneamente empre gado como sinônimo de lineamento. Tal termo deve exprimir apenas uma co notação descritiva e genérica, como o arranjo alinhado retilíneo ou ar queado de formas na imagem (Soares et alii, 1982).

O termo linear por sua vez, foi definido por Sabin(1978) como "um adjetivo que descreve a natureza retilínea das feições no ter reno ou nas imagens e mapas"

O termo lineação foi definido por O'Leary et alii (1976) como um alinhamento estrutural de uma so dimensão dos componentes in ternos de uma rocha e que não pode ser marcado em um mapa como uma fei cão individual.

Esclarecidos os significados dos termos ora empregados, passa-se a exposição dos critérios utilizados para o traçado e classificação de lineamentos.

De maneira geral, foram utilizados aqui os princípios, critérios e técnicas de fotointerpretação estabelecidos por Soares e Fiori (1976), que enfocam a expressão topográfica do relevo como conse quência de fatores morfogenéticos, morfológicos e deformacionais, que por sua vez controlam a textura e a estrutura da imagem.

Foram utilizados também os critérios estabelecidos por Veneziani e Anjos (1980) que visam esepecificamente a interpretação de imagens de sensores orbitais.

Para o reconhecimento e traçado de lineamentos, foram utilizados os critérios de Liu (1984), que envolvem as expressões dos elementos topográficos retilíneos do relevo, tais como: linhas ou seg

mentos de escarpas; alinhamentos de cristas, vales e trechos de rios; la gos ou linhas de costa alongados; depressões alongadas (dolinas). Segun do esses critérios, lineamentos são também identificados através de fei cões lineares que separam terrenos com diferentes texturas. Todos esses elementos acima relacionados são, segundo Liu (1984), quase sempre con trolados estruturalmente.

Ainda segundo Liu (1984), os comprimentos dos lineamentos devem ser sempre objetivamente determinados. Deste modo, uma sequência de feições lineares com a mesma direção, mas não claramente continua, deve ser representada como uma sequência de lineamentos cujos comprimentos sejam compatíveis com os comprimentos de cada feição que representam. Assim, a dedução sobre seu significado geológico na etapa seguinte da interpretação será mais correta e confiável.

O criterio adotado para a classificação de lineamentos e aquele proposto por Liu (1984), que baseia-se no seu "trend" ou direção, uma vez que a direção não sofre mudanças com a variação da escala ou do observador, sendo um índice bastante objetivo.

Como existem algumas deficiências na classificação basea da apenas no trend dos lineamentos, principalmente no tocante a linea mentos curvos, Liu (1984) considera ainda outros seis fatores adicionais:

- a) padrões de distribuição (frequência);
- b) comprimentos relativos;
- c) relações mútuas de intersecção;
- d) grau de expressão;
- e) espaçamento entre lineamentos paralelos ou subparalelos;
- f) tendencia ao agrupamento.

Com base nestes conceitos chama-se sistema de lineamen tos a cada grupo com características similares de direção, padrões de distribuição, comprimentos relativos, etc.

2.3 - IMPORTÂNCIA DOS ÂNGULOS DE ELEVAÇÃO E AZIMUTE SOLAR NA DETERMINA ÇÃO DAS FEIÇÕES DO TERRENO

As diferentes passagens do LANDSAT sobre uma mesma região são realizadas com o sol ocupando diferentes posições relativas ao alvo durante o ano.

Deste modo, ocorrem variações de iluminação da cena de uma imagem para outra, havendo necessidade de se levar em conta no estudo de estruturas geológicas, o efeito da variação dos ângulos de elevação e azimute solar sobre a discriminação das feições do relevo. Devese pois, considerar em que condições de iluminação a topografia aparente na imagem representa uma melhor aproximação da topografia real.

Se as diferenças de contrastes entre as imagens obtidas nas diversas passagens forem abstraídas, ainda restarão diferenças vi síveis entre as cenas que não podem ser atribuídas apenas à variações na transmitância atmosférica, na irradiância solar, nas condições in trínsecas do alvo e no processamento fotográfico; tais diferenças resultam da variação do ângulo de incidência solar de uma data para outra (Novo, 1982).

O ângulo de iluminação solar ideal é função do relevo. Para a análise de formas de relevo em terrenos de topografia suave a moderada, a elevação solar ideal é em torno de 25⁰ (Liu, 1984). Em regiões montanhosas, as formas de relevo são melhor analisadas com dados adquiridos sob maiores ângulos de elevação solar, a fim de reduzir o efeito de sombreamento que impede a detecção de detalhes da topografia (Liu, 1984).

A relação entre a direção de iluminação (dada pelo azimu te solar) e as direções preferenciais das feições morfológicas no terreno e também muito importante. Estudos experimentais realizados por Mac Donald et alii (1969) com imagens de radar, mostraram que a detecbilida de de uma feição aumenta à medida que o rumo de visada tende a tornar-se perpendicular à ela e vice-versa.

Essas relações também ocorrem em imagens LANDSAT. Novo (1982) demonstrou que os azimutes perpendiculares à direção de maior va riação de atitudes topográficas nessas imagens são os mais favoráveis pa ra discriminação das unidades de relevo que se diferenciam quanto à al titude, bem como Liu (1984) também o fez com relação à discriminação de lineamentos.

Com base nestes conceitos, foram utilizadas neste traba lho imagens multitemporais e ainda imagens de sensores diversos para evidenciar diferentes aspectos da superfície. Tais imagens e seus respectivos ângulos de elevação e azimute solar são representados nas Figuras 2.1, 2.2, 2.3 e 2.4.



Fig. 2.1 - Imagem TM/LANDSAT, passagem dia 22/06/84, orbita 218/ponto 76, banda 4, elevação solar 30º, azimute solar 42º.



Fig. 2.2 - Imagem MSS/LANDSAT, passagem dia 25/06/76, orbita 150/ponto 28, banda 7, elevação solar 22º, azimute solar 49º.

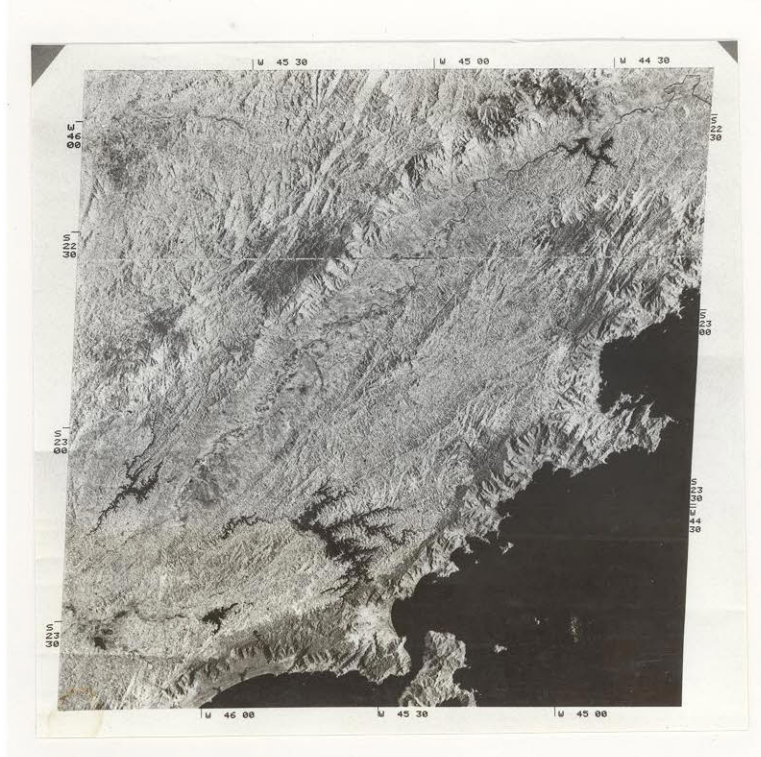


Fig. 2.3 - Imagem MSS/LANDSAT, passagem dia 31/01/78, orbita 150/ponto 28, banda 7, elevação solar 41º, azimute solar 93º.



Fig. 2.4 - Mosaico de imagens SLAR obtidas para o Projeto RADAMBRASIL com direção de iluminação E-W.

As imagens SLAR obtidas por meio de sensores ativos com iluminação propria, não apresentam a mesma dependência da iluminação solar que as imagens LANDSAT, porem suas possibilidades na detecção de feições topográficas estão diretamente ligadas à direção de iluminação do sistema imageador.

2.4 - SEQUÊNCIA OPERACIONAL DO TRABALHO

A sequência operacional do trabalho \tilde{e} apresentada em dia grama na Figura 2.5, e as etapas são descritas a seguir.

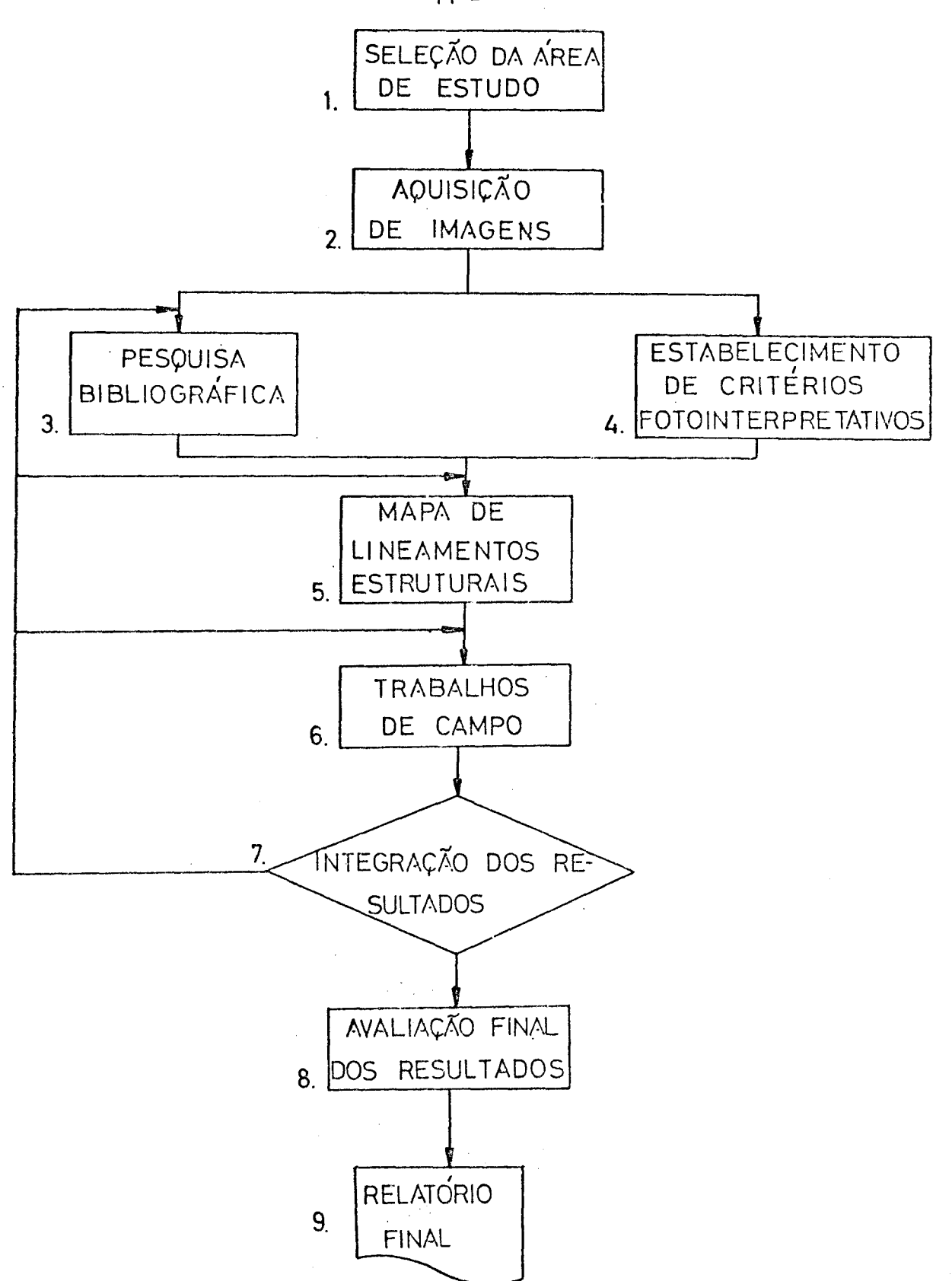


Fig. 2.5 - Diagrama de fluxo de trabalho.

Com o desenvolvimento desta pesquisa, verificou-se a existência de duas possibilidades para a analise de lineamentos estru turais em imagens orbitais: a interpretação visual, ja consagrada pelo corrente uso, e a interpretação utilizando-se técnicas de realce por processamento digital, esta ainda em estagio inicial de desenvolvimento nas pesquisas realizadas no Brasil.

Foram efetuados de forma experimental, varios processa mentos digitais sobre a imagem TM da area, gerando uma serie de resultados preliminares. Trata-se de um metodo alternativo que procura auxiliar e dinamizar a interpretação visual.

Assim sendo, tem-se registrados aqui, dois caminhos se guidos para a interpretação de lineamentos estruturais através de senso riamento remoto. A interpretação visual, objeto primeiro deste trabalho, que é descrita à seguir e a interpretação utilizando-se de técnicas de processamento digital como forma alternativa, que é descrita no Apêndice L deste volume.

1) <u>Seleção da área de estudo</u>

A area foi selecionada considerando-se dois aspectos b $\underline{\tilde{a}}$ sicos:

- ser constituída predominantemente por rochas pre-cambrianas exibindo intrincados sistemas de lineamentos que, apesar de muito estudados, não têm ainda o seu quadro tectônico-estrutural perfeitamente estabelecido.
- ser em parte jã conhecida pela autora, devido a sua participação em trabalhos anteriores de mapeamento na região.

2) Aquisição de imagens

Foram utilizadas basicamente dois tipos de produtos de sensoriamento remoto: imagens orbitais do satélite LANDSAT

(Multispectral Scanner System e Thematic Mapper) e imagens de radar com visada lateral (imagens SLAR obtidas para o Projeto RADAMBRASIL).

Os intervalos espectrais utilizados das imagens LANDSAT foram os da banda 4 do TM e banda 7 do MSS. De maneira auxiliar utilizou -se também as bandas 5, 6 e 7 do TM e bandas 3, 5 e 7 do MSS, nas esca las 1:1.000.000.

Tomou-se ainda o cuidado de utilizar-se imagens multitem porais com ângulos de elevação e azimute solar variados, de modo a se conseguir uma melhor caracterização do relevo através de diferentes ângulos de iluminação.

3) Pesquisa bibliografica

A aquisição do material bibliográfico foi realizada de forma sistemática durante todo o decorrer do trabalho, procurando-se manter atualizada a bibliografia quanto a trabalhos geológicos referentes a area e a conceitos e técnicas empregados em trabalhos semelhantes.

A pesquisa bibliográfica foi direcionada a estudos geológicos na área, tanto de síntese como específicos; a critérios e métodos de fotointerpretação de áreas metamórficas; a implicações geológicas no modelado do relevo; a elementos tectônicos na identificação de lineamentos estruturais; e a modelos tectônicos desenvolvidos em faixas de dobra mentos.

4) Estabelecimento de critérios fotointerpretativos

As informações geológicas que podem ser obtidas à partir das imagens aqui utilizadas dependem de fatores intrinsecos aos produtos dos diversos sistemas de sensoriamento remoto (como por exemplo, resolução, banda espectral, escala) e de fatores que envolvem a interpretação fotogeológica.

Detalhes sobre os fatores intrinsecos aos produtos de sensores remotos são encontrados nos manuais de sensoriamento remoto e de fotointerpretação da American Society of Photogrammetry (Conwell, 1983) e em Slater (1980).

Os fatores que envolvem a interpretação fotogeológica constituem-se de conceitos e critérios que sistematizam as evidências geológicas nas imagens, sejam diretas ou indiretas. Para tanto, foram utilizados os critérios e conceitos estabelecidos por Soares e Fiori (1976), Veneziani e Anjos (1980) e Liu (1984).

5) Mapa de lineamentos estruturais

Esta etapa do trabalho iniciou-se com a interpretação das imagens TM na escala 1:1.000.000, seguindo-se sua interpretação na escala 1:500.000. Com o aumento gradativo da escala conseguiu-se uma visão regional, melhorada sucessivamente pelos detalhes oferecidos pelas escalas maiores.

A interpretação básica foi realizada sobre uma imagem TM, banda 4, em escala 1:250.000. A banda 4 oferece maiores detalhes sobre a topografia, embora também tenha-se utilizado de forma auxiliar, imagens de outras bandas deste sensor.

Os lineamentos encontrados foram traçados sobre a imagem com um lápis dermatográfico e examinados sucessivamente sob luz transmitida colocando-se a imagem sobre uma mesa de luz.

Posteriormente os lineamentos assim cartografados foram transferidos para um papel plástico estável.

Foram interpretadas também duas imagens MSS com ângulos azimutais e de elevação solar diferentes, e ainda imagens SLAR com direção de visada E-W, todos em escala 1:250.000.

Esses dados foram sobrepostos ao mapa de lineamentos fe \underline{i} to com base na imagem TM de maneira a completa-lo, configurando-se então, um mapa de lineamentos estruturais.

Sobre o mapa de lineamentos estruturais foi efetuada a classificação dos lineamentos segundo o "trend" ou direção, de acordo com os critérios de Liu (1984).

Com a ajuda de um papel milimetrado transparente sotopos to ao mapa de lineamentos que permite fixar-se uma direção desejada, ca da grupo de mesma direção foi transcrito para um segundo papel estável e a cada um foi atribuída uma cor diferente para facilitar sua transcrição e identificação. Obteve-se aqui um segundo mapa com os lineamentos classificados em diversos sistemas. Cada sistema classificado admitiu uma variação de $\frac{1}{5}$ 0 em sua direção. Para melhor visualização, cada um dos varios sistemas foi ainda transferido para um papel estável distinto.

Os lineamentos agrupados segundo feixes, foram por sua vez transferidos para um papel estavel diverso.

De posse destes mapas foram feitas as interpretações $e\bar{s}$ truturais preliminares.

6) Trabalhos de campo

As observações de campo basearam-se em perfis efetuados ao longo de estradas, concentrando-se nas zonas marcadas nas imagens por fortes lineamentos ou cruzamentos de vários sistemas de lineamentos.

Nos trabalhos de campo foram tomadas medidas estruturais de planos de falhas, juntas, foliação metamórfica e lineações minerais. Foram descritas as litologias predominantes e observados os aspectos mor fológicos e suas correspondentes feições nas imagens.

As medidas estruturais de campo estão registradas no Apêndice I e o mapa de pontos no Apêndice J deste trabalho.

7) Integração dos resultados

A integração dos dados de interpretação das imagens , da dos bibliográficos e dados de campo foi feita visando sua análise global. A melhoria dos resultados se deu com a retomada da pesquisa bibliográfica, principalmente no tocante a modelos tectônicos aplicaveis a area, e também com a reinterpretação das imagens.

8) Avaliação final dos resultados

De posse dos resultados integrados definiu-se a cronol \underline{o} gia relativa dos sistemas de lineamentos estruturais existentes.

9) Relatorio final

Elaborou-se o presente relatório que visa oferecer uma contribuição à tectônica da região e demonstrar como a morfologia, estudada através de imagens de sensores remotos, pode ajudar na elucidação de estruturas e tectônica de amplas áreas.

CAPITULO 3

CONTEXTO GEOLÓGICO REGIONAL

A região estudada faz parte da provincia estrutural Man tiqueira, definida por Almeida et alii (1977), conforme Figura 3.1, loca lizando-se aproximadamente em seu setor central.

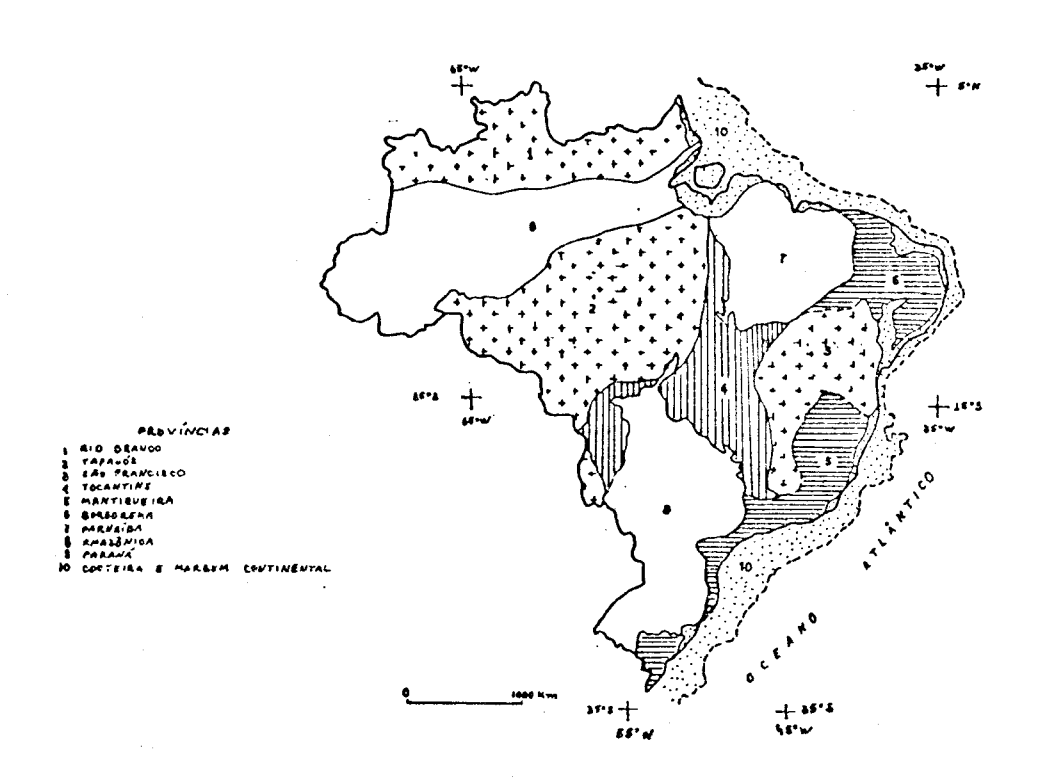


Fig. 3.1 - Provincias estruturais do Brasil. FONTE: Almeida et alii (1977), p. 364.

A região vem sendo estudada ha muito, porém é a partir da década de 70 que muitos mapeamentos sistemáticos e estudos de sintesesão feitos. Um bom levantamento dos trabalhos até agora realizados na região, pode ser encontrado em Hasui e Oliveira (1984).

Com a evolução dos conhecimentos sobre esta área de rochas essencialmente arqueanas e proterozoicas, passou-se a enfocá-la em termos de sua compartimentação geotectônica, com um maior aporte de da dos relativos ao Proterozoico Superior, diminuindo à medida em que se recua no tempo.

Relativamente ao Proterozóico Superior, de início carac terizou-se a região como domínio de atuação do Ciclo Brasiliano a sul e sudeste do cráton de São Francisco (Almeida, 1967), recebendo o nome de Cinturão Paraíba do Sul. Depois esse nome passou a designar uma unidade geotectônica transamazônica e se propôs o nome de Cinturão Ribeira para a unidade brasiliana sobreposta âquela (Almeida et alii, 1973). Logo à seguir, verificou-se que as unidades dobradas e metamorfizadas do Prote rozóico Superior configuravam faixas de dobramentos separadas por por ções de rochas mais antigas, propondo-se chamar de Faixa de Dobramentos Apiaí àquela representada pelos domínios do Grupo Açungui (Hasui et alii, 1975).

A todo o conjunto de faixas, maciços e zonas retrabalhadas relativos ao Proterozoico Superior, Almeida (1976) denominou Região de Dobramentos Sudeste.

Pertinentes ao Proterozóico Inferior ocorrem as rochas supracrustais reunidas no Complexo Paraíba do Sul, situadas no Cinturão Paraíba do Sul ou Faixa de Dobramentos Paraíba do Sul (Almeida et alii, 1973).

Relativos ao Proterozoico Inferior e Arqueano, Almeida et alii (1980) definiram com base em dados geológico-estruturais e geofísicos (Haralyi, 1978) os Cinturões Moveis Costeiro e Alfenas, contornan do o Cráton do Paramirim, com evidências de grandes deslocamentos e in cidência de processos termotectônicos de ciclos diversos. No Cinturão Movel Costeiro, dentro dos domínios da área estudada, ocorrem as rochas reunidas sob o nome de Complexo Costeiro, de idade arqueana (Hasui et alii, 1984).

Segundo Hasui et alii (1984) esses cinturões mõveis retrabalharam a crosta siálica arqueana, acolheram supracrustais e foram sitios de processos termotectônicos proterozóicos. Seus limites variaram no tempo de modo que as unidades geotectônicas acima citadas são em suma, unidades dos cinturões mõveis relativas aos tempos do Proterozóico Superior e Inferior, num esquema de evolução ensiálica (Figura 3.2).

Estudos mais recentes ainda em andamento (Hasui, comunicação verbal) têm identificado na região uma foliação metamórfica, com direção N-S, gerada por eventos tectônicos arqueanos (Haralyi, 1978; Haralyi et alii, 1985), presente nas rochas do Complexo, Costeiro, do Complexo Paraíba do Sul e do Grupo Açungui. Assim sendo, todas essas unidades estratigráficas passariam a ser datadas como arqueanas, gerando a neces sidade de se rever toda a conceituação geológica à respeito das rochas geradas durante o Proterozóico.

De uma forma ou de outra, o nível atual de conhecimentos permite apenas discriminar grandes unidades litoestratigráficas ou litologicas e estruturais para o Proterozóico e Arqueano. Essas unidades podem ser visualizadas de maneira geral na Figura 3.3 e Tabela 3.1.

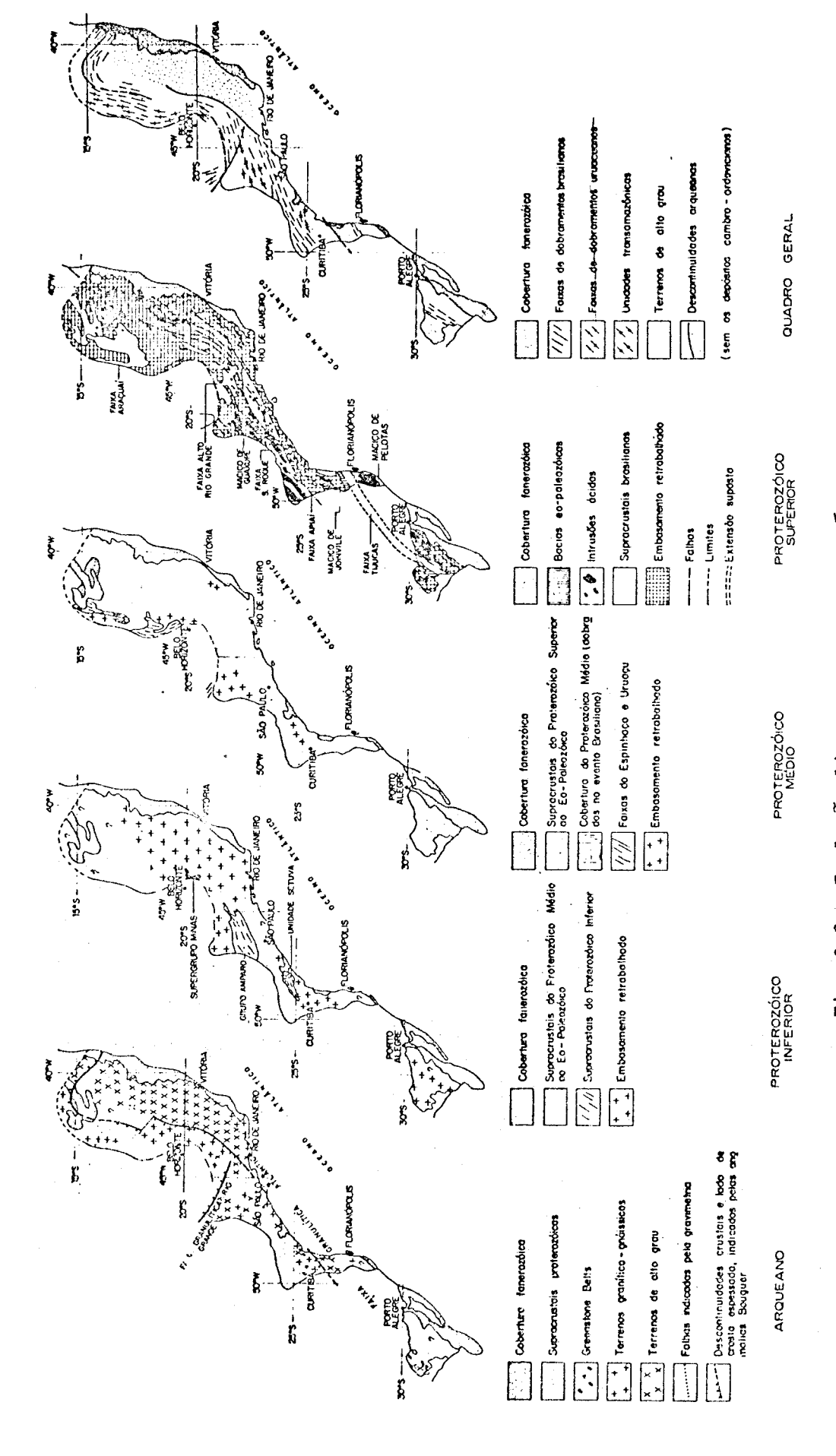


Fig. 3.2 - Evolução lito-estrutural do pré-siluriano. FONTE: Hasui et alii (1982), p. 83.

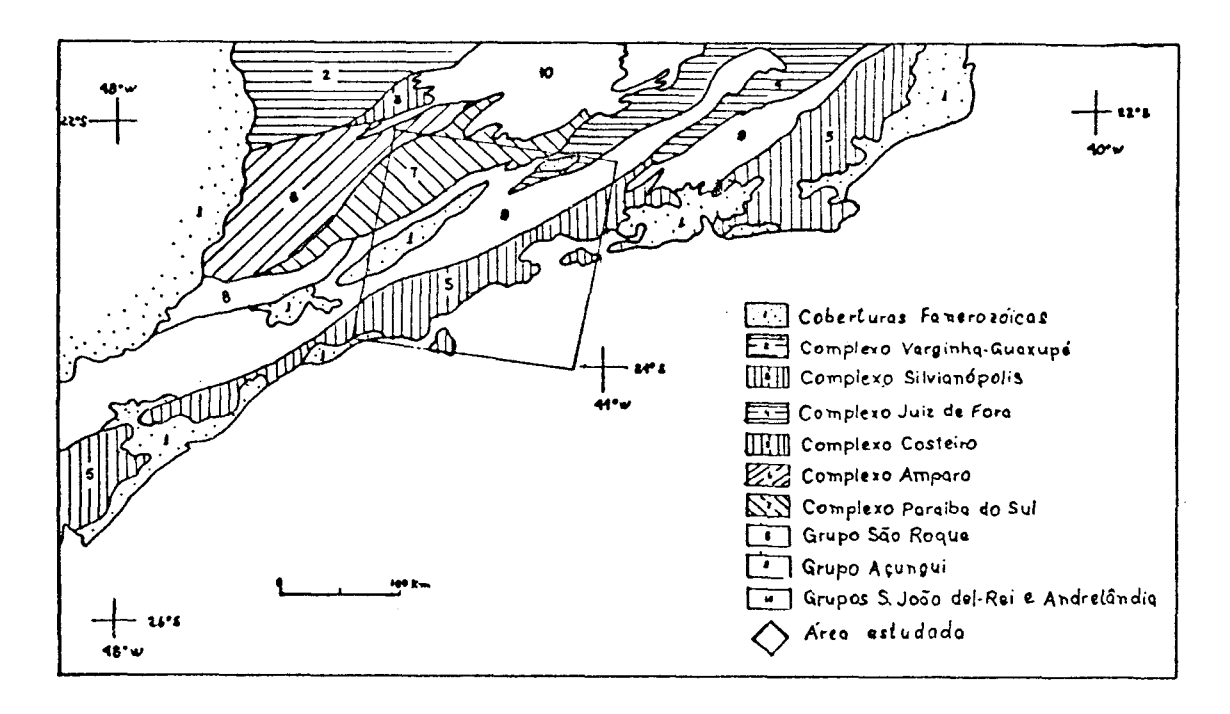


Fig. 3.3 - Distribuição das unidades pre-cambrianas. FONTE: Hasui et alii (1984), p. 309.

TABELA 3.1

UNIDADES LITOLÓGICAS E LITOESTRATIGRÁFICAS DO SETOR CENTRAL DA PROVÍNCIA MANTIQUEIRA

IDA	Œ		ENTONIOS	UNIDADES LETCEÓGICAS E	·LITOESTPATIGRÁFICAS
	Cennzóico			Depósitos sedimentares	
Panerozńico	Mesozóico			Rochas básicas e alcal e stocks	inas em diques, chaminés
	Paleozóico	450 m.a. Bresiliano 850 1000 Uruaquano 1800 Transamazônico	-		
	Superior		Granitóides em batólit Grupo Agunqui	os, stocks e diques	
Proterozóico	Médio		·		
	Inferior	11 2200 11 2500	,		Complexo Paraiba do Su
Arqueano			<i>J</i> equiê	Complexo Costeiro	7

[Modificado de Hasui e Oliveira (1983), p. 313].

Com relação aos tempos fanerozoicos, sabe-se que a cha mada Plataforma Sul Americana (Almeida, 1967) estabilizou-se no Ordovicia no e so a partir do Jurassico Superior sobrevieram novas condições de instabilidade paraplataformais (Hasui et alii, 1982).

As estruturas, morfologia e coberturas sedimentares relativas a esse periodo têm sido invariavelmente vinculadas \tilde{a} tectônica regional que originou o sistema de rifts no continente e grabens e a bacia de Santos na plataforma continental.

Os movimentos tectônicos ocorridos e seus reflexos na morfologia permitem enfocar a area conforme o modelo de evolução de mar gem continental atlântica, segundo o qual a região sudeste do Brasil se ria considerada marginal a linha de ruptura do Atlântico Sul e teria sua evolução tectônica meso-cenozóica relacionada ao desenvolvimento do ocea no (Le Pichon e Hages, 1971; Asmus, 1978; Asmus e Ferrari, 1978).

No continente, um sistema de rifts como o do Paraíba se desenvolveu acompanhado de intensa atividade vulcânica do tipo central alcalino, bordejando a bacia de Santos (Sadowski, 1976), já no Cretáceo (Hasui et alii, 1978c). Seguiu-se então um processo de morfogênese do relevo atual e a implantação de bacias continentais como as de Taubaté, São Paulo, Resende e Volta Redonda no Terciário Superior e/ou Pleistoceno (Hasui et alii, 1978f; Melo, 1984).

As feições estruturais ligadas aos processos anteriorme<u>n</u> te descritos apareceram nas zonas dos cinturões mõveis arqueanos, aproveitando provavelmente antigas zonas de fraqueza da crosta (Almeida, 1976; Sadowski, 1976; Hasui et alii, 1982).

A evolução do sistema de rifts continentais bordejando a bacia de Santos é apresentada esquematicamente na Figura 3.4, segundo Al meida (1976).

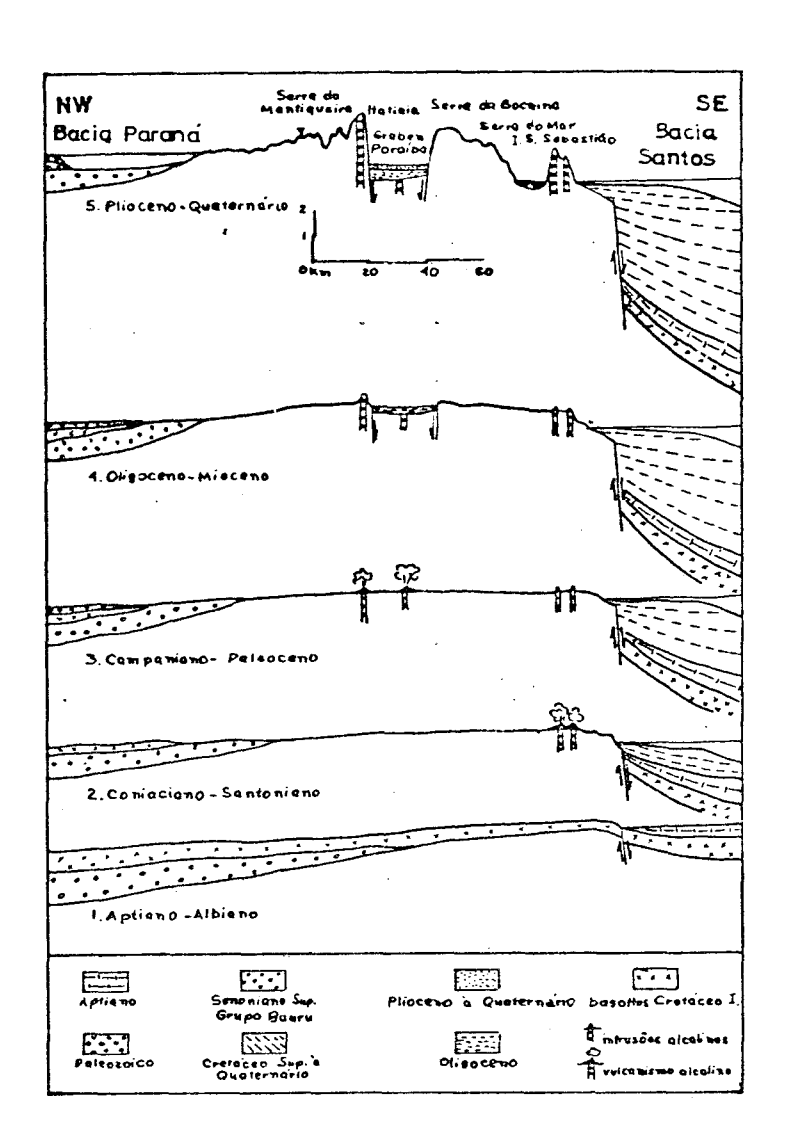


Fig. 3.4 - Possível evolução tectôno-magmática da borda continental da bacia de Santos.

FONTE: Almeida (1976), p. 21.

3.1 - DESCRIÇÃO DAS UNIDADES LITOLÓGICAS E ESTRATIGRÁFICAS

As unidades litológicas e estratigráficas presentes são descritas a seguir de maneira suscinta, segundo sua suposta ordem cronológica.

3.1.1 - COMPLEXO COSTEIRO

O Complexo Costeiro constitui uma faixa larga e extensa em forma de arco, mais ou menos paralelo a costa, desde o Estado do Espirito Santo até Santa Catarina (Figura 3.3).

Trata-se de um complexo atribuído genericamente ao Arqueano que engloba diversas unidades e conjuntos litológicos heterogêneos, a maioria dos quais, incipientemente estudados e cujas relações entre si não são claras (Hasui et alii, 1984).

E composto por rochas de fácies anfibólito e granulito que sofreram migmatização e granitização em graus variáveis. Os tipos mais comuns são gnaisses e migmátitos de estrutura bandada e facoidal, aparecendo intercalados minoritariamente rochas calcossilicáticas, cal cários, metavulcânicas, formações ferriferas, quartzitos, magnetita quar tizitos, corpos máficos e ultramáficos, além de xistos, dioritos, monzo nitos e sienitos. As rochas de fácies granulito apareceram em forma de faixas, bolsões e núcleos esparsos, onde foram obtidas datações arquea nas, transamazônicas e brasilianas, sendo estas duas últimas devidas a retrabalhamento (Hasui et alii, 1984).

Não se distinguiu ainda no Complexo Costeiro rochas de embasamento e supracrustais, æscrevendo-se apenas processos de retraba lhamento de rochas antigas; porem, a existência de pacotes metasedimen tares ja e reconhecida no Estado do Parana e sul de São Paulo (Hasui et alii, 1984).

3.1.2 - COMPLEXO PARAÍBA DO SUL

O Complexo Paraíba do Sul situa-se na porção NW da região (Figura 3.3), entre as falhas de Jundiuvira (Hasui et alii, 1978a) e Camanducaia (Cavalcante et alii, 1977) sendo ainda mal conhecido segundo Hasui et alii (1984).

Constitui-se de gnaisses e migmatitos diversos, predominantemente bandados, com granitoides e dioritos monzoníticos gnaissicos associados. Aparecem ainda intercalações de marmores dolomíticos, rochas calcossilicáticas, xistos feldspáticos, calcixistos, talcoxistos e metabasitos: rochas granulíticas ácidas e básicas formam núcleos dispersos mais ou menos migmatizados (Hasui et alii, 1984).

No conjunto tratam-se de rochas de facies anfibolito e subordinadamente granulito que sofreram feldspatização, migmatização e intrusões acidas (Hasui e Oliveira, 1984).

Tem-se caracterizado para essas rochas uma evolução me tamórfica policíclica com datações indicando idades transamazônica, urua çuana e brasiliana (Cordani et alii, 1973; Hasui et alii, 1978c).

Seu padrão estrutural \tilde{e} intrincado com pelo menos uma fase de dobramentos anterior aquelas que podem ser consideradas brasilianas (Hasui et alii, 1978c).

3.1.3 - GRUPO AÇUNGUI

As rochas do Grupo Açungui estão distribuidas sob a for ma de uma faixa com orientação SW-NE localizada na porção central da região em questão (Figura 3.3). Seus limites com as unidades adjacentes são marcados, na maior parte, pelas falhas de Jundiuvira, Taxaquara e Cubatão, sendo ainda mal definidos no extremo leste paulista e oeste fluminense (Hasui e Oliveira, 1984).

Trata-se de um pacote essencialmente metapelítico, exibindo metamorfismo de fácies xisto verde e localmente anfibolito, de baixa pressão e temperatura (Hasui et alii, 1984).

Ocorre neste grupo uma passagem gradativa de rochas xis tosas para gnaisses e migmatitos, ja notada por diversos autores (Moraes Rego, 1933; Almeida, 1953 e outros).

Suas rochas ectníticas situadas no leste paulista são representadas por xistos diversos, quartizitos, dolomitos, rochas cal co-silicáticas e metabasitos, aparecendo em calhas sinclinoriais e em extensos trechos nas zonas das falhas de Taxaquara, Cubatão, Buquira e Jundiuvira (Hasui e Oliveira, 1984).

O conjunto migmatitico e representado por migmatitos di versos, predominando os de estrutura estromática. Aparecem como "resisters" muitas lentes de quartzitos, anfibolitos, rochas cálcio-si licáticas e mármores (Hasui et alii, 1978c).

Não se conseguindo uma subdivisão estratigráfica satisfa tória do conjunto, procurou-se separá-lo em rochas ectníticas e migmatíticas, sob os nomes de Complexo Pilar e Embu, respectivamente (Hasui e Sadowski, 1976). Essas unidades, embora não representem pacotes estratigráficos, refletem níveis distintos do Grupo Açungui (Hasui et alii, 1980).

O padrão de deformação do Grupo Açungui consiste em dobras recumbentes, transpostas e redobradas, contemporâneas ao metamorfis mo regional; superpõem-se crenulações locais, juntas e falhas transcor rentes e normais (Hasui e Sadowski, 1976; Hasui et alii, 1980). Tais deformações dificultam sobremaneira sua reconstituição estratigráfica.

A idade dos sedimentos originais não está estabelecida, já que as datações paleontológicas não permitem determinar cifras seguras (Fairchild, 1977) e as datações radiométricas apontam processos termotectônicos superimpostos; a atribuição do Grupo ao Proterozóico Superior é portanto arbitrária (Hasui e Oliveira, 1984).

3.1.4 - ROCHAS GRANITOIDES

A região de Dobramentos Sudeste é caracterizada por um intenso magmatismo granitoide, quer em area, quer em número e tipos de corpos com caracter sin e pos-tectônico (Wernick, 1979b).

O termo granitoide e usado aqui no sentido proposto por Streckeisen (1973) e sua distribuição e apresentada na Figura 3.5. Es sas rochas têm sido atribuidas generalizadamente ao Ciclo Brasiliano por sua associação com rochas tidas como do Proterozoico Superior, embora não se possa excluir a possibilidade de existirem gerações mais antigas ainda não discriminadas (Hasui et alii, 1984).

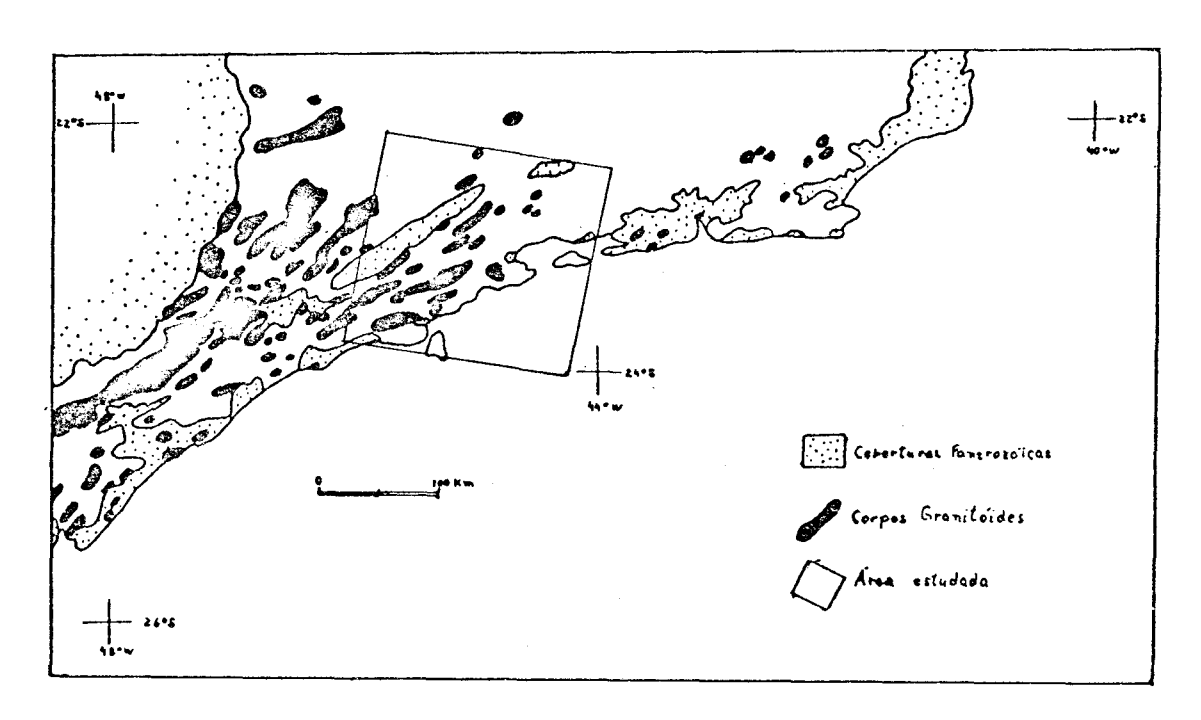


Fig. 3.5 - Distribuição dos corpos granitoides.
[Modificado de Hasui et alii (1984), p. 318]

Hasui et alii (1978b) e Wernick (1979a, b) reuniram os diversos tipos de rochas granitóides em dois grupos:

- o grupo mais frequente e o formado por rochas foliadas, com composição variando de tonalítica a granítica, perfazendo mais de 90% dos corpos mapeados. Os corpos granitoides possuem for mas alongadas paralelas aos eixos de dobras de uma das fases de deformação das rochas do Grupo Açungui. Têm caráter autoctone, para-autoctone, ou aloctone, classificaveis de sintectônicos, com datação girando em torno de 600-650 Ma, segundo Wernick (1979b).
- outro grupo menos frequente, inclui rochas mais homogêneas, não foliadas, de composição granodiorítica à granítica em corpos discordantes, classificaveis como pos-tectônicos. As datações, segundo Wernick (1979b), estão em torno de 500 Ma.

Os grandes lineamentos tectônicos exerceram controle na distribuição e localização das diversas suites, sendo atestada sua natureza profunda por várias evidências geológicas. Esses lineamentos funcionaram como canais térmicos ao longo dos quais ocorreram os fenômenos granitogênicos e a ascenção das diferentes gerações de massas granitoj des (Wernick, 1979b).

3.1.5 - MAGMATISMO ULTRABÁSICO A INTERMEDIÁRIO

Diques e sills de rochas ultrabásicas a intermediárias <u>o</u> correm dispersamente, com maior presença próximo à costa, tendo espessura de centímetros a algumas dezenas de metros, o que não permite serem cartografadas (Hasui et alii, 1978b).

Termos como lamprofiro, diabasio, olivina-diabasio, dia basio-traquiandesito, andesito porfiro e outros têm sido reconhecidos, predominando os basicos e toleiticos (Cavalcante e Kaefer, 1974).

A idade desse magmatismo foi determinada pelo método K/Ar no intervalo de 147 a 119 Ma (Amaral et alii, 1966; Cordani e Teixeira, 1979 e outros) entre o Jurassico Superior e o Cretaceo Inferior.

As atitudes desses corpos não são sempre mensuraveis, mas onde observadas apresentam grande coincidência com sistemas de juntas e foliação metamorfica das rochas encaixantes (Hasui et alii, 1978b).

3.1.6 - MAGMATISMO ALCALINO

Na provincia alcalina do Brasil Meridional, dois grupos gerais de idade podem ser distinguidos: um do Cretaceo Inferior, contem poraneo ao magmatismo toleítico e outro do Cretaceo Superior ao Tercia rio Inferior (Amaral et alii, 1967).

Na area em questão, as ocorrências mais importantes per tencem ao segundo grupo e são representadas pelos maciços de Passa Qua tro e Itatiaia, tendo sido este último datado por Amaral et alii (1967) em 66 Ma. Petrologicamente esses maciços são semelhantes, constituindo corpos zonados com nefelina-sienitos, alcalissienitos e brechas magma ticas, cortados localmente por alcaligranitos (Penalva, 1967).

As rochas alcalinas da ilha de São Sebastião, datadas em 81 Ma por Hennies e Hasui (1968) são também pertinentes ao segundo gru po . Constituiem-se de três "stocks" com fraturas concêntricas, possi velmente representando zoneamento petrográfico; afloram rochas es sencialmente plutônicas, desde nordmarkitos até teralitos (Hennies e Hasui, 1968).

Rochas alcalinas se fazem presentes ainda sob a forma de diques e raros sills de até 2 m de espessura, não cartografados (Hasui et alii, 1978c).

3.1.7 - SEDIMENTOS CENOZÓICOS (FORMAÇÕES CAÇAPAVA, TREMEMBÉ E RESENDE)

No sudeste do Brasile existem quatro bacias sedimentares principais, dispostas segundo um eixo de orientação E-NE, paralelamente à linha de costa, ligadas a uma série de rifts continentais (Hasui et alii, 1978f). São as bacias de Taubaté, Resende, Volta Redonda e São Paulo.

Nestas bacias distinguem-se três tipos de facies sedimentares:

- a) uma facies grosseira desenvolvida ao norte das bacias de Tauba te e Resende, proveniente de cones de dejecção próximos à importantes escarpamentos tectônicos (Hasui e Ponçano, 1978; Me lo et alii, 1983).
- b) uma facies lacustre à argilosa desenvolvida nos compartimentos mais internos da bacia de Taubaté, constituindo a Formação Tremembé (Melo, 1984).
- c) uma fácies fluvial com sedimentos de granulometria variada e imaturidade mineralógica e textural (Melo, 1984). Essa fácies seria formada por um sistema de drenagem anastomosado entre as bacias de Taubaté (Suguio, 1969), Resende (Amador, 1975; Melo et alii, 1983) e Volta Redonda (Melo et alii, 1983) e por um sistema de planícies de inundação na bacia de São Paulo (Suguio, 1980). Os depósitos dessa fácies, interdigitados ou não com os da fácies grosseira, são denominados Formação Caçapava (interdigitados com a Formação Tremembé na bacia de Taubaté), Formação Resende (nas bacias de Resende e Volta Redonda) e Formação São Paulo (na bacia de São Paulo).

Moraes e Rego (1932) e outros consideraram os depositos como do Plioceno. Couto e Mezzalira (1971) através de estudos de fos seis, sugeriram Oligoceno-Mioceno. Ferreira e Santos (1982), Lima e Ama dor (1983) em análises palinológicas e ainda Riccomini et alii (1983) por datações de lavas intercaladas nos sedimentos, sugeriram Eoceno Su perior e Oligoceno.

3.2 - EXPRESSÃO GEOMORFOLÓGICA

O relevo do leste paulista e regiões vizinhas possui ca racterísticas fortemente ligadas ao tectonismo cenozoico atuante sobre uma estrutura geologica diversificada e complexa (Hasui et alii, 1982).

O atual relevo acidentado é resultante, em sua maior par te, da erosão diferencial de uma superfície de aplainamento antiga, que condicionou as altitudes até as quais se elevam as cristas serranas man tidas por rochas mais resistentes (Hasui et alii, 1978c). Trata-se da chamada superfície Japi, estabelecida no Paleoceno, com altitudes entre 1200 m e 1300 m, alcançados por um soerguimento epirogênico regular que afetou a região (Almeida, 1964).

A litologia e as estruturas da área se refletem de modo sensível na fisiografia, possibilitando a compartimentação do relevo em províncias geomorfológicas, zonas e subzonas, para facilitar o seu estudo (Almeida, 1964; Ponçano et alii, 1979).

Na região em questão estão representadas as provincias geomorfológicas do Planalto Atlântico e Costeira (Figura 3.6) com suas respectivas zonas e subzonas listadas na Tabela 3.2.

A provincia geomorfológica do Planalto Atlântico constitui-se, topograficamente, de uma sequência de planaltos profundamente retrabalhados em sucessivos ciclos de erosão. Esses planaltos apresentam-se em altitudes diferentes por provirem de superfícies de erosão em bacias hidrográficas distintas, ou por terem sido tectonicamente desnive lados no Cenozóico (Hasui et alii, 1982). As zonas e subzonas dessa provincia geomorfológica são descritas a seguir.

Na porção noroeste da área estudada, no Estado de Minas Gerais, localiza-se a zona do Planalto do Alto Rio Grande (Ponçano et alii, 1981), quase inteiramente drenada para a bacia do Rio Grande. Trata-se de um planalto de estrutura complexa, maturamente dissecado, des feito em morros, serras lineares e chapadas, sendo notável o fato de muitos de seus maiores coletores da rede de drenagem terem seu traçado independente das direções estruturais, sugerindo ter sido esta, previa mente estabelecida sobre uma superfície de aplainamento tão evoluida que tais estruturas não apresentariam obstáculos significativos à drenagem.

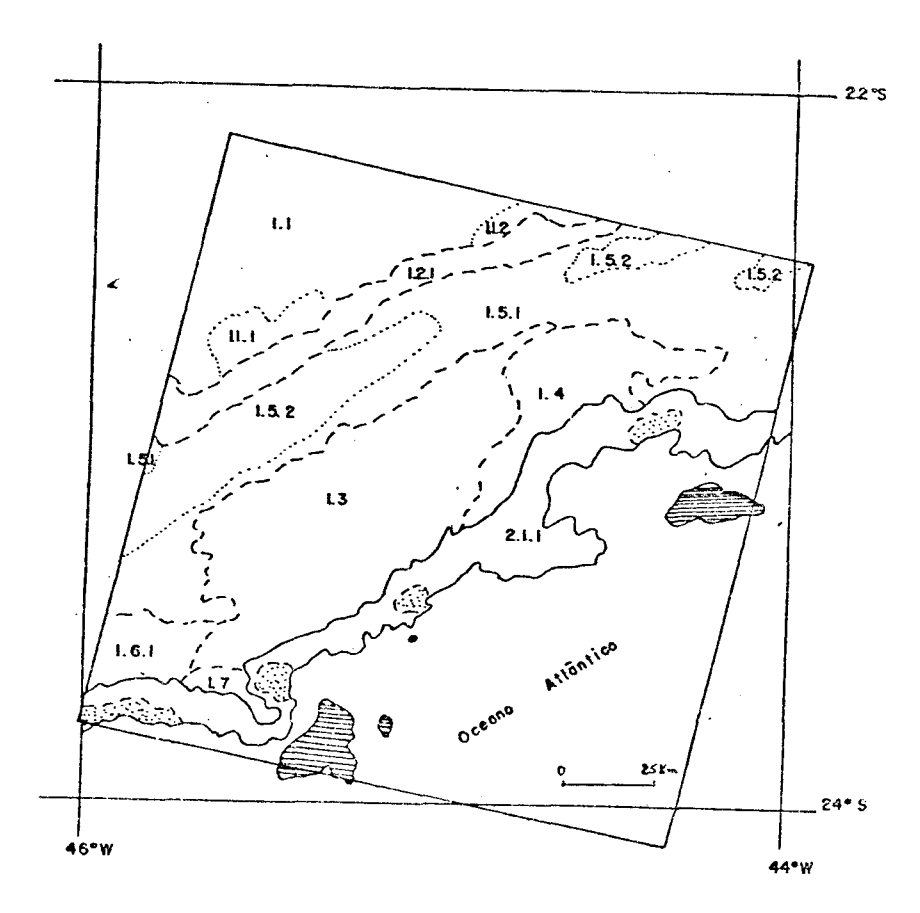


Fig. 3.6 - Unidades geomorfológicas.

[Modificado de Hasui et alii (1982), p. 63]

TABELA 3.2

UNIDADES GEOMORFOLÓGICAS

PROVÍNCIAS	ZONAS	SUBZONAS	
1. Planalto Atlântico	1.1 - Planalto do Alto Rio Grande 1.2 - Serra da Mantiqueira 1.3 - Planalto do Paraitinga 1.4 - Planalto do Bocaina 1.5 - Médio Vale do Paraiba 1.6 - Planalto Paulistano 1.7 - Planalto do Juqueriquerê	1.1.1 - Planalto de Campos do Jordão 1.1.2 - Magico de Itatiaia 1.2.1 - Faulista 1.5.1 - Morros Cristalinos 1.5.2 - Colinas Sedimentares 1.6.1 - Morraria do Emou	
2. Provincia Costeira	2.1 - Serrania Costeira 2.2 - Maçiços Litorâneos 2.3 - Baixadas Litorâneas	2.1.1 - Serra do Mar	

Destaca-se aqui como subzona o Planalto de Campos de Jordão, nivelando a crista da Serra da Mantiqueira a 1700-2000 m de altitu de e evoluindo a partir da superfície de aplainamento do Japi; outra subzona presente na área é o Maçiço de Itatiaia, constituida por dois corpos de intrusões alcalinas, formando um relevo que não chegou a ser totalmente arrasado pela erosão que nivelou a superfície de Japi, ali erguida a 2000-2100 m.

A zona geomorfológica Serra da Mantiqueira, situada ao sul da zona acima descrita, aparece representada pela sua Subzona Pau lista. Mostra-se como uma linha de altas escarpas, localmente rebaixadas por gargantas, com cimos da serra notadamente nivelados pela superfície do Japi (Hasui et alii, 1982). No sope as escarpas cedem lugar a um relevo de baixas serras lineares e morros mais ou menos isolados (Almeida, 1964), em transição para o "mar-de-morros" do Médio Vale do Paraíba (Hasui et alii, 1982).

A zona do Planalto do Paraitinga (Almeida, 1964) é a região drenada para o rio Paraiba do Sul, a montante da cidade de Guara rema. É um planalto cristalino, de estrutura complexa, maturamente dis secado, relevo tipo "mar-de-morros" e longas serras longitudinais de direção E-NE, situadas nos principais divisores, com altitudes de até 1300 m. A rede de drenagem encontra-se extremamente adaptada a estrutura muito fraturada do planalto por acentuada erosão diferencial (Hasui et alii, 1982).

O Planalto do Bocaina e uma pequena zona muito elevada (aproximadamente 2000 m de altitude), situada na nascente do rio Para<u>i</u> ba do Sul, entre a Serra do Mar e o Medio Vale do Paraiba. Apresenta-se muito esculpida pela erosão, caindo para o mar em abruptas escarpas. E geologicamente semelhante ao Planalto do Paraitinga, mantendo-se como provável testemunho de um bloco homologo ao do Alto Rio Grande, falhado ou fortemente flexurado, que teria sido quase inteiramente destruido pela erosão regressiva que originou o Planalto do Paraitinga (Hasui et alii, 1982).

A zona do Médio Vale Paraíba do Sul (Ab Saber e Bernar des, 1956) ocorre aqui com duas subzonas, caracterizadas por relevo, $g\hat{\underline{e}}$ nese e estrutura geológica contrastantes: Morros Cristalinos e Colinas Sedimentares.

A subzona de Morros Cristalinos constitui-se de rochas metamorficas do Grupo Açungui num relevo de morros alongados (mar-de-morros) alcançando 200 m a 350 m sobre o rio Paraíba. Representa relevo de transição para a Serra da Mantiqueira (Hasui et alii, 1982).

A subzona de Colinas Sedimentares ocorre nas bacias de Taubaté, Resende e Volta Redonda, com seus sedimentos constituindo colinas achatadas ou baixo relevo tabular, raramente alcançandó 100 m de altura sobre o rio (Ab Saber e Bernardes, 1956).

A zona do Planalto Paulistano se faz presente ao SW da area através de sua subzona denominada Morraria do Embu. Esta subzona e desenvolvida em rochas cristalinas, apresentando aspectos de morros com altitudes entre 800 m e 900 m, refletindo a posição da superfície de erosão do Alto Tietê (Almeida, 1964).

O Planalto do Juqueriquerê apresenta-se como uma salien cia costeira na região da serra homônima, situada em frente a ilha de São Sebastião (SP) com topos e morrotes das áreas aplainadas de cimeira nivelados entre 650 m e 750 m (Almeida, 1964). A drenagem do planalto es coa diretamente para o oceano, e o desnível existente entre o Planalto de Juqueriquerê e planaltos adjacentes, sugere ter sido o mesmo originado por abatimento de blocos (Hasui et alii, 1982).

A segunda provincia geomorfológica presente na área é a Costeira, drenada diretamente para o mar, constituindo o rebordo do Planalto Atlântico. Aparecem aqui a subzona Serra do Mar, pertencente à zona Serrania Costeira e as zonas denominadas Maçiços Litorâneos e Baixadas Costeiras.

A subzona Serra do Mar constitui uma escarpa erosiva mui to bem adaptada a resistência diferencial de suas rochas, erguendo-se junto ao Planalto da Bocaina. Apresenta altitudes entre 800 m e 1200 m, condicionadas pela altitude das superfícies de aplainamento que nivelam o topo do planalto (Hasui et alii, 1982). As escarpas podem ter sido originadas por abatimentos tectônicos em blocos de falha (De Martone, 1943), ou por acentuado flexionamento da superfície do planalto, estan do esses processos ligados à separação dos continentes, no Cretáceo Su perior (Hasui et alii, 1982).

3.3 - GRANDES ESTRUTURAS

Abrangendo parte dos Estados do Parana, São Paulo, Rio de Janeiro e Espírito Santo, desenvolve-se um extenso cinturão de cisa lhamentos heterogêneos essencialmente transcorrentes (Sadowski, 1983), conforme mostra a Figura 3.7).

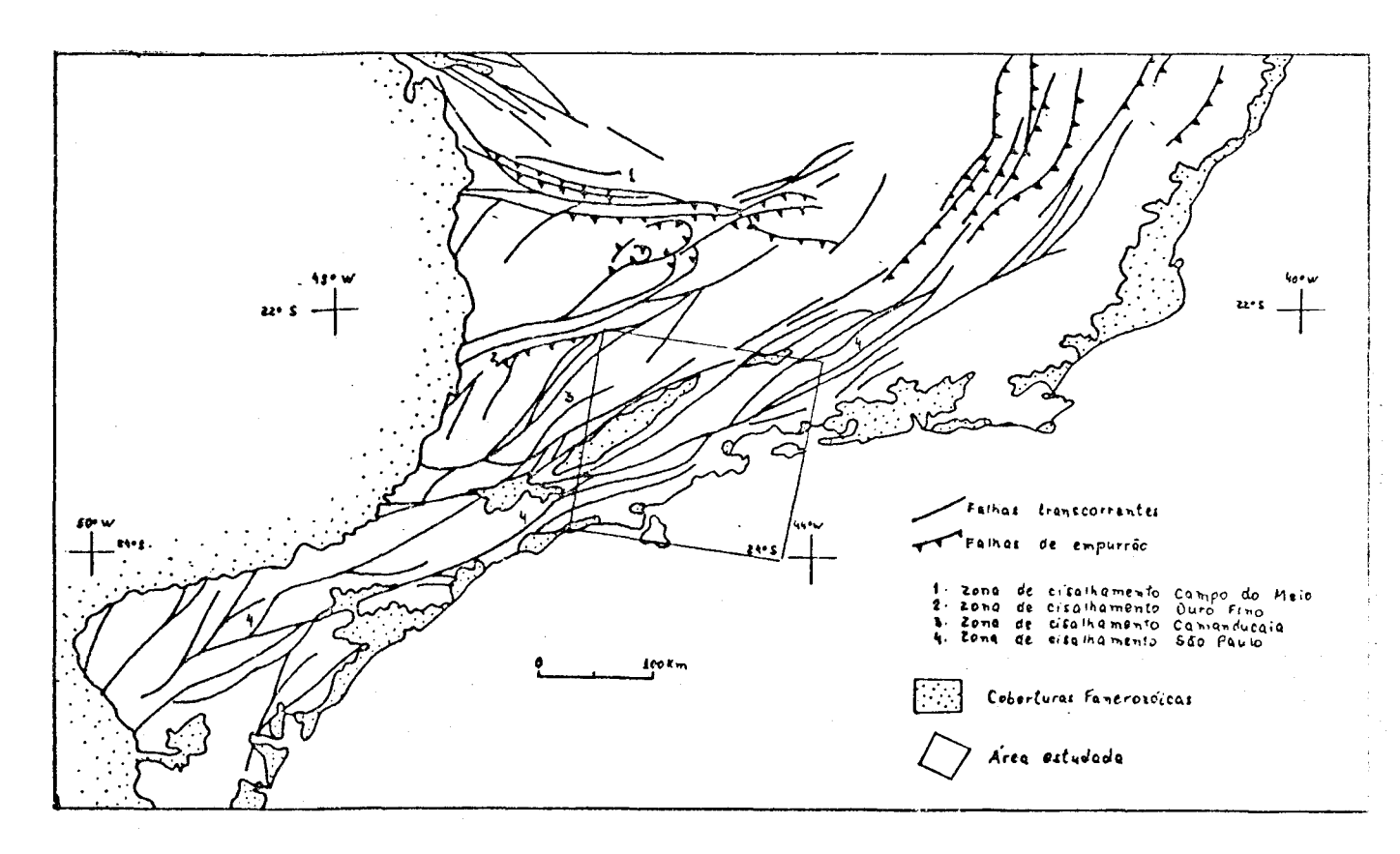


Fig. 3.7 - Zonas de cizalhamentos do sudeste brasileiro. [Modificado de Hasui et alii, (1980), p. 65]

Inicialmente essa zona ou cinturão de cisalhamentos foi denominada zona de transcorrências de São Paulo (Hasui et alii, 1975) e incluída na faixa ruptil Paraíba do Sul (Braun e Baptista, 1977), cor respondendo ao sistema Mantiqueira de Cavalcante et alii (1977). Atual mente considera-se que a melhor qualificação para tal estrutura é de "faixa ou zona de cizalhamento", recebendo o nome de São Paulo (Hasui et alii, 1982).

As faixas de cisalhamento constituem uma característica dos cinturões moveis, traduzindo os intensos deslocamentos do fim do Ciclo Brasiliano, contudo, sua idade tardi-brasiliana diz respeito somente à ultima movimentação transcorrente ocorrida (Hasui et alii, 1982).

A Faixa de Cisalhamentos São Paulo constitui-se de um feixe de falhas com direção média E-NE no qual se destacam, por serem me lhor estudadas, as falhas de Jacutinga (Ebert, 1968; Cavalcante et alii, 1979 e outros), Jundiuvira (Hasui et alii, 1978 e outros), Taxaquara (Hennies et alii, 1967a; Hasui et alii, 1978; Hasui et alii, 1980 e outros), Cubatão (Almeida, 1953; Sadowski, 1974; Hasui et alii, 1978a e outros) e Além Paraíba (Almeida et alii, 1975; Campanha, 1980 e outros).

Toda a extensão entre as falhas de Cubatão, Taxaquara e Além Paraiba é referida pelo nome de falha de Cubatão por Hasui et alii (1980), porém tal linearidade não está suficientemente provada, podendo todo o conjunto ser apenas um reticulado complexo de falhas (Sadowski, 1983).

Outras falhas menos conhecidas em detalhe, embora dignas de nota, são as de Monteiro Lobato, Buquira, Jaguari, Natividade, Freires, Caucaia, Cipo, etc (Sadowski, 1983).

Todas essas falhas seccionam rochas da Faixa de Dobra mentos Apiai e/ou seu embasamento ao longo das direções E-NE, isolando blocos de formas alongadas e sub-lenticulares. Tais falhas estão em sua maioria, localizadas na area estudada, conforme pode ser visto na Figura 3.8.

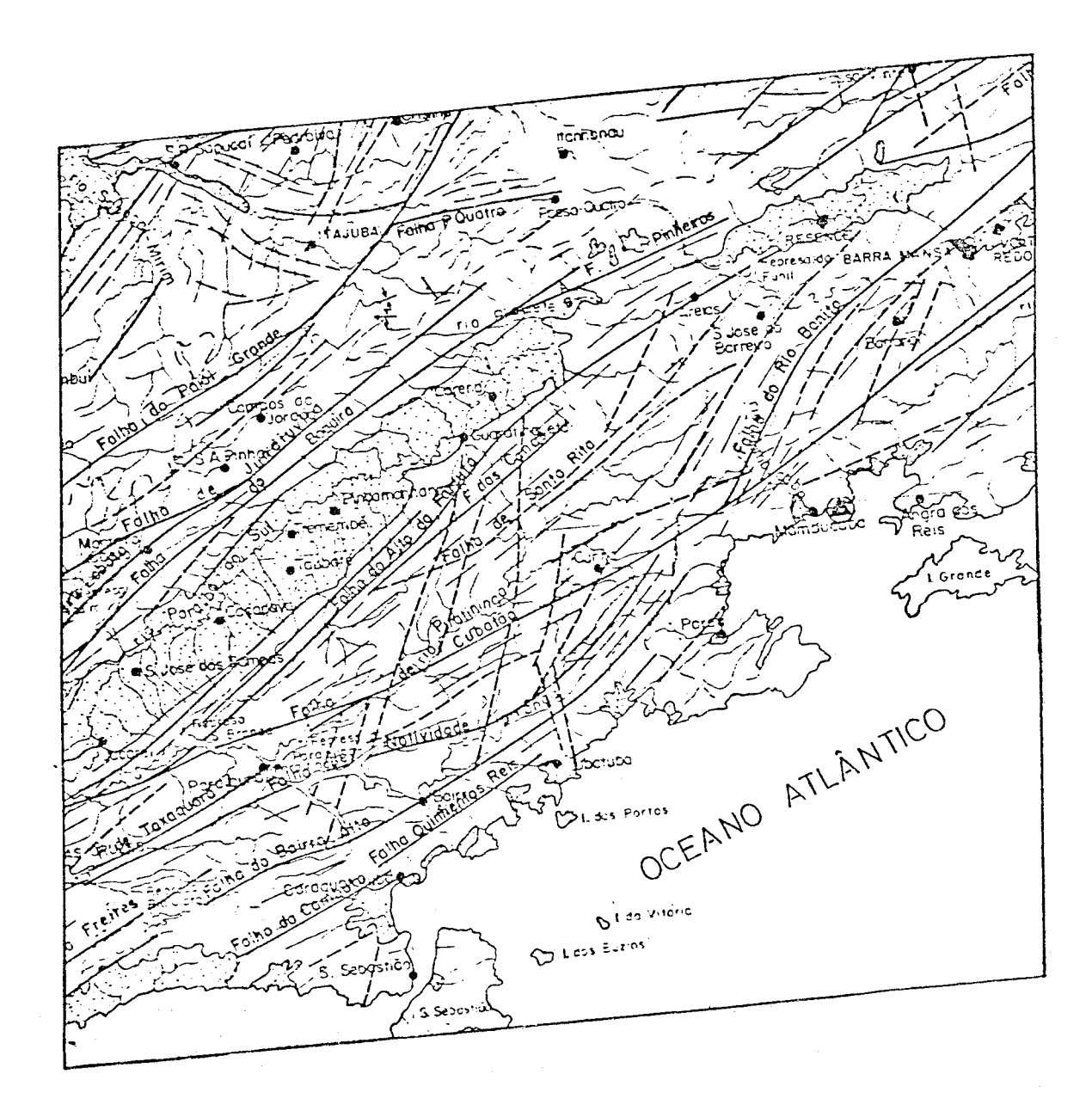


Fig. 3.8 - Principais falhas localizadas na região estudada.

FONTE: Hasui et alii, 1982 (Anexo D).

As zonas de falhas são constituídas de milonitos, ultra milonitos e blastomilonitos, com estruturas de transposição e dobras cer radas, com espessuras de milonitos da ordem de centimetros e milhares de metros (Campanha, 1380; Sadowski, 1983).

Algumas falhas como as de Cubatão e Jundiuvira apresentam características ora de empurrão, ora de transcorrência e ora de gravidade, embutindo blocos alongados de metassedimentos de grau meta morfico mais baixo que os migmátitos e granulitos adjacentes (Sadowski, 1974; Sadowski, 1983).

Haralyi et alii (1985), em estudos geofísicos, têmiden tificado nessa região anomalias de origem profunda que se traduziriam em extensas zonas de cavalgamento de baixo ângulo, expondo nas suas porções limítrofes os níveis crustais inferiores dos blocos cavalgan tes.

Tais estruturas são reportadas por esses autores ao Ar queano, tendo-se sobreposto a elas os feixes de descontinuidades trans correntes, presumivelmente no Proterozóico Inferior e depois reativa dos no Ciclo Brasiliano.

Além das falhas, algumas estruturas maiores de caráter antiformal e sinformal têm sido reconhecidas, como o sinclinal de Ital va no Estado do Rio de Janeiro (Fonseca et alii, 1979), os sinclino rios de Bonsucesso, Ribeira e Guarapiara e os anticlinorios de Cunha poranga, Agudos Grandes e Três Corregos nos dominios do Grupo Açungui (Hasui et alii, 1980), bem como a propria estrutura em geossinclineo ja reconhecida por Ebert (1968) nas rochas do Grupo Açungui e Complexo Paraíba do Sul.

Uma opinião correntemente aceita para a tectônica do sudeste brasileiro é aquela em que o pré-cambriano teria uma compartimentação em blocos justapostos, limitados por grandes falhamentos transcorrentes, estilo esse, reconhecido pela primeira vez por Hennies et alii (1967b) e largamente utilizado por outros autores desde então. Es sa estrutura é tida como devida a falhamentos transcorrentes vincula dos ao Ciclo Brasiliano (Hasui e Sadowski, 1976; Hasui et alii, 1977; Hasui et alii, 1978a; Hasui et alii, 1982 e outros).

Somente mais recentemente, à luz de teorias sobre cisa lhamento ductil e ruptil, tem-se sugerido para a area um cisalhamento em condições ducteis mais antigo (provavelmente no Proterozoico Inferior) e sua reativação como falhas transcorrentes sob tectônica ruptil no Ciclo Brasiliano (Hasui, comunicação verbal).

As estruturas mais novas pertinentes ao Fanerozóico, têm sido invariavelmente relacionados à reativação da Plataforma Sul Americana durante a abertura do Atlântico Sul.

Tal reativação teria ocorrido por meio de uma tectônica de aparente tensão, com a formação de grabens e rifts ao longo da antiga linha de fraqueza representado por lineamentos pré-cambrianos (Sadowski, 1976).

Assim, têm-se como principais estruturas correlatas, a bacia de Santos, os inúmeros grabens na plataforma continental e o sistema de rifts no continente, onde se situam as quatro principais bacias sedimentares da região: as bacias de São Paulo, Taubaté, Resende e Volta Redonda.

As bacias sedimentares da região tiveram seu desenvolvimento fortemente ligado ao tectonismo meso-cenozóico.

A bacia de Taubaté, por exemplo, é um complexo graben, onde as falhas principais de direção E-NE mergulham para SE e cujos movimentos foram rotacionais, com basculamentos de blocos para N (Carneiro et alii, 1976). A configuração da bacia é melhor compreendidacon siderando-se as falhas longitudinais e os seus altos topográficos trans versais, identificados por Hasui e Ponçano (1978). Tais altos topográficos compartimentam a bacia em quatro sub-bacias de sedimentação e es tão ligados a lineamentos de direção N-NE, visíveis também nas rochas cristalinas adjacentes (Hasui et alii, 1978c), conforme a Figura 3.9.

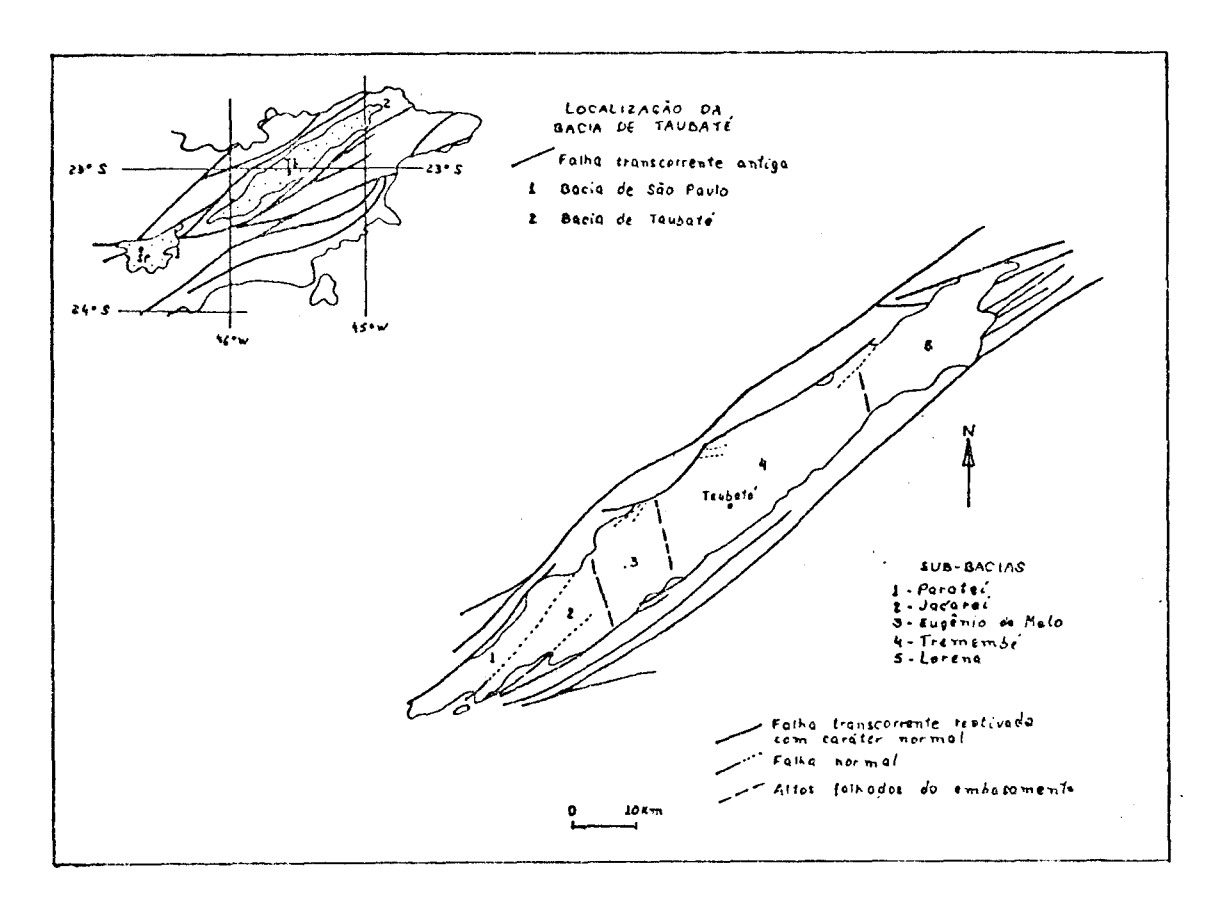


Fig. 3.9 - Falhas de gravidade associadas à bacia de Taubaté. FONTE: Hasui e Ponçano (1978), p. 369.

Os movimentos tectônicos ocorridos não foram so sincro nos à sedimentação, mas também afetaram as últimas camadas depositadas através de falhas de gravidade (Hasui et alii, 1978c; Melo, 1984).

CAPÍTULO 4

LINEAMENTOS: EXPRESSÃO NA IMAGEM

Os lineamentos analisados neste trabalho podem ser agrupados basicamente em duas categorias: aqueles cuja distribuição se concentra ao longo de faixas bem definidas no terreno e aqueles que são distribuidos por toda a area.

Todo o conjunto de lineamentos fotointerpretados a par tir de imagens de sensores remotos e apresentado em um mapa de linea mentos estruturais, na Figura 4.1 e no Apendice A deste trabalho.



Fig. 4.1 - Mapa de lineamentos estruturais foto interpretados.

De acordo com os critérios enumerados no Capítulo 2, foram distinguidos na fase de interpretação de imagens, sete sistemas de lineamentos. Três desses sistemas são concentrados preferencialmente em feixes e sua origem ligada a eventos tectônicos antigos, proterozóicos

sendo que suas feições registradas atualmente teriam sido geradas em zonas de cisalhamento. Os lineamentos dos outros quatro sistemas apresentam-se por toda a área, obedecendo determinados padrões de distribuição e sua origem é associada ao evento tectônico que gerou a abertura do Atlântico Sul, no Meso-Cenozóico. Além disso, no Meso-Cenozóico, é verificada também a reativação de dois dos sistemas antigos de lineamentos.

Os sistemas de lineamentos são designados pelas letras A, B, C, D, E, F e G, conforme a Tabela 4.1. Os sistemas A e C, embora apresentem a mesma direção, constituem feixes de lineamentos gerados por eventos distintos, conforme se explicará adiante.

TABELA 4.1

DIREÇÕES DOS SISTEMAS DE LINEAMENTOS FOTOINTERPRETADOS

SISTEMAS DE LINEAMENTOS FOTOINTERPRETADOS	DIREÇÃO DOS SISTEMAS		
A	N70E		
В	N20E		
С	N70E		
D	MOSN		
E	N20W		
F	N60W		
G	:N50W:		

Os sistemas de lineamentos são descritos a seguir, obe decendo a sua ordem cronológica relativa, estabelecida a partir de observações fotointerpretativas.

Nada impede que algum dos sistemas aqui considerados me so-cenozoico tenha se aproveitado de direções antigas de fraqueza na crosta e represente em última análise, uma reativação. Porem, o que

se registra em imagens de sensoriamento remoto são as relações espaciais entre os lineamentos e através delas é que se busca reconstituir as relações temporais.

Os lineamentos dos sistemas A, B e C encontram-se con centrados preferencialmente ao longo de faixas no terreno, constitui \underline{n} do o que se chama de feixes de lineamentos, embora também existam $\underline{1}\underline{i}$ neamentos correlatos a esses sistemas distribuídos homogeneamente pela area.

A Figura 4.2 e Apêndice D deste trabalho, apresentam os lineamentos pertinentes a esses três sistemas, concentrados ao longo de faixas, para que se possa visualizar as relações existentes entre eles.

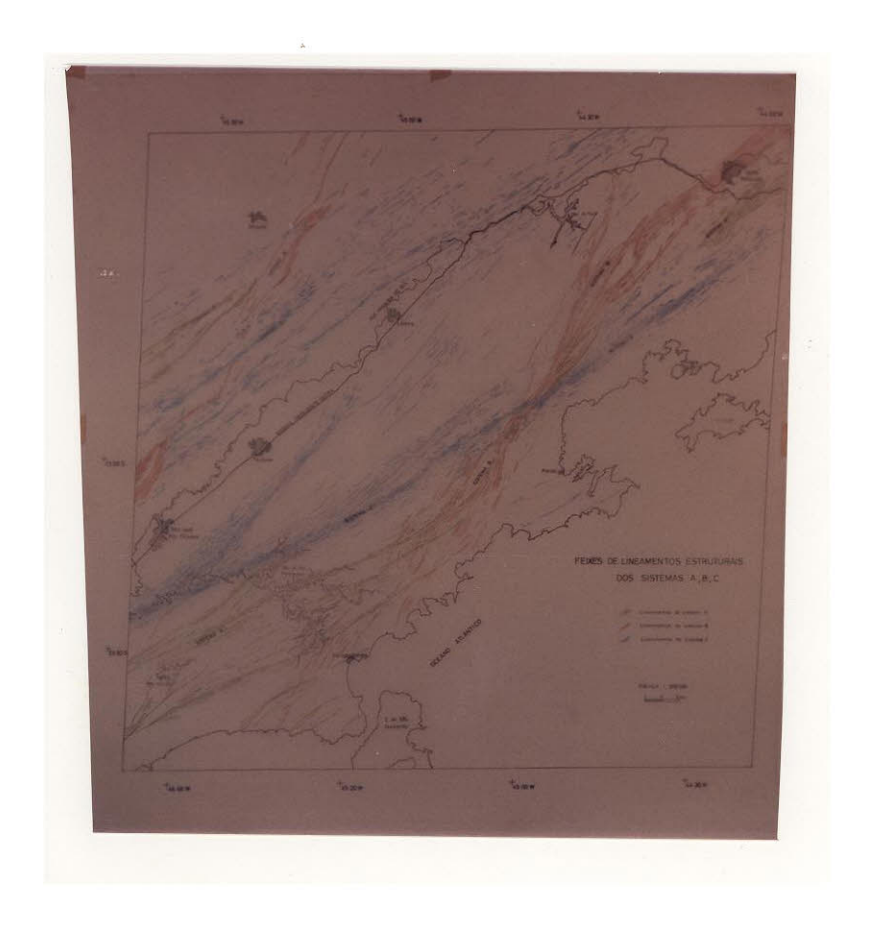


Fig. 4.2 - Mapa de feixes de lineamentos dos sistemas A, B, C.

O sistema A corresponde ao sistema mais antigo, com di reção N70E, representado sobretudo por vales alongados, cujos linea mentos são perceptíveis principalmente nas extremidades nordeste e \underline{su} doeste das imagens analisadas.

Assume-se que os lineamentos do sistema A, em passado remoto, constituiram um feixe de lineamentos que atualmente apresenta-se truncado e deslocado de maneira a evidenciar a ação de falhamentos transcorrentes a ele sobrepostos. Este sistema é o mais antigo identificado na área, por apresentar características de feixe de lineamentos, gerado necessariamente por tectônica de transcorrência (portanto proterozóico segundo a bibliografia) e por não afetar nenhum outro feixe de lineamentos; ao contrário, é afetado por estes.

Os lineamentos do sistema A são truncados e deslocamen tos sinistralmente pelos lineamentos do sistema B, separando-se o 19 sistema numa porção situada a nordeste e outra a sudoeste da área. Na porção nordeste da área, já nos limites do Estado do Rio de Janeiro, on de localiza-se a falha de Além Paraíba, percebe-se um pequeno feixe de lineamentos com direção aproximada N70E, um tanto tortuosos, que se perdem sob os lineamentos do sistema B, na região da Serra dos Órgãos com características de arrasto por transcorrência. Na porção sudoeste da área, na região das falhas de Bairro Alto e Cubatão, os lineamentos do sistema A formam pequenos feixes com direção aproximada N70E, que se perdem igualmente ao encontrarem os lineamentos do sistema B, exibin do feições de deslocamento sinistral (ver Figuras 3.8 e 4.2).

Ambos sistemas de lineamentos, A e B, são posteriormente deslocados por transcorrência destral dos lineamentos do sistema C, a eles sobreposto.

O sistema de lineamentos denominado B e representado na Figura 4.3 e Apêndice B deste trabalho. Constitui-se de lineamentos lon gos, contínuos e bem visíveis, marcados por vales rasos e abertos, com direção em torno de N20E. Os lineamentos do sistema se concentram ao longo de um feixe bem marcado próximo à linha do litoral passando pe

los Estados do Rio de Janeiro e São Paulo; outro feixe menos pronunciado existe à NW da área, entre os Estados de São Paulo e Minas Gerais, na região da falha do Paiol Grande. Além dos lineamentos concentrados em feixes, existe uma profusão de outros lineamentos distribuídos pela área com a mesma direção N20E e igualmente atribuídos ao sistema B.

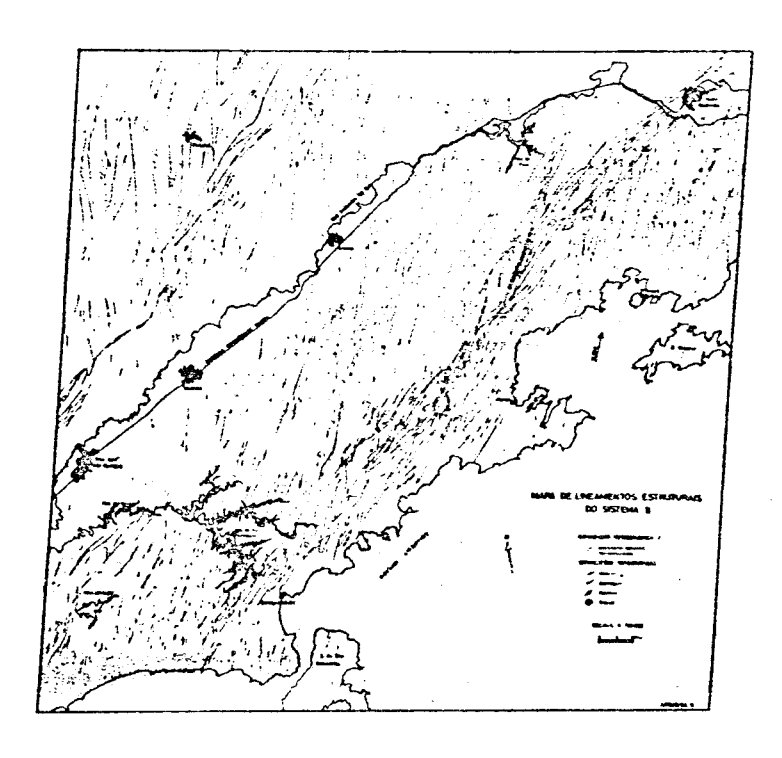


Fig. 4.3 - Mapa de lineamentos estruturais do sistema B.

O feixe de lineamentos do sistema B que corre nas proximidades do litoral, apresenta um entrelaçamento característico que chega a lembrar o que Badgley (1965) chamou de zonas de falhas transcorrentes trançadas, resultado da convergência e divergência de blocos em zonas de tensão e compressão.

Os feixes de lineamentos do sistema B apresentam uma componente horizontal de rejeito sinistral, acusada principalmente pe la atual distribuição dos lineamentos do sistema A.

Posteriormente, os feixes de lineamentos dos sistemas A e B sofrem grandes deslocamentos destrais, causados por movimentos de rejeito horizontal nos lineamentos do sistema C. Este último, com sua transcorrência destral na direção N70E, modifica sobremaneira, a direção preferencial dos feixes de lineamentos do sistema B.

Também pertinentes ao sistema B, existem lineamentos que não estão agrupados em feixes, mas distribuídos de maneira mais ou me nos homogênea pela área. Esses lineamentos apresentam-se de maneira ge ral, levemente curvos, como que sob a ação de um binário de forças com movimentos destrais que teria agido na direção do feixe de lineamentos do sistema C (N70E). Apesar do traçado um tanto curvo, observado prin cipalmente nos lineamentos mais longos, estes conservam a direção pre ferencial do sistema, em torno de N20E (Figura 4.3).

O sistema de lineamentos denominado C (Figura 4.4 e Apêndice C) constitui-se dos lineamentos mais evidentes de toda a ima gem, configurando-lhe feições marcantes de direção N70E. Os lineamen tos do sistema apresentam-se distribuídos regularmente pela área, sem pre com extrema retilinearidade. Bordejando a costa atlântica, concentram-se em um extenso feixe de lineamentos que atravessa todo o Vale do Paraíba no Estado de São Paulo e adentra o Estado do Rio de Janeiro com direção N70E. Esse feixe constitui a chamada zona de cizalhamentos São Paulo (Hasui et alii, 1982), onde se localiza principalmente a falha de Taxaquara (ver Figura 3.8).

Os lineamentos do sistema C são longos e bem definidos; topograficamente são expressos por cristas e vales muito alinhados e bastante persistentes através de diferentes litologias e zonas geomor fológicas. Na zona geomorfológica do Planalto do Paraitinga, particularmente, a drenagem é extremamente encaixada nos vales alinhados se gundo a direção do sistema.

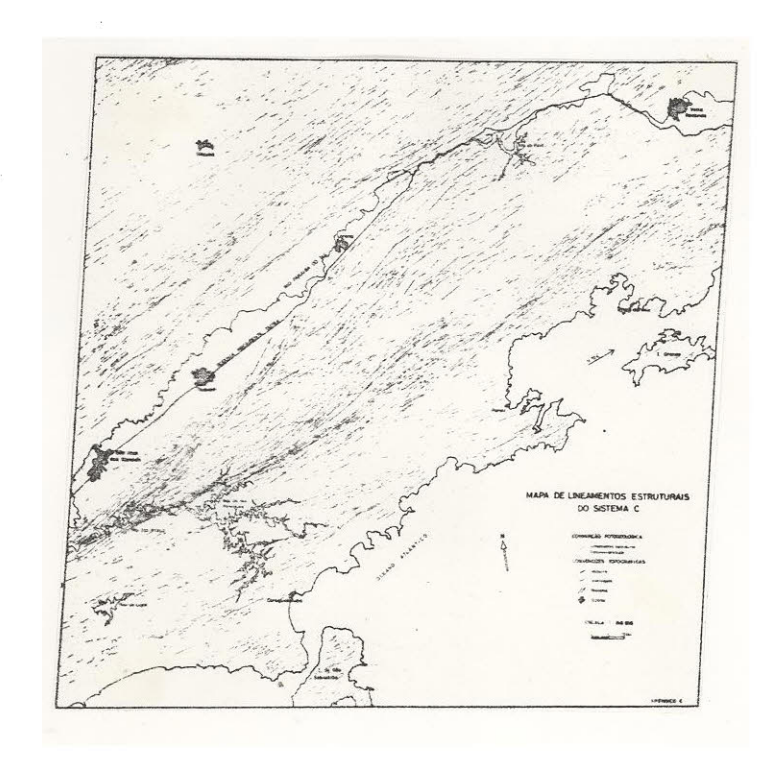


Fig. 4.4 - Mapa de lineamentos estruturais do sistema C.

O principal feixe de lineamentos do sistema C subdivide -se ao norte da represa de Paraibuna, onde localiza-se a falha do Alto da Fartura, dando origem a um novo feixe que faz ângulo de aproxi $\,$ mente 20° com a direção principal do sistema.

Conforme exposto anteriormente, o feixe de lineamentos do sistema C que constitui a zona de cisalhamentos São Paulo, apresenta feições de deslocamentos horizontais com rejeito destral. Desloca assim, os lineamentos do sistema B de maneira geral, deslocamento este especialmente visível nos seus feixes de lineamentos. Por conseguinte, desloca igualmente os lineamentos do sistema A (Figura 4.2).

Apesar dos sistemas A e C apresentarem aproximadamente a mesma direção, eles têm sua diferenciação baseada em cuidadosa an $\underline{\hat{a}}$ lise de diversas imagens de sensores remotos, uma vez que observações de campo detalhadas não foram possíveis por fugirem do escopo deste trabalho.

A principal característica diagnóstica entre os siste mas A e C e que os lineamentos do sistema A não apresentam a mesma con tinuidade e retilinearidade que têm os do sistema C, por serem estes últimos mais novos. Alem disso, apresentam pequenas diferenças em suas direções quando analisados num contexto de feixes de lineamentos. relação ao sistema C percebe-se que um feixe de lineamentos com dire ção E-NE atravessa toda a imagem com extrema retilinearidade e persis tência, sobrepondo-se aos outros trends existentes. Um outro feixe de lineamentos, o sistema A, um pouco mais ao norte em relação ac primei ro, vem através do Estado do Rio de Janeiro com a mesma direção N70E e, na altura da Serra dos Órgãos, parece vergar-se ligeiramente para sul, perdendo-se entre os lineamentos dos sistemas B e C que ai se cru zam (Figura 4.2).

Intrincadas sobreposições de estruturas têm lugar nas proximidades da Serra dos Órgãos, entre os Estados de São Paulo e Rio de Janeiro, onde se interceptam os três feixes de lineamentos acima descritos. Configura-se aí, uma região bastante conturbada estrutural mente, mas infelizmente, ainda pouco estudado, talvez pela dificuldade de acesso.

Os sistemas de lineamentos B e C, gerados à partir de eventos pre-cambrianos, apresentaram no Meso-Cenozóico, uma discreta reativação. Neste período a chamada reativação Wealdeniana, responsa vel pela abertura do Atlântico Sul, imprimiu a essas fraturas pre-existentes, movimentos de carater predominantemente vertical, assunto do qual se falara ainda à seguir.

Os sistemas de lineamentos denominados D, E, F e G de acordo com a interpretação realizada, são associados neste trabalho a tectônica meso-cenozóica.

Os lineamentos desses quatro sistemas caracterizam-se por sua distribuição mais ou menos homogênea por toda a área, tendo cada sistema, variações próprias no padrão de distribuição, comprimento relativo, grau de expressão e espaçamento de seus lineamentos. Não ocorre aqui, a concentração em feixes, característica dos sistemas de lineamentos A, B e C, anteriormente descritos.

Os sistemas de lineamentos D, E, F e G possuem lineamentos extremamente retilineos e, via de regra, estão presentes nos sedimentos das bacias sedimentares da região, não deixando duvidas quanto a sua origem vinculada à tectônica meso-cenozoica.

Os lineamentos do sistema D, com direção N80W, compõem alinhamentos bem definidos por grandes extensões. São representados por cristas e principalmente vales alongados. Seus traços são longos, com boa continuidade junto ã costa e na região da Serra dos Órgãos, tornan do-se mais sutís e representados por pequenos segmentos de vales alinha dos à medida em que adentram no continente. Sua distribuição é relativa mente homogênea por toda a área, inclusive nos sedimentos da bacia sedi mentar de Taubaté. Percebe-se pelas imagens, notadamente nas SLAR, que os lineamentos desse sistema possuem uma componente de rejeito horizon tal que desloca destralmente os lineamentos dos sistemas B, E e G. (Figura 4.5 e Apêndice E).

O sistema de lineamentos denominado E tem direção aproximada N20W e apresenta grande variação na direção média de seus componentes. É caracterizado por lineamentos curtos, expressos por vales rasos e amplos, bastante visíveis, mas que não definem grandes alinhamentos. Seus lineamentos deslocam sinistralmente os lineamentos do sistema B, afetam os sedimentos da bacia de Taubaté e ainda são deslocados destralmente pelos lineamentos do sistema C, este último obviamente agin do aqui sob regime de reativação. Os lineamentos do sistema E são apresentados na Figura 4.6 e Apêndice F.

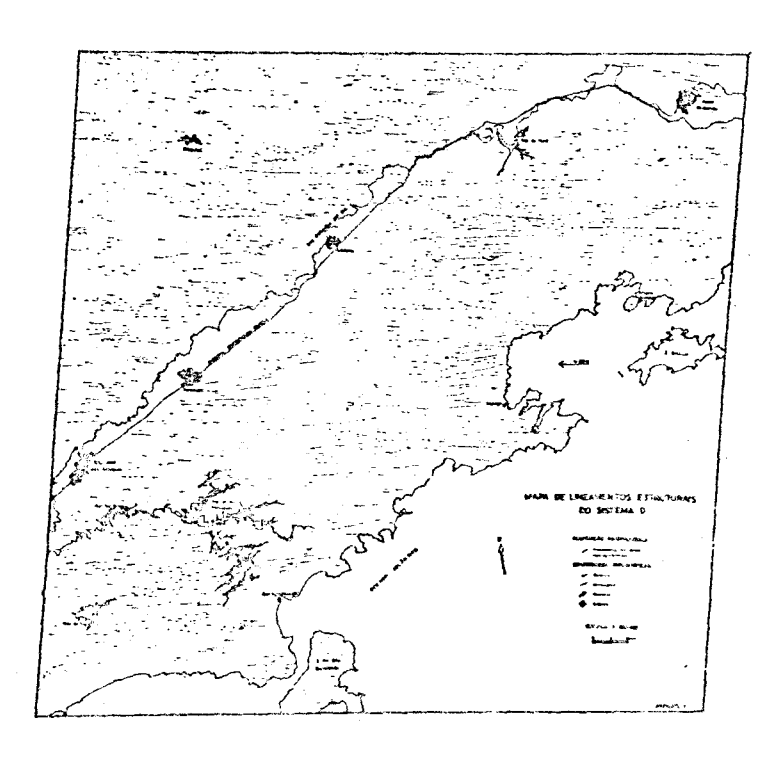


Fig. 4.5 - Mapa de lineamentos estruturais do sistema D.

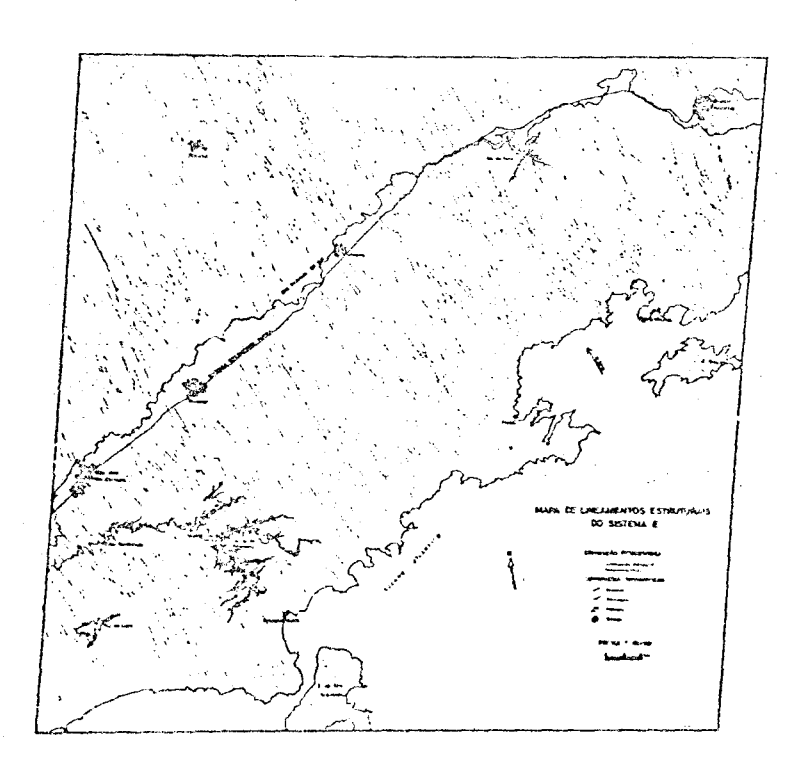


Fig. 4.6 - Mapa de lineamentos estruturais do sistema E.

O sistema de lineamentos F tem direção aproximada N60W, com lineamentos curtos, regularmente distribuídos e com baixa densida de, dados pelo alinhamento de vales alongados e colinas suaves. Não foram encontradas evidências que pudessem estabelecer sua posição na cronologia relativa entre os sistemas estudados. Os lineamentos do sistema F afetam os sedimentos da bacia de Taubaté. A inflexão do eixo da bacia de Resende com relação à de Taubaté e a morfologia da linha de costa su gerem um deslocamento destral para esse sistema (Melo, 1984). O mapa de lineamentos estruturais do sistema F é apresentado na Figura 4.7 e Apên dice G.

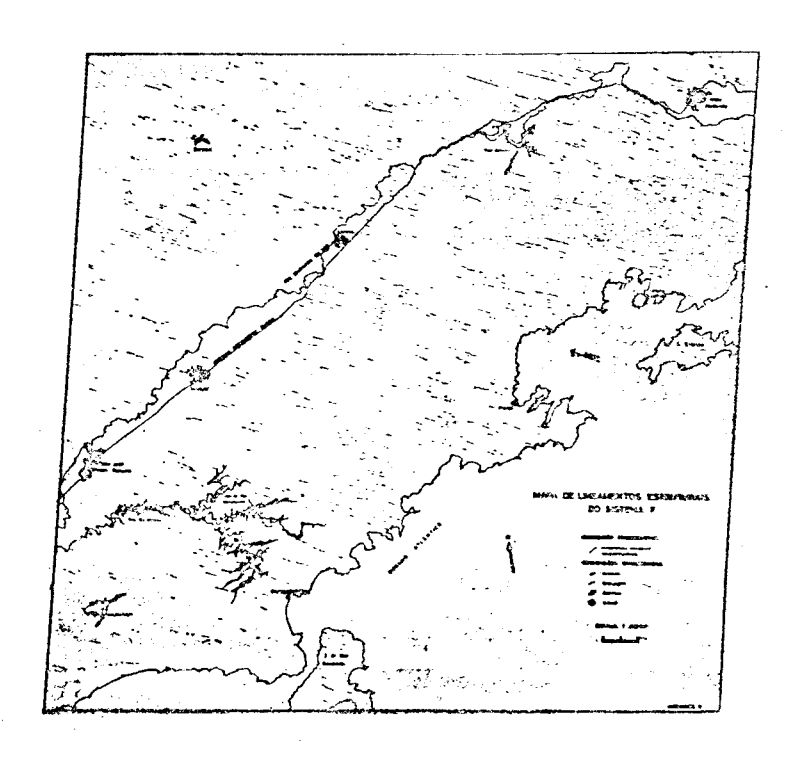


Fig. 4.7 - Mapa de lineamentos estruturais do sistema F.

O sistema de lineamentos denominado G compõe-se de linea mentos relativamente longos, muito evidentes e bem distribuídos em toda a área com direção aproximada N50W. É caracterizado pelo alinhamento ge ral das pequenas feições do relevo, segmentos de vales ou lineamentos to nais em áreas de relevo arrasado, onde a drenagem é muito encaixada, ou

ainda, caracteriza-se por grandes sulcos na Serra da Mantiqueira e na Serra do Mar (Figura 4.8 e Apêndice H). Não foram encontradas evidên cias de componente horizontal de deslocamento. Não obstante, os linea mentos do sistema G são deslocados destralmente pelo sistema D e também afetam os sedimentos da bacia de Taubaté.

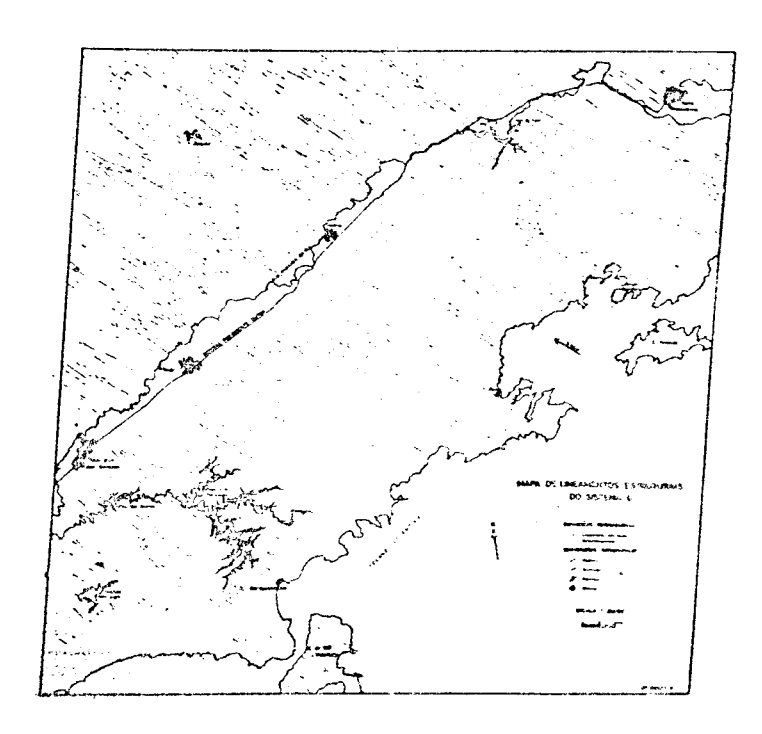


Fig. 4.8 - Mapa de lineamentos estruturais do sistema G.

Os sistemas D, E, F e G apresentam condicionamento mútuo entre seus traços estruturais, sendo que os lineamentos de cada sistema concentram-se exatamente onde existem "espaços vazios" deixados pelos outros.

Do exposto à respeito das relações verificadas entre os sistemas de lineamentos associados à tectônica meso-cenozóica, depreen de-se que o sistema D é posterior ou concomitante aos sistemas E e G e que houve uma reativação dos lineamentos do sistema C afetando o sistema E; portanto, também esta reativação é posterior a E.

CAPITULO 5

CORRELAÇÃO ENTRE LINEAMENTOS E DADOS DE CAMPO

A grande maioria dos autores considera que os lineamentos revelados por imageamentos de grande altitude, por serem muito ex tensos têm seus cursos representados por vales tão amplos que as escalas ordinárias de observação tornam-se, as vezes, muito detalhistas para detectá-los.

Em regiões de rochas cristalinas os lineamentos são ex tremamente abundantes, mas a intemperização profunda das rochas e o pre enchimento dos vales por depositos aluvionares contribuem para mascarar as suas evidências no campo.

Também os trends estruturais regionais podem sofrer in flexões tão localizadas que sópoderiam ser examinadas em escalas de observação à nível de afloramento, ou ainda, podem sofrer variações de escala tão regional que somente poderiam ser examinadas sob escalas compatíveis com as imagens orbitais. Com esta concepção, certamente diversas direções estruturais em escala de afloramento não serão totalmen te concordantes com as mapeadas nas imagens.

Tem-se ainda que a frequência de afloramentos com boas exposições é quase sempre baixa e esses distribuem-se, as vezes, de for ma não muito conveniente, dificultando a relação entre os dados de cam po e de imagens de sensores remotos.

A aquisição de dados de campo neste trabalho foi feita de modo a escolher dentre as várias estruturas visíveis no afloramento, a quelas que mais diretamente influem no desenvolvimento das formas topo gráficas, pois apenas esses dados podem permitir uma boa correspondên cia com os lineamentos topográficos.

As estruturas consideradas foram as juntas, que quase sem pre controlam declives agudos nas regiões montanhosas e a foliação que muitas vezes \tilde{e} concordante com formas alongadas de relevo e cursos retos de rios (Liu, 1984).

Afloramentos de falhas e zonas miloniticas foram considerados a medida que relacionados com algum sistema de juntas ou a foliação metamórfica regional. Dobras em escala mapeavel não foram consideradas porque necessitariam para sua definição, de mapeamento litológico e medidas de detalhe que fogem ao objetivo deste trabalho. Quando en contradas, foram tomadas também, medidas de lineações minerais.

Os dados de campo foram tomados em sete perfis de modo a cobrir toda a area (Figura 5.1):

- 1) São José dos Campos Caraguatatuba
- 2) Taubate Ubatuba
- 3) Aparecida Parati
- 4) Barra Mansa BR-101
- 5) Parati Angra dos Reis
- 6) Taubate Paraisopolis
- 7) Lorena Itajubā

As medidas estruturais tomadas em campo e o mapa de pontos encontram-se respectivamente nos Apendices I e J.

De maneira geral, constatou-se nas observações de campo o seguinte:

a foliação cataclástica é generalizada paralelamente à principal direção de cisalhamento da região, ou seja, aproximadamente NOE.
 0 cisalhamento em muitas vezes é concentrado em estreitas faixas, originando zonas miloníticas na mesma direção, inclusive com recristalização de minerais com seu eixo maior paralelo à xistosi

dade. Tal direção de cisalhamento corresponde, na fotointerpreta ção, ao sistema de lineamentos C, onde se encontram lineamentos devidos a juntas, falhas e foliação metamorfica, principalmente.

- varias lineações minerais sub-horizontais foram encontradas na direção deste cisalhamento, indicando movimentos horizontais a sub-horizontais sob regime de transcorrência.
- a foliação no campo varia bastante de um afloramento a outro, não obstante seja bem constante nas imagens orbitais, visto a diferença de escalas existente.

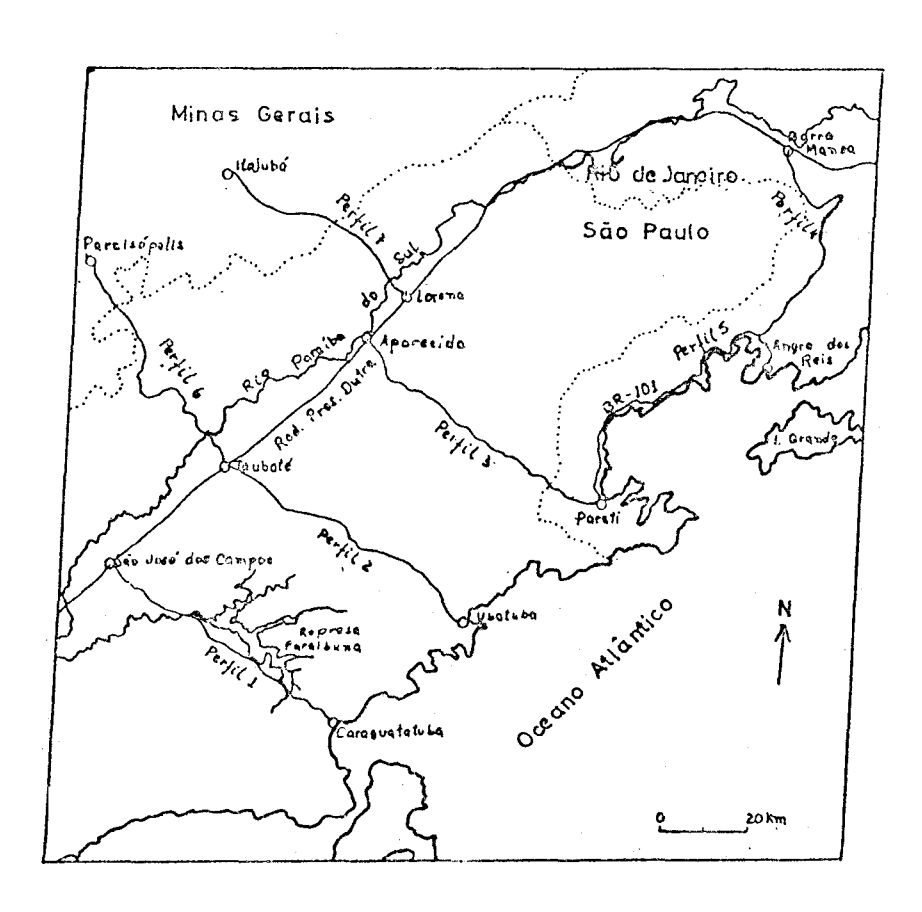


Fig. 5.1 - Perfis percorridos no campo.

As medidas estruturais de juntas foram projetadas em diagramas do tipo equiareal de Schmidt e tratadas estatisticamente no diagrama de contagem de Kalsbeck. Verificou-se a existência de sete sis

temas de juntas correspondentes aos sistemas de lineamentos encontrados com a fotointerpretação, apresentando apenas diferenças de poucos graus quanto ãs suas direções preferenciais.

Seguem-se os diagramas de juntas para cada perfil real<u>i</u> zado (Figuras 5.2 a 5.8), onde considerou-se como indicação de um sistema de juntas, apenas aglomerados significativos de pontos, desprezando-se as baixas concentrações.

Na Figura 5.9, apresenta-se o diagrama de foliações da área, no qual verificam-se valores na direção NE, com caimentos tanto para SE como para NW.

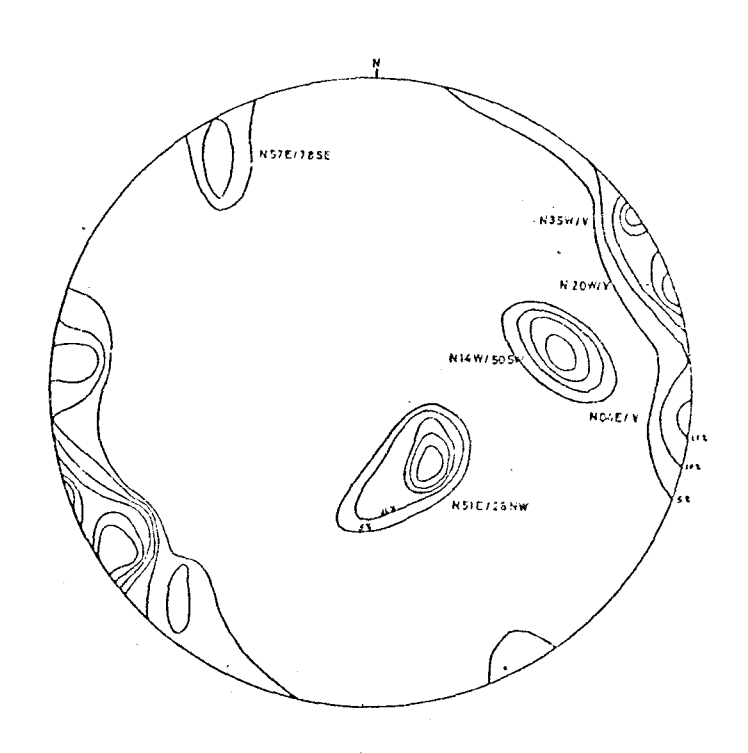


Fig. 5.2 - Diagrama de juntas (329 medidas).

Perfil 1: São José dos Campos - Caraguatatuba

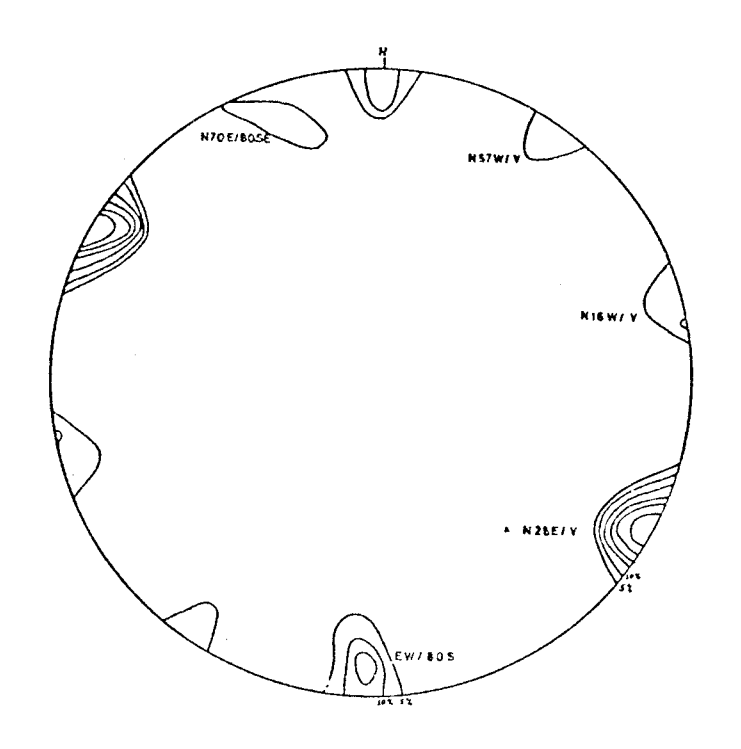


Fig. 5.3 - Diagrama de juntas (221 medidas). Perfil 2: Taubaté - Ubatuba.

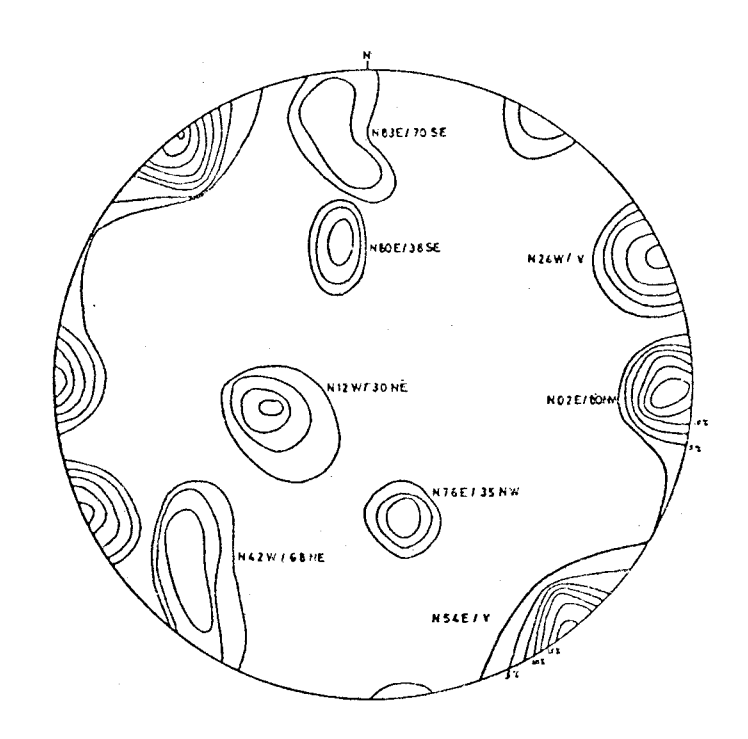


Fig. 5.4 - Diagrama de juntas (459 medidas). Perfil 3: Aparecida - Parati.

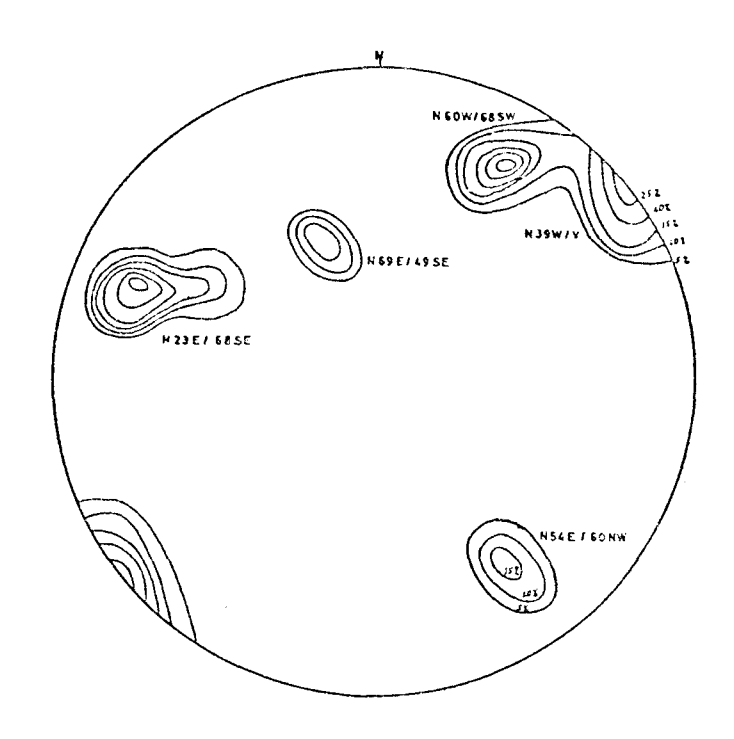


Fig. 5.5 - Diagrama de juntas (109 medidas). Perfil 4: Barra Mansa - BR-101.

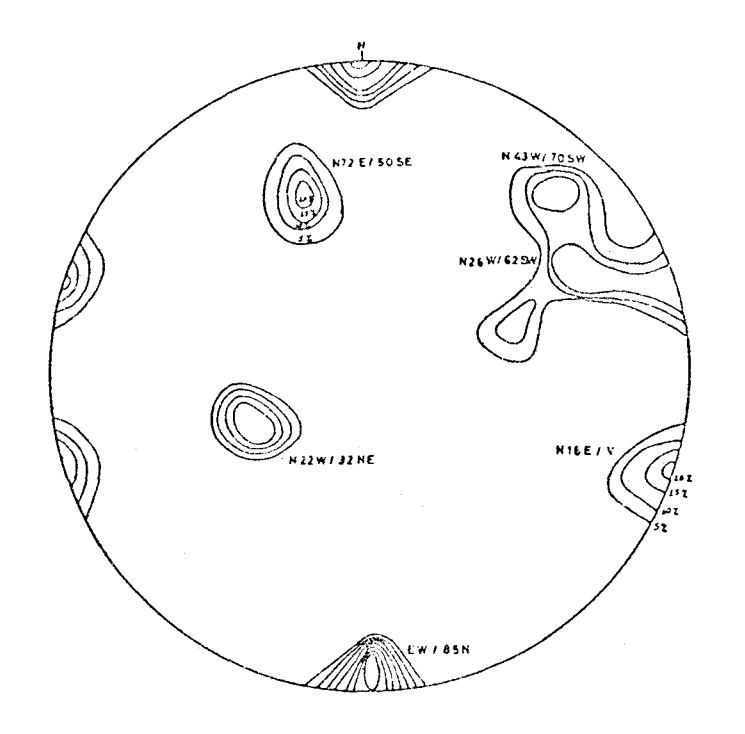


Fig. 5.6 - Diagrama de juntas (175 medidas). Perfil 5: Parati - Angra dos Reis.

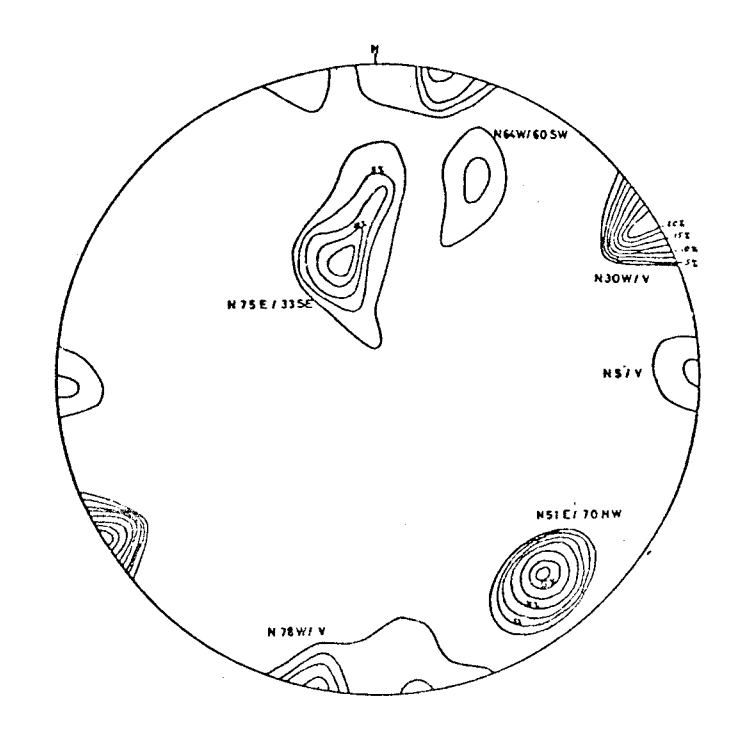


Fig. 5.7 - Diagrama de juntas (276 medidas). Perfil 6: Taubaté - Paraisopolis.

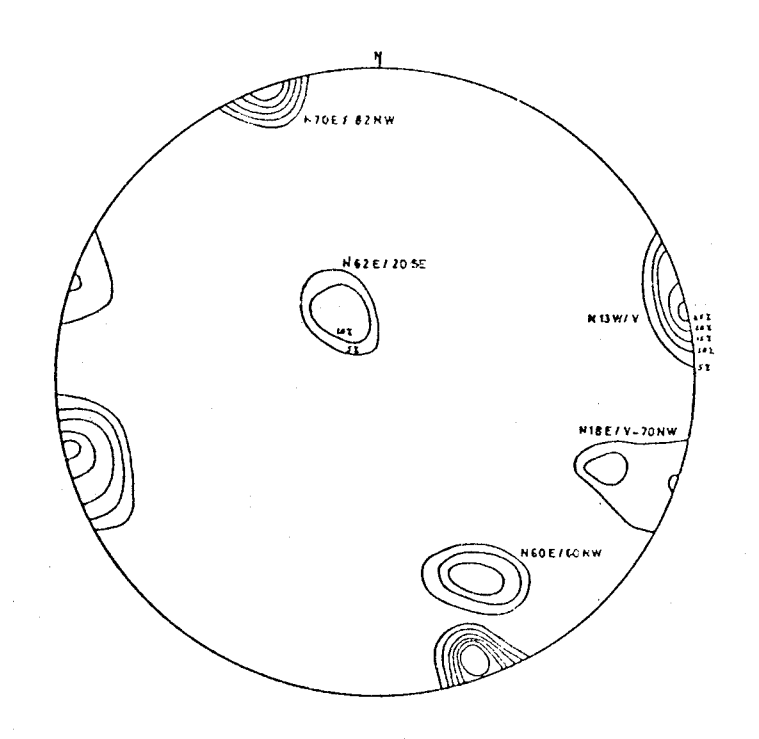


Fig. 5.8 - Diagrama de juntas (202 medidas). Perfil 7: Lorena - Itajuba.

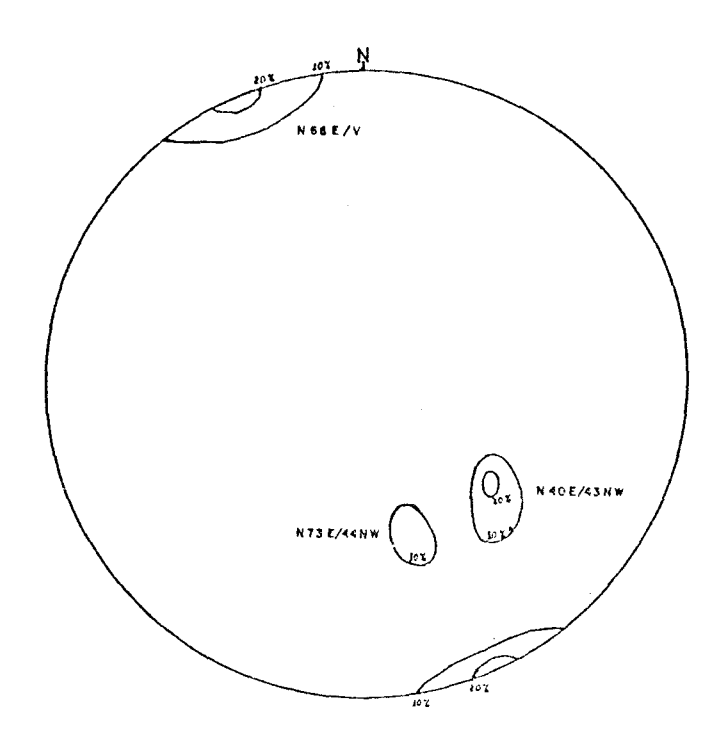


Fig. 5.9 - Diagrama de foliações (112 medidas).

Para maior facilidade de visualização, os sistemas de juntas representado em cada diagrama são sintetizados na Tabela 5.1, juntamente com os sistemas de juntas fotointerpretados a que correspondem.

TABELA 5.1

SISTEMAS DE JUNTAS OBTIDOS ATRAVÉS DE DADOS DE CAMPO E FOTOINTERPRETAÇÃO

		DIREÇÕES OBTIDAS ATRAVÉS DE DADOS DE CAMPO						
SISTEMAS DE JUNTAS	DIREÇÕES FOTOIN TERPRET <u>A</u> DAS	PERFIL 1 SÃO JOSEDOS CAMPOS-CARA GUATATUBA		PERFIL 3 APARECIDA- PARATI	BARRA MANSA	PERFIL 5 PARATI-AN GRA DOS REIS	PERFIL E TAUBATE- PARAISÕPO LIS	PERFIL) LORENA- ITACUEÁ
A - C	N70E/Y	N57E/78SE	N70E/80SE	N83E/70SE	_	-	-	N70E/82NW
В	N20E/V	N17E/53SE	N28E/V	-	N23E/68SE	N18E/V	-	N18E/80NA
. D	NSOW/V	-	EW/80N	-	-	EW/85N	N78W/V	-
E	N20W/V	N20W/V	N16W/V	N24W/V	-	-	N3CW/V	N137/7
F	N60W/V	-	N57W/V	- ,	N60W/63SW	-	N64W/50SW	-
G	N50W/V	N35W/V	· -	N42W/68NE	N39W/V	N35W/EOSW	-	-
Sistema de juntas in clinadas	-	N51E/26NW	-	N76E/35NW	-	-	-	-

Com relação ao sistema C, tem-se a dizer que os lineamen tos expressos na topografia e possíveis de serem traçados ao longo de depressões e elevações retilíneas, são realces de uma erosão litológica dentro e ao longo de rochas extremamente cisalhadas para as quais a xistosidade, as bandas composicionais e as fraturas paralelas à foliação exercem um importante controle.

Essas faixas nas quais os lineamentos se concentram den samente, são a representação topográfica de uma zona de cisalhamentos. Não obstante, este cisalhamento e também distribuído por toda a área, tornando-se mais aparente nos diagramas de juntas correspondentes aos perfis que atravessam as principais zonas de cisalhamento, como nos casos dos perfis São José dos Campos-Caraguatatuba, Taubaté-Ubatuba e Aparecida-Parati.

Os lineamentos distribuídos pela área, que apresentam a mesma direção de feixes de lineamentos, representam pequenas fraturas, foliações cataclásticas e clivagens relacionadas ao mesmo evento que ge rou a zona de cisalhamento correspondente.

Ao norte da represa de Paraibuna (Figura 4.4) ocorre um desvio na direção da faixa principal de cisalhamento com direção aproximada de N50E/V, perfeitamente identificavel na fotointerpretação e nos dados de campo.

Os sistemas B, E, Fe G são bem representados nos diagramas de juntas dos diversos perfis realizados. O sistema de lineamentos foto interpretado D, apresenta boa correspondência nos diagramas de juntas, porém aqui com direção EW/V.

Aparecem em alguns perfis um sistema de juntas na dire ção NS/V mal individualizado. Tal direção não se identifica na fotoin terpretação como um sistema, mas sim como variações de direção dos sistemas vizinhos, principalmente o sistema B. Essa direção é ainda parti

cularmente interessante no que diz respeito ao realce topográfico, constituindo em afforamento, enormes paredões de rochas talhadas vertical mente.

Também verificou-se em campo a existência de juntas de baixo mergulho que aparecem nos diagramas com direção N75E/35SE. Nos perfis, várias outras atitudes foram apontadas em baixas concentrações. Tal sistema não foi detectado na fotointerpretação por sua não vertica lidade e pela coincidência de direção com o principal sistema de li neamentos da área.

As juntas de distensão encontradas em campo, preenchidas geralmente com material quartzo-feldspatico, não caracterizaram uma unica direção de modo a associarem-se a um unico sistema.

As medidas de foliação metamorfica, embora tenham sido tomadas em número relativamente pequeno, indicam via de regra direções E-NE com mergulhos variáveis.

CAPITULO 6

DISCUSSÃO DOS RESULTADOS

6.1 - INTRODUÇÃO

A interpretação tectônica de lineamentos estruturais, se gundo Gold (1980), atualmente é baseada na similaridade estrutural com terrenos bem conhecidos, ou feita por analogia com modelos conceituais baseados em teorias tectônicas.

Extrapolações da geometria tridimensional das formas es truturais à partir da análise com base em dados bidimensionais de sen soriamento remoto podem ser feitas, porém, a análise da dinâmica de gran des feições estruturais e tectônicas é controvertida e especulativa (Liu, 1984).

Assim, em termos de cartografia, pode-se reproduzir a geometria estrutural de uma área; em termos de entendimento, pode-se saber quais foram os movimentos tectônicos ocorridos, recompondo-se sua cinemática; porém, a interpretação dinâmica na qual se deseja saber quais foram as forças que agiram sobre a região, continua sendo especulativa.

6.2 - GEOMETRIA DAS ZONAS DE RUPTURA

Segundo Billings (1954), "rupturas nas rochas da crosta terrestre estão envolvidas na formação de juntas, falhas e algumas va riedades de clivagem. Todas as rupturas podem ser classificadas como fra turas de tração ou fraturas de cisalhamento. As fraturas de tração po dem resultar não apenas de tração, mas também da ação de um binário e até de compressão. Fraturas de cisalhamento podem se desenvolver não apenas sob compressão, mas também a partir de um binário ou de tração".

A fratura e, pois, uma deformação causada por esforços de compressão, tração ou cisalhamento (Liu, 1984).

Ramsay (1980) considera que a componente basica em praticamente todas as zonas de cisalhamento é o cisalhamento heterogêneo simples, gerado pela ação de esforço de um binario de forças.

Um fatormuito importante no tipo de estrutura gerada por um sistema de esforços é a profundidade da massa rochosa. Diversos pes quisadores tiveram a oportunidade de demonstrar o efeito da pressão con finante, temperatura, pressão de poros, velocidade de aplicação de esforços, soluções de fluidos agressivos, tempo, etc na ductibilidade das rochas (Badgley, 1965; Hobbs et alii, 1976).

No entanto, de forma relativamente empirica, o conceito de niveis estruturais propostos por Mattauer (in Badgley, 1965) envolve um aumento da ductibilidade aproximadamente homogêneo com a profundida de, resultando em diferentes tipos de deformação (Figura 6.1)

O conceito de níveis estruturais e tipos de estruturas geradas é imprecindível no reconhecimento de sistemas de lineamentos gerados em diferentes condições, bem como sua separação no tempo, quando são usadas técnicas de sensoriamento remoto.

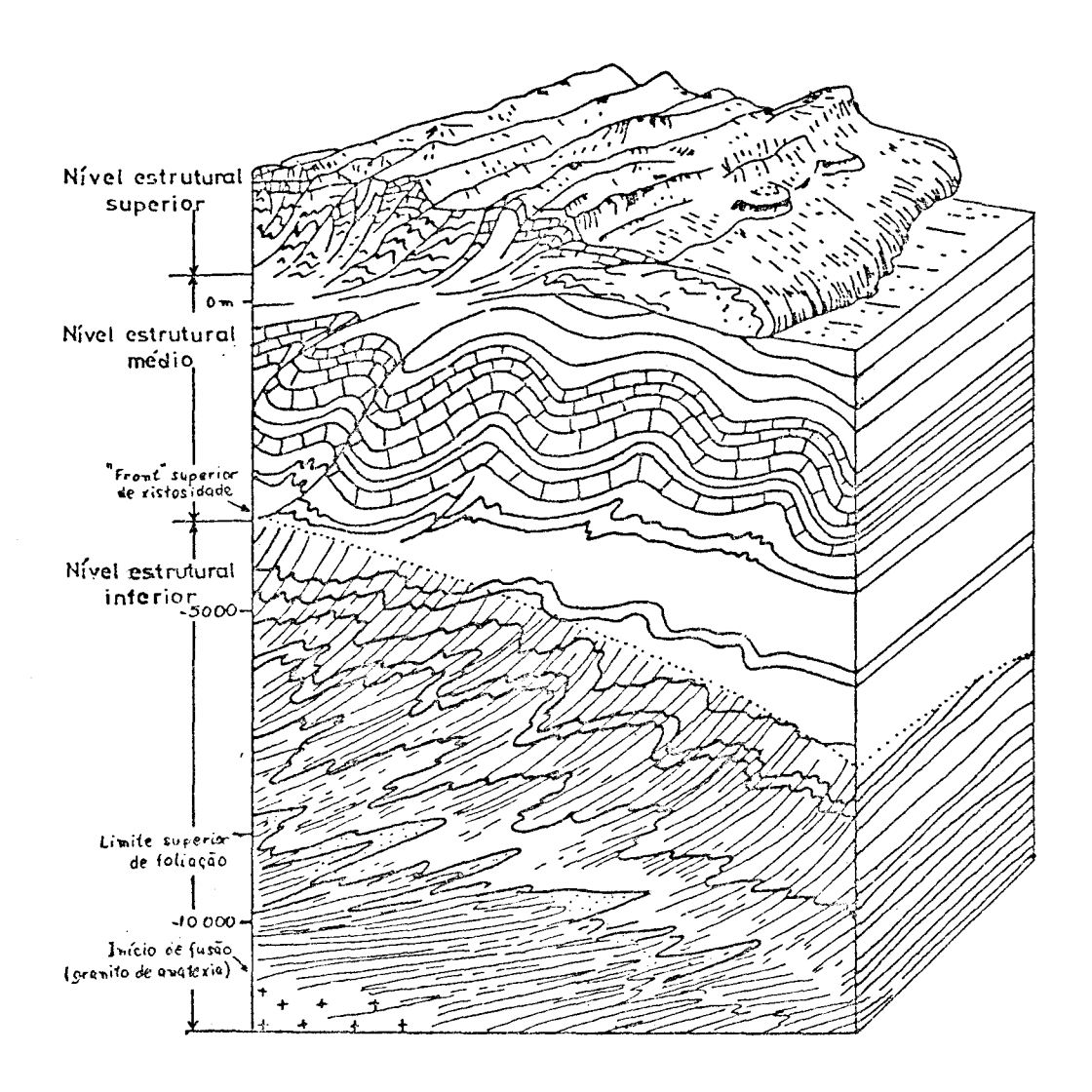


Fig. 6.1 - Estilos de deformação dos níveis estruturais de Mattauer. FONTE: Sadowski (1983), p. 12.

Com relação ao uso de técnicas de sensoriamento remoto, deve-se entender que são validos aqui, todos os conceitos e teorias a plicados em escala microscópica ou de afloramento.

Ilustrando tal fato, Tchalenko (1970) desenvolveu um experimento onde analisou o desenvolvimento de zonas de cisalhamento em escala microscopica em cristais cisalhados, em escala intermediária com

modelos de argila em laboratório, e em escala regional analisando fraturas ligadas a terremotos, demonstrando resultados similares para a aplicação do modelo de cisalhamento de Riedel em todas as escalas. Tchalen ko (1970) analisou ainda, separadamente, as estruturas formadas no pico da deformação (Figura 6.2), as estruturas de pos-pico (Figura 6.3) e as estruturas residuais (Figura 6.4), mostrando assim a sua progressivida de.

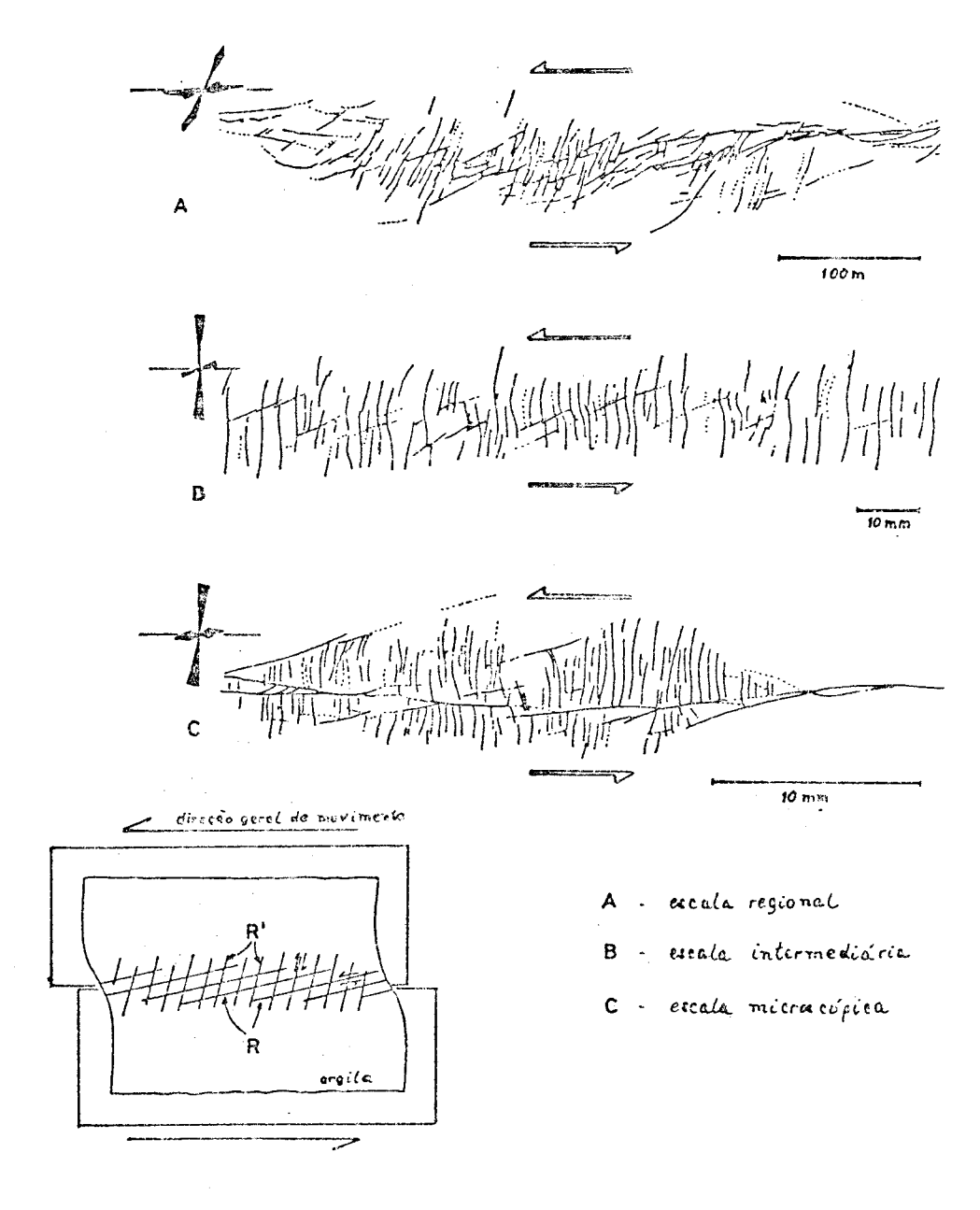


Fig. 6.2 - Comparação entre estruturas de pico em zonas de cisalhamento de diferentes magnitudes.

FONTE: Tchalenko (1970), p. 1626 e p. 1635.

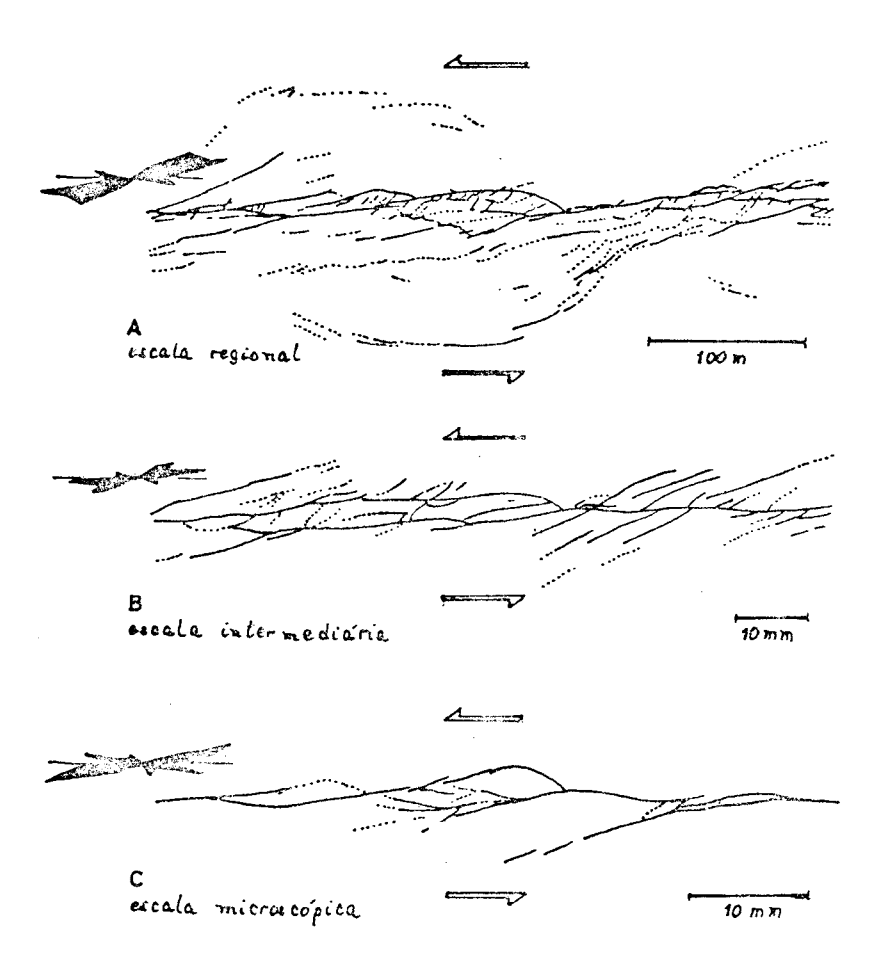


Fig. 6.3 - Comparação entre as estruturas de pos pico em zonas de cisalhamento de diferentes magnitudes.

FONTE: Tchalenko (1970), p. 1636.

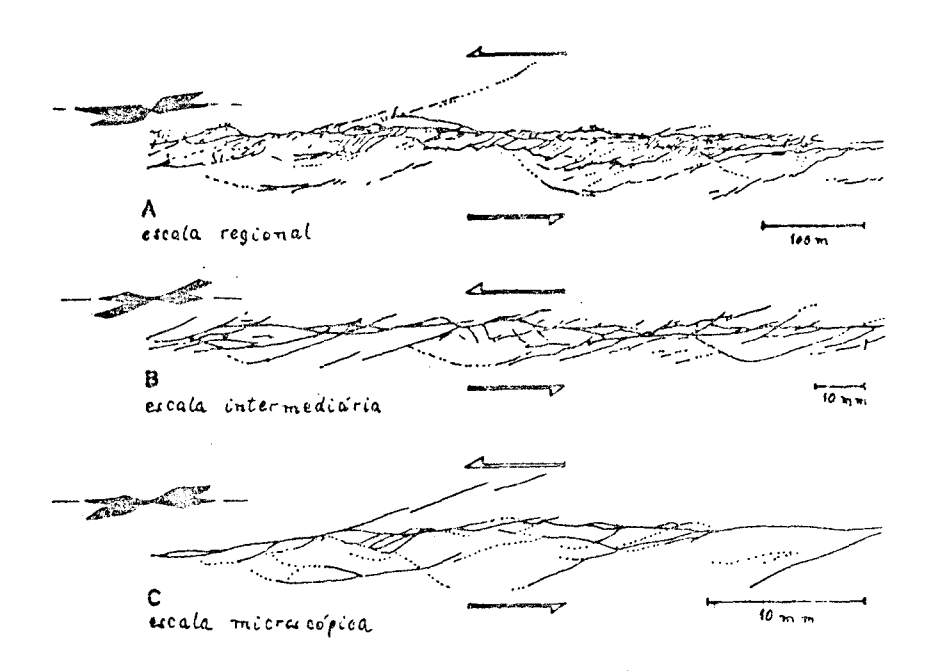


Fig. 6.4 - Comparação entre as estruturas residuais em zonas de <u>cisa</u> Ihamento de diferentes magnitudes.

FONTE: Tchalenko (1970), p. 1637.

O modelo de cisalhamento a que se refere Tchalenko (1970) e aquele estabelecido por Riedel.

Riedel em 1929 (in Sadowski, 1983) definiu de forma ex tremamente básica para uma zona de cisalhamentos, quatro famílias de fraturas secundárias que se desenvolveriam em função dos esforços de compressão e tração associados a um binário de forças. Tais fraturas foram designadas T, R, R' e P. A primeira (T) e de tração; R e R' são de cisalhamento sintético e antitético, formando um par conjugado com ângulo entre si de aproximadamente 60° e simétricas em relação a T. P e uma fratura simétrica a R em relação à direção de cisalhamento maior e também sintética.

No caso das falhas transcorrentes, as famílias R e R'são verticais (Wilcox et alii, 1973). As fraturas R apresentam um angulo de 10^{0} a 30^{0} com a direção principal de cisalhamento enquanto R', 70^{0} a 90^{0} . Essas fraturas conjugadas ora apresentam-se como falhas, ora co

como juntas, ou ambas. O ângulo diedro de R e R' seria de 60° a 70° e seu bissetor seria a direção de máxima compressão.

O quadro geral resultante é o da Figura 6.5.

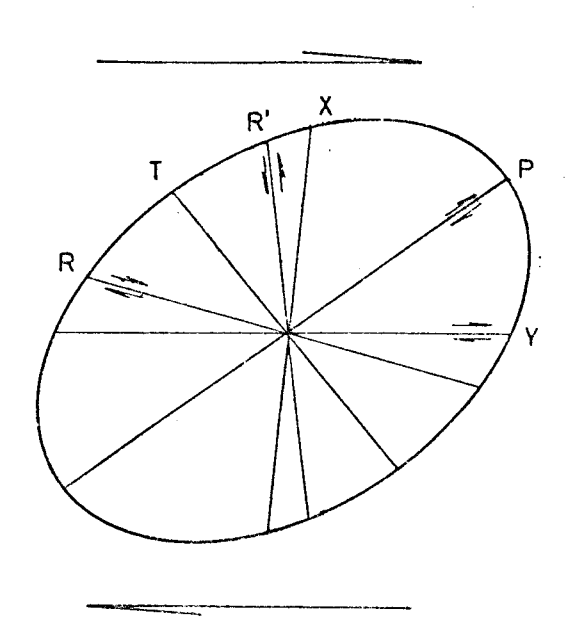


Fig. 6.5 - Modelo estrutural resultante de cisalhamento simples, no caso, produzido por esforços de direção E-W com cisalhamen to destral.

[Modificado de Wilcox et alii (1973), p. 82]

A transcorrência, contudo, também produz rotação interna e externa entre as fraturas e os efeitos de rotação interna devido ao acunhamento e de rotação externa devido ao tensionamento são distintos nas falhas sintéticas e antitéticas, modificando assim, os ângulos entre as fraturas que figuram no modelo proposto (Wilcox et alii, 1973).

Acredita-se que a rotação dos planos de cisalhamento com o aumento do ângulo de conjugação original é a mais provável explicação para as discrepâncias entre as teorias de cisalhamento e de deformações (Badgley, 1965).

Assim, a distribuição das fraturas de Riedel R, R', T e P, embora provadas em laboratório, nem sempre e de fácil distinção no campo, face à progressão dos movimentos e consequente rotação dos planos.

Ainda com relação ao cisalhamento simples, Reading (1980), escreve que ao longo de grandes sistemas de falhas de rejeito e possível haver zonas alternadas em pequena escala de extensão e compressão. Elas contribuem para a curvatura ao longo da falha de rejeito ou para o entrelaçamento de falhas com o sistema de falhas de rejeito (Figura 6.6).

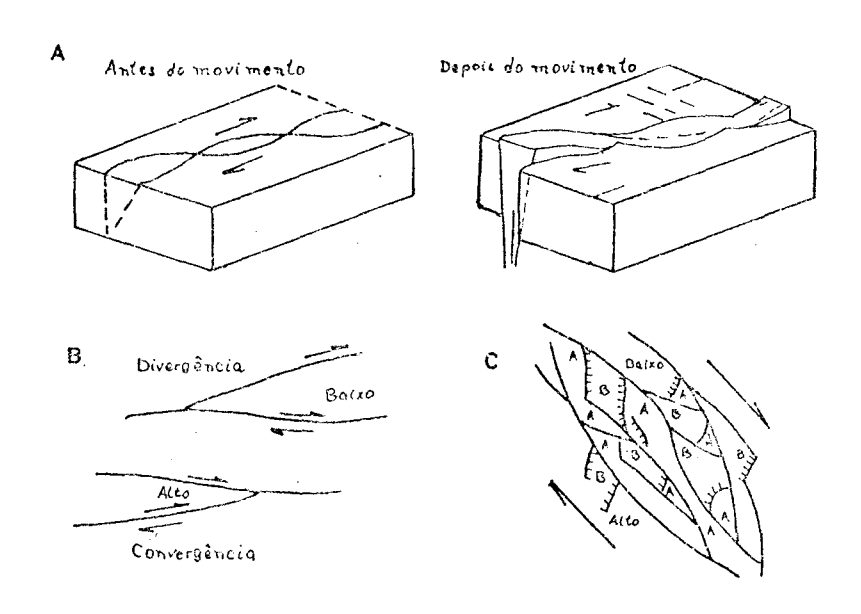


Fig. 6.6 - Tipos de falhas de rejeito produzindo subsidência de bacias em regime de extensão e elevação de blocos em regime de com pressão: a) traços curvos de falha; b) modelo de falhas di vergentes e convergentes; c) falhas anastomosadas.

FONTE: Reading (1980), p. 12.

As zonas onde ocorrem esse tipo de falhas de rejeito, Badgley (1965) chamou de zonas de falhas transcorrentes em trança, nu ma alusão ao aspecto trançado que apresentam. O seu desenvolvimento o corre a partir de um binario de forças, e pode ser visto na Figura 6.7.

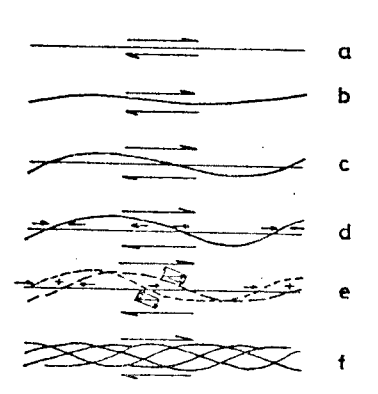


Fig. 6.7 - Desenvolvimento de zona de falha transcorren te trançada.

FONTE: Badgley (1965), p. 429.

6.3 - INTEGRAÇÃO DOS DADOS

Com base nas analises fotointerpretativas, observações de campo e nas teorias tectônicas expostas, chega-se a uma evolução cronológica para as estruturas lineares da área, sugerindo-se quando pos sível, sua correlação com eventos tectônicos conhecidos.

Seguindo a ordem cronológica relativa estabelecida no Capítulo 4 para os sistemas de lineamentos, tem-se que o sistema mais antigo detectado na área é o sistema A. Este é distribuído segundo um feixe de lineamentos muito conturbado por duas transcorrências superim postas:a do sistema B e do sistema C.

Entre os lineamentos que fazem parte do sistema A na região sudoeste da área, estão as chamadas falhas de Cubatão (em seu sen so primitivo, segundo Almeida, 1953), Bairro Alto, Natividade Camburu.

Na porção nordeste da area, supõe-se aqui que os linea mentos que fazem parte do sistema A, sejam coincidentes com a zona de

lineamentos que inclue o chamado lineamento de Alem Paraíba (de Almeida et alii, 1975; Campanha, 1980 e outros).

O lineamento de Além Paraíba constitui uma faixa de blas tomilonitos com idade transamazônica, remobilizados durante o Ciclo Brasiliano segundo Delhal et alii (1969), Cordani et alii (1973) e Campanha (1980). Isso, de certa forma, coincide com o suposto neste trabalho, ou seja, os lineamentos do sistema A seriam o registro atual de uma fase de grandes transcorrências de um evento tectônico antigo, que foram remobilizados em eventos mais novos, estes coincidentes com as transcorrências representadas pelos lineamentos do sistema B e mais tarde, do sistema C.

O sistema B e cronologicamente o segundo sistema de li neamentos da area. Suas características sugerem tratar-se de uma zona de cisalhamentos com transcorrência sinistral, como ja exposto no Capitulo 4, deslocando os lineamentos do sistema A. Constituem um feixe de lineamentos com características que lembram o que Badgley (1965) cha mou de zona das falhas trançadas (Figuras 6.6 e 6.7) em alusão a linea mentos tortuosos e entrelaçados lembrando cabelos trançados. Em zonas de cisalhamento deste tipo, segundo Wilcox et alii (1973) e Reading (1980), ocorrem regiões alternadas em pequena escala de extensão e com pressão contribuindo para a curvatura ao longo da falha de rejeito.

Com relação ao sistema de lineamentos B, Haralyi et alii (1985) observaram em estudos gravimétricos ao sul do Estado de Minas Gerais, que certas anomalias gravimétricas (chamadas de descontinui da de com espessamento crustal) indicam descontinuidade com faixas adja centes de algum espessamento crustal (Figura 6.8).

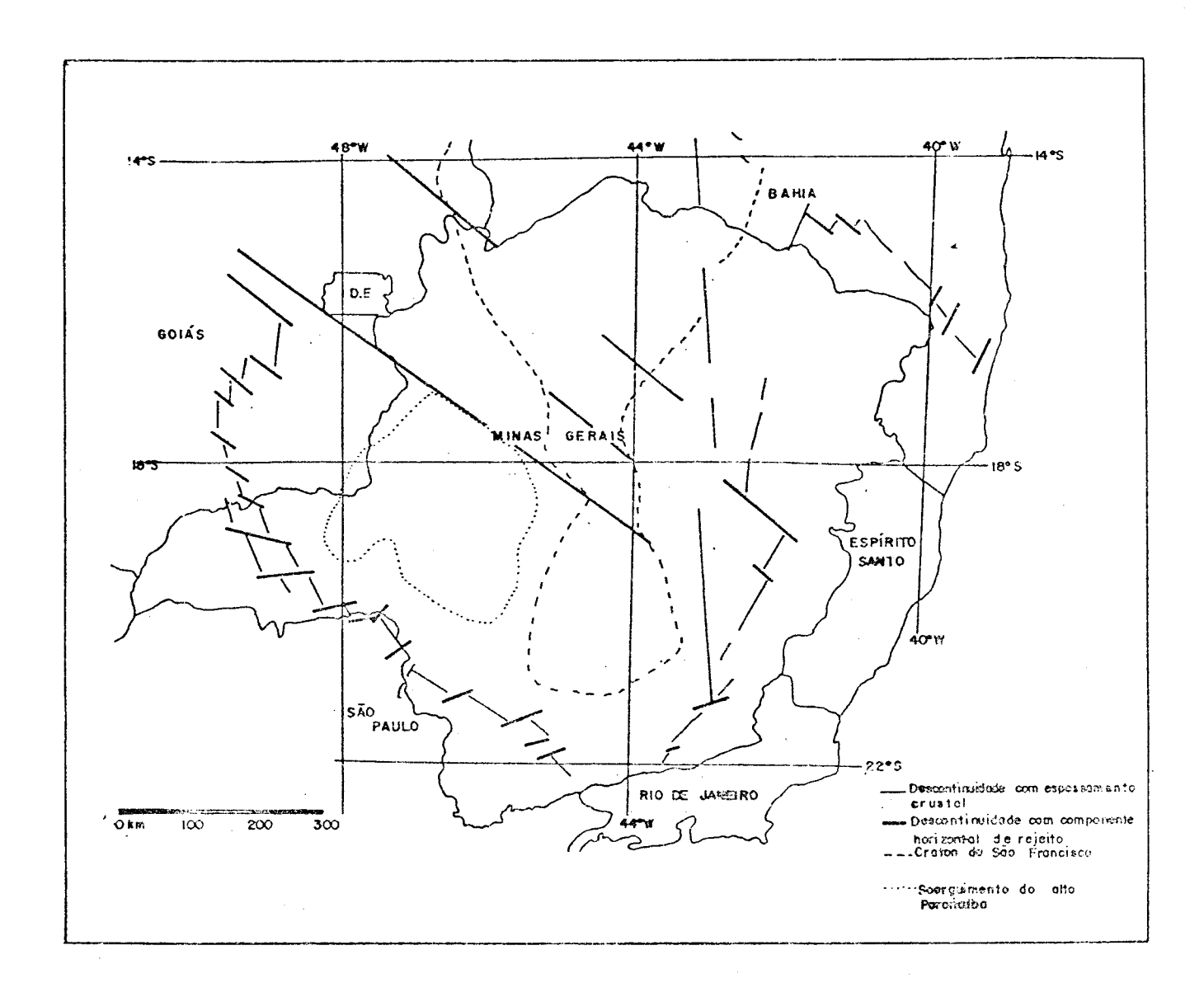


Fig. 6.8 - Grandes estruturas obtidas atraves de geofisica no Estadode Minas Gerais.

[Modificado de Haralyi (1985), p. 90]

As descontinuidades identificadas por estes autores apresentam direções que combinam muito bem com as apresentadas pelo sistema B, quando se extrapola a sua continuidade para o sudeste do Estado de São Paulo, sugerindo existir aí, uma direção antiga de cisalhamento que não se verifica nos mapas geológicos existentes atualmente.

Ao exposto, vem-se adicionar o fato de recentemente ter-se encontrado lineações minerais com direção NS tidas como do Protero zoico Inferior afetando diversas rochas do sudeste paulista (Hasui, comunicação verbal), o que pode ser relacionado ao mesmo cisalhamento que originou os lineamentos do sistema B.

Assim, sugere-se neste trabalho, que o feixe de lineamen tos representado pelo sistema B, constitui uma antiga zona de cisalhamen tos, que é atualmente mascarada pela sobreposição do cisalhamento impos to na área pelo sistema C.

Haralyi et alii (1985) também verificaram em seus estu dos gravimétricos, a existência de anomalias que representam descontinuidades com componente horizontal de rejeito de direções E-NE (Figura 6.8). Essas anomalias deslocam destralmente as anomalias com espessamen to crustal, correlatas ao sistema de lineamentos B. Assim sendo, pode-se relacionar tais anomalias de rejeito horizontal com osistema de lineamentos C.

Os autores acima citados discutem ainda a idade desses deslocamentos, colocando as anomalias relacionadas ao sistema B como as mais antiga da area, por em posteriores a estruturação crustal arqueana, e as anomalias correlatas ao sistema C como do Proterozo con Inferior, uma vez que não truncam as supracrustais meso/neoproterozo cas.

O sistema de lineamentos C, é o terceiro cronologicamente. Seus lineamentos estão presentes em toda a área, seja distribuídos homogeneamente, seja sob a forma de feixes. O principal desses feixes é o que se estende vizinho à costa, sobre a chamada falha de Taxaquara (Hennies et alii, 1967a; Hasui et alii, 1978a) ou falha de Cubatão (Hasui et alii, 1980).

Tal feixe de lineamentos constitui uma zona de cisalha mentos com movimentos transcorrentes destrais que desloca os feixes de lineamentos anteriormente descritos, pertencentes aos sistemas A e B, provocando ainda, feições sigmoidais nos lineamentos dispersos deste $\tilde{u}l$ timo sistema.

O feixe de lineamentos que se estende sobre a falha de Taxaquara caracteriza-se por sua extrema persistência e retilinearida de. Além disso, suas relações com os sistemas A e B o colocam como sen do o mais novo dos três sistemas de lineamentos que definem zonas de ci salhamentos proterozóicos da área.

Com relação à direção E-NE, pode-se dizer sem dúvida que é uma velha direção de fraqueza do continente sul americano (Almeida, 1967), atestada pela reincidência de eventos ai localizados. A própria existência de dois sistemas de lineamentos, A e C, com mesma direção e sobrepostos em boa parte de sua extensão vem ratificar tal premissa.

O sistema de lineamentos C é o mais evidente da area es tudada, conferindo as imagens de sensores remotos da região, uma estru turação notavel com direção em torno de N70E.

Segundo Hasui et alii (1980), o extenso feixe de linea mentos que margeia o litoral de São Paulo e Rio de Janeiro (aqui repre sentado pelo feixe de lineamentos do sistema C), contém como principal falhamento aquele denominado por estes autores de falha de Cubatão. (ver Figuras 3.8 e 4.4). Ainda segundo estes autores, esta falha que atraves sa todo o Vale do Paraíba, desde a cidade de São Paulo até adentrar pe lo Estado do Rio de Janeiro, inclue em seu traçado as falhas anterior mente descritas com os nomes de Cubatão (em seu senso primitivo, segun do Almeida, 1953), Taxaquara (Hennies et alii, 1967a) e Além Paraíba (Almeida et alii, 1975); todas elas originadas em um mesmo ciclo tectôni co.

Neste trabalho porem, a interpretação dada para este conjunto de falhas $\bar{\rm e}$ diferente.

Sugere-se aqui que o lineamento de Além-Paraíba e o li neamento de Cubatão (em seu senso primitivo, segundo Almeida, 1953), per tençam a um mesmo ciclo tectônico antigo, ao qual estão ligados os ii neamentos do sistema A. O lineamento de Taxaquara teria surgido poste

riormente, com direção N70E, em um outro ciclo tectônico, provocando a reativação dos lineamentos de Além-Paraíba e Cubatão, pre-existentes. O lineamento de Taxaquara seria correlacionado aos lineamentos do sistema C e, juntamente com parte dos lineamentos reativados, constituiria o extenso feixe de lineamentos de direção E-NE presente na região. (ver Figura 4.2).

Porém, faz-se aqui a recomendação de não chamar-se tais feições propriamente de lineamentos, mas sim de zonas ou feixes de li neamentos, uma vez que é assim que se configuram no terreno e e assim que devem figurar nos mapas, quando a escala o permitir.

O enquadramento dos sistemas de lineamentos acima descr \underline{i} tos, em um contexto tectônico mais amplo não é fácil e dirige-se para o campo das hipóteses.

Conforme discutido no Capítulo 3, muitos autores situam a area em uma zona de dobramentos com evolução ensiálica cuja história teria início ainda no Arqueano (Almeida et alii, 1973; Hasui et alii, 1978c e outros). Ou então, enquadram-na no contexto de tectônica de placas com a abertura e o fechamento de um oceano proto-Atlântico, ja no Proterozoico Superior (Porada, 1979)

Certamente, aplicando-se aqui o modelo de cisalhamento de Riedel (1929), se observaria a presença de fraturas associadas, porem as fraturas existentes atualmente no terreno estão mais seguramente ligadas a eventos mais novos, como a abertura do Atlântico Sul, a qual se passara a enfocar logo a seguir.

As fraturas mais novas correlacionadas a eventos meso-cenozóicos, podem ou não ocupar a mesma posição das fraturas antigas que teriam agido como zonas de fraqueza, direcionando os novos esforços. Porem, sua caracterização e demasiada difícil em se tratando apenas de fotointerpretação, atendo-se este trabalho, no que diz respeito a linea mentos gerados no Proterozóico, somente aqueles que se concentraram em

feixes e caracterizaram zonas de cisalhamento, possibilitando sua de tecção.

Com relação à tectônica meso-cenozóica, ligada ao conceito de tectônica de placas com a abertura do Atlântico Sul, observa-se na área, todo um reticulado de fraturamentos distribuídos basicamen te segundo quatro direções, caracterizando os sistemas de lineamentos D, E. F e G, que são discutidos à seguir.

A direção estrutural E-W é muito bem marcada pelos linea mentos do sistema D, que são extremamente alinhados e retilineos com movimentos de rejeito horizontal destral. Tais lineamentos são muito vi siveis próximo à costa e tornam-se sutis à medida em que adentram no continente.

Analisando em conjunto os lineamentos do sistema D, sistema E e sistema F, verifica-se que os três se adaptam muito bem ao mo delo de cisalhamento de Riedel, considerando-se o sistema D como representante da direção principal de cisalhamento, ligado talvez, ao regime de tensões a que se submeteram as placas tectônicas durante a abertura do Atlântico Sul. Nesse modelo de cisalhamento, os lineamentos do sistema F representariam as fraturas sintéticas de Riedel e os lineamentos do sistema E, as fraturas antitéticas (Figura 6.9).

As falhas conjugadas, sintética e antitética, do modelo de Riedel, representadas respectivamente pelos sistemas F e E, têm ângu lo entre si em torno de 40°. Esse ângulo, embora um pouco menor que aque le do modelo seguido, pode ser facilmente explicado por rotação do sistema de falhas (Wilcox et alii, 1973).

Os lineamentos do sistema E possuem componente horizon tal de rejeito sinistral bastante visivel nas imagens interpretadas. Sua direção N2OW faz um ângulo de 120º com a direção de cisalhamento principal, condizente com o modelo de Riedel. Seus lineamentos afetam os se dimentos da bacia de Taubaté e deslocam os lineamentos do sistema B, mas

são, contudo, deslocados destralmente pelos lineamentos do sistema C, agindo sob regime de reativação durante o Meso-Cenozóico.

Os lineamentos do sistema F, de direção N60W, são menos pronunciados que os anteriormente descritos, porém têm características de distribuição, espaçamento e comprimento relativo semelhantes aos <u>a</u> presentados pelo sistema E. A inflexão do eixo da bacia de Resende com relação à de Taubaté e a morfologia da linha de costa sugerem a existên cia de uma componente horizontal de deslocamento destral. Esse sistema apresenta ângulo de 20° com a direção principal de cisalhamento.

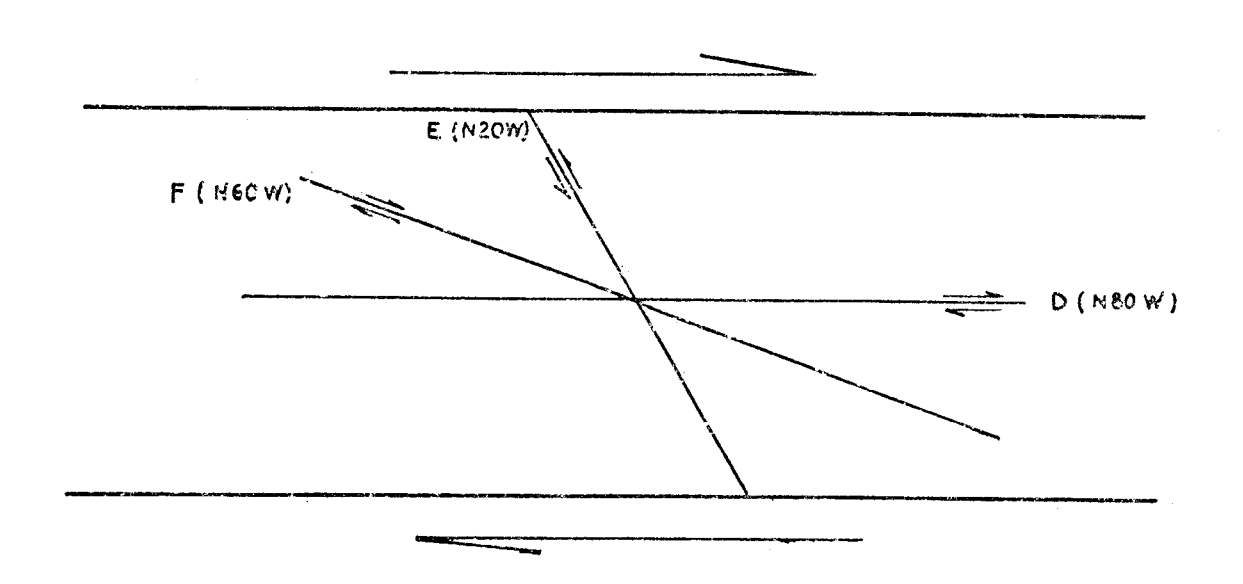


Fig. 6.9 - Sistemas de lineamentos D, E e F segundo modelo de cisalha mento de Riedel.

Também Melo (1984), em trabalhos fotointerpretativos e de campo desenvolvidos na região da bacia de Resende, encontrou um sistema de lineamentos com direção N-NW com rejeito horizontal dominante mente sinistral e um sistema W-NW com rejeito horizontal destral, vinculado-os as fraturas R e R' de Riedel para um cisalhamento aproximadamente E-W.

Os lineamentos do sistema G não apresentam nas imagens <u>e</u> vidências de componente horizontal de rejeito, o que também não foi <u>de</u> tectado nos trabalhos de campo. Esses lineamentos situam-se aproximada mente como sendo a bissetriz das fraturas R e R', a 30° - 40° da <u>dire</u> ção de cisalhamento principal, ou seja, na direção da tensão principal onde se geram as chamadas fraturas T de Riedel, que são fraturas de tensão. Esses lineamentos afetam os sedimentos das bacias sedimentares de Taubaté e Resende. São bastante visíveis e bem distribuídos pela area, tratando-se certamente de uma direção recente de quebra, fato atestado pela expressão topográfica dos lineamentos muito retilineos e por suas relações com os demais sistemas.

A direção N-NE dada pelos lineamentos do sistema B- funcionou neste contexto da tectônica meso-cenozóica, com uma antiga zona de fraqueza em que os lineamentos, sob novo regime de esforços tensionais, foram reativados com caráter predominantemente vertical (como falhas de gravidade). Tal sistema parece ter exercido papel fundamental no condicionamento da bacia de Resende com falhas de rejeito vertical de até 150 m (Melo, 1984). Essa direção foi também responsável pela compartimentação tectônica da bacia de Taubaté (Hasui e Ponçano, 1978), fato nitidamente observado sobre as imagens interpretadas.

Também os lineamentos do sistema C sofreram reativações no Meso-Cenozóico. Os planos desse sistema, quando investigados nos se dimentos das bacias de Taubaté e de Resende, apresentam uma componente vertical com caimento S-SE dominante, embora existam exemplos de planos de deslocamento horizontal (Melo, 1984). Sabe-se porém que oslineamentos de direção N70E foram reativados predominantemente sob regime vertical, responsáveis pelas estruturas de grabens e rifty-valleys do sudeste brasileiro.

Assim, alem da origem de quatro sistemas de lineamentos ligada ao tectonismo meso-cenozoico (os sistemas D, E, F e G), verifica-se também a reativação sob regime predominantemente vertical dos sistemas de lineamentos B e C, cuja origem remonta a eventos proterozoicos.

CAPITULO 7

CONCLUSÕES

Com a integração dos dados de sensoriamento remoto, cam po e literatura chegou-se à série de resultados discutidos no Capítulo anterior, nos quais se apoiam as seguintes conclusões:

- sete sistemas de lineamentos foram identificados na area e designados de sistemas A, B, C, D, E, F, e G.
- em três sistemas, A, B e C, os lineamentos são distribuídos homogeneamente pela área, porém, apresentam a característica mar cante de serem concentrados ao longo de faixas, onde constituem zonas de cisalhamento, situadas em cinturões orogênicos e relacionáveis a eventos tectônicos proterozóicos.
- o sistema A e o mais antigo com direção N70E. Corresponde, em parte, ao lineamento de Alem-Paraíba na porção nordeste da área e ao lineamento de Cubatão (de Almeida, 1953) na porção sudoeste. Este sistema apresenta-se truncado na porção central da área estudada.
- o sistema B tem direção N20E e apresenta movimento transcorrente sinistral, deslocando os lineamentos do sistema A. Tem configura ção semelhante a uma zona de falhas transcorrentes trançadas (Badgley, 1965).
- o sistema C, de direção N70E, e o mais persistente na área e tem movimentação transcorrente destral, deslocando os lineamentos dos sistemas A e B. Configura uma extensa zona de cisalhamentos que se estende ao longo da costa, correspondendo basicamente ao lineamento de Taxaquara, sobrepondo-se também aos lineamentos de Além-Paraíba e Cubatão.

- na altura das Serras dos Órgãos entre os Estados de São Paulo e Rio de Janeiro, os feixes de lineamentos A, B e C se intercep tam, configurando-se aí uma região bastante conturbada estruturalmente.
- os três feixes de lineamentos A, B e C, estão ligados a eventos tectônicos distintos.
- o que se chama correntemente de falha de Cubatão ou falha de Taxaquara/Cubatão/Além Paraiba, não é um único lineamento, mas sim uma zona de lineamentos decorrentes de cisalhamentos ocorridos em mais de um ciclo tectônico.
- os sistemas de lineamentos D, E, F e G são relacionados ao tecto nismo meso-cenozóico da abertura do Atlântico Sul. Também os sis temas B e C, são reativados sob os esforços tensionais de tal tectonismo.
- com relação a esse tectonismo, os lineamentos dos sistemas D, E e F são correlacionados ao modelo de cisalhamento de Riedel.
- o sistema de lineamentos D, com direção N80W é interpretado co mo representante da direção principal de cisalhamento no regime de tensões a que se submetem as placas durante a abertura do Atlântico Sul. Esse sistema apresenta uma componente de rejeito horizontal destral.
- os sistemas F (direção N60W) e E (direção N20W) são interpreta dos como R e R', fraturas sintéticas e antitéticas, respectiva mente.
- o sistema G, de direção N50W, pode ser relacionado as fraturas de tensão no modelo de cisalhamento de Riedel, assumindo-se a existência de um esforço compressional paralelo a esse sistema.

- o sistema de lineamentos B e reativado pelo tectonismo meso-ce nozoico com carater de falhas de gravidade, influenciando forte mente a estruturação das bacias sedimentares de Resende e Tauba te. Provoca ainda, a compartimentação tectônica desta última em varias sub-bacias de sedimentação (Hasui e Ponçano, 1978).
- o sistema C é também reativado pelo tectonismo meso-cenozóico com caráter predominantemente vertical, sendo responsável pelos fa lhamentos que deram origem aos rifts e grabens da região.
- as estruturas lineares refletidas na geomorfologia e analisadas através de técnicas de sensoriamento remoto, possibilitaram uma contribuição ao conhecimento tectônico da área, mediante a integração de dados bibliográficos, fotointerpretativos e de campo, demonstrando a viabilidade da técnica utilizada.

REFERÊNCIAS BIBLIOGRÁFICAS

- AB SABER, A.N., BERNARDES, N. Vale do Paraíba, Serra da Mantiqueira e arredores de São Paulo. <u>Engenharia, Mineração e Metalurgia</u>, 24(143): 284-292, 1956.
- ALMEIDA, F.F.M. de. Considerações sobre a geomorfogênese de Cubatão. Boletim Paulista de Geografia, 15:3-17, 1953.
- Fundamentos geológicos do relevo paulista. <u>Boletim do Instituto</u> Geográfico e Geológico do Estado de São Paulo, 41:169-263, 1964.
- Origem e evolução da Plataforma Brasileira. <u>Boletim da Divisão</u> de Geologia Mineral, (241):241, 1967.
- The system of continental rifts bordering the Santos Basin,
 Brazil. Anais da Academia Brasileira de Ciências, 48:15-26, 1976.
 Suplemento.
- ALMEIDA, F.F.M. de; AMARAL, G.; CORDANI, U.G.; KAWASHITA, K. The Precambrian evolution of the South American Cratonic Margin South of Amazon River. The Ocean Basin and Margins, 1:411-446, 1973.
- ALMEIDA, F.F.M. de; HASUI, Y.; CARNEIRO, C.D.R. O lineamento de Além Paraíba. Anais da Academia Brasileira de Ciências, 47(3-4):575, 1975.
- ALMEIDA, F.F.M. de; HASUI, Y.; DAVINO, A.; HARALYI, N.L.E. Informações geofísicas sobre o oeste mineiro e seu significado geotectônico.

 Anais da Academia Brasileira de Ciências, 52(1):49-60, 1980.
- ALMEIDA, F.F.M. de; HASUI, Y.; NEVES, B.B. de B.; FUCK, R.A. Provincias estruturais brasileiras. In: SIMPÓSIO DE GEOLOGIA DO NORDESTE, 1., Campina Grande, 1977. Atas. Campina Grande, SBG, 1977, V. 1, p. 363-391.
- ALMEIDA FILHO, R.; VITORELLO, I. Enhancement of digital mapes through band ratio techniques for geological applications. São José dos Campos, INPE, 1982, 15 p. (INPE-2604-PRE/250).

- AMADOR, E. da S. Estratigrafia e sedimentação da Bacia de Resende, RJ.

 Anais da Academia Brasileira de Ciências, 47:181-225, 1975.

 Suplemento.
- AMARAL, G.; CORDANI, U.G.; KAWASHITA, K.; REYNOLDS, J.H. Potassium-argon dates of basaltic rocks from Southern Brazil. Geochmich Cosmochich Acta, 30(2):154-180, 1966.
- AMARAL, G.; BUSHEE, J.; CORDANI, U.G.; KAWASHITA, K.; REYNOLDS, J.H. Potassium-argon dates of alkaline rocks from Southern Brazil. Geochmich Cosmochich Acta, 31(2):117-142, 1967.
- AMERICAN SOCIETY OF PHOTOGRAMMETRY. Manual of Remote Sensing. 2 ed., Falls Church, VI, 1983, V. 1 e V. 2.
- ASMUS, H.E. Hipóteses sobre a origem dos sistemas de zonas de fraturas oceânicas/alinhamentos continentais que ocorrem nas regiões sudeste e sul do Brasil. Projeto Remac, Rio de Janeiro, 4:39-73, 1978.
- ASMUS, H.E.; FERRARI, A.L. Hipótese sobre a causa do tectonismo cenozóico na região sudeste do Brasil. <u>Projeto Remac</u>, Rio de Janeiro, 4:75-88, 1978.
- BADGLEY, P.C. <u>Structural and tectonics principles</u>. New York, Harper and Row, 1965, 521 p.
- BILLINGS, M.P. Structural geology. New York, Prentice-Hall, 1954, 514 p.
- BRAUN, O.P.G.; BAPTISTA, M.M. Considerações sobre a geologia pre-cambria na da região sudeste e parte da região centro-oeste do Brasil.

 Publicação especial da SBG, 3:225-368, 1977.
- CÂMARA NETO, G.; ARAÚJO, G.O.; MASCARENHAS, N.D.A.; SOUZA, R.C.M. de.

 Realce visualde imagens de recursos naturais: aplicações em geologia.

 São José dos Campos, INPE, 1980, 53 p. (INPE-1952-RPE/267).
- CAMPANHA, G.A.C. O lineamento de Alem-Paraíba na região de Três Rios (RJ). Revista Brasileira de Geociências, 11(3):159-171, 1981.
- CARNEIRO, C.D.R.; HASUI, Y.; GIANCURSI, F.D. Estrutura da bacia de Taubaté na região de São José dos Campos. In: CONGRESSO BRASILEIRO DE GEOLOGIA, 29., Ouro Preto, 1976. Anais. Belo Horizonte, SBG, 1976, V. 4, p. 247-256.

- CAVALCANTE, J.C.; CUNHA, H.C.S.; CHIEREGATI, L.A.; KAEFER, L.Q.; ROCHA, J.M. de; DAITX, E.C.; COUTINHO, M.G.N.; YAMAMOTO, K.; DRUMOND, J.B.V.; ROSA, D.B.; RAMALHO, R. Projeto Sapucai: relatório final de geologia. São Paulo, DNPM-CPRM, 1977, V. 4.
 - Projeto Sapucai: relatório final. São Paulo, DNPM-CPRM, 1979.
- CAVALCANTE, J.C.; KAEFER, L.Q. Geologia da Folha de Santos (parcial). In: CONGRESSO BRASILEIRO DE GEOLOGIA, 28., Porto Alegre, 1974. Anais. Porto Alegre, SBG, 1974, V. 4, p. 227-246.
- CLOSS, E. Experimental analysis of fracture patterns. <u>Bulletin of</u> the Geological Society of America, 66:241-256, 1955.
- CORDANI, U.G.; DELHAL, J.; LEDENT, D. Orogêneses superposées dans le Pré-cambrien du Brésil Sud-Oriental, Etats de Rio de Janeiro et de Minas Gerais. Revista Brasileira de Geociências, 3(1):1-22, 1973.
- CORDANI, U.G.; TEIXEIRA, W. Comentários sobre as determinações geocronológicas existentes para as regiões das folhas Rio de Janeiro, Vitória e Iguape. In: Texto Explicativo, Folha de Rio de Janeiro (SF-23), Vitória (SF-24) e Iguape (SF-23), Brasília, DNPM, M.M.E., 1979. p. 175-207.
- COUTO, C.P.; MEZZALIRA, S. Nova conceituação geocronológica de Tremembé, Estado de São Paulo, Brasil. <u>Anais da Academia Brasileira de Ciências</u>, 43:473-488, 1971. Suplemento.
- DE MARTONE, E. Problemas geomorfológicos do Brasil tropical Atlântico. Revista Brasileira de Geografia, 5(4):523-550, 1943.
- DELHAL, J.; LEDENT, D.; PASTEELS, P. Ages Pb/U, Sr/Pb, Ar/K des formations metamorphiques et granitiques du Sud-Est du Brésil.

 Ann. Societé Geologique Belgique, 92:271-283, 1969.
- EBERT, H. Ocorrências da fácies granulítica no sul de Minas Gerais e em áreas adjacentes, em dependência da estrutura orogênica: hipóteses sobre sua origem. Anais da Academia Brasileira de Ciências, 40:215-229, 1968.

- FAIRCHILD, T.R. Conophyton and other columnar stromatolites from the Proterozoic Açungui near Itapeva, SP, Brazil. In: SIMPŌSIO REGIONAL DE GEOLOGIA, 1., São Paulo, 1977. Atas. São Paulo, 1977, v. 1, p. 179-198.
- FERREIRA, C.S.; SANTOS, A.S. Novos dados sobre a geocronologia da Formação Tremembe, Vale do Paraíba. SP, com base palinológica. Anais da Academia Brasileira de Ciências, 54(1):264, 1982.
- FONSECA, M.J.G.; SILVA, Z.C.G. da; CAMPOS, D.A.; TOSATTO, P. Folhas Rio de Janeiro (SF.23) e Iguape (SG.23). In: SCHOBBENHAUS FILHO, C. Carta Geológica do Brasil ao Milionésimo. Brasilia, DNPM, 1979, p. 1-74.
- GARY, M.; McAFEE JR.; R.; WOLF, C.L. Glossary of geology. Washington, DC, American Geological Institute, 1977.
- GOLD, D.P. Structural Geology. In: SIEGAL, B.S.; GILLESPIE, A.R. Remote sensing in geology. New York, John Wiley, 1980, p. 419-483.
- HARALYI, N.L.E. <u>Carta Gravimetrica Bouger do oeste e sul de Minas</u>

 <u>Gerais, nordeste de São Paulo e sul de Goias</u>. Tese de Doutoramento.

 <u>São Paulo</u>. Instituto de Geociências da USP, 1978.
- HARALYI, N.L.E.; HASUI, Y.; MIOTO, J.A.; HAMZA, U.M.; RODRIGUES, C.R.V. Ensaio sobre a estruturação do Estado de Minas Gerais com base na informação geofísica e geológica. Contribuições à Geologia e Petrologia. SBG-Núcleo de Minas Gerais, 1985. p. 71-93.
- HASUI, Y.; OLIVEIRA, M.A.F. de. Provincia Mantiqueira Setor Central. In: ALMEIDA, F.F. de; HASUI, Y. <u>O pre-Cambriano do Brasil</u>. São Paulo, Edgar Blücher, 1984. cap. 7, p. 308-344.
- HASUI, Y.; PONÇANO, W.L. Organização estrutural e evolução da bacia de Taubaté. In: CONGRESSO BRASILEIRO DE GEOLOGIA, 30., Recife, 1978.

 Anais. Recife, SBG, 1978, v. 1, p. 368-381.
- HASUI, Y.; SADOWSKI, G.R. Evolução geológica do pre-Cambriano na região sudeste do Estado de São Paulo. Revista Brasileira de Geociên cias, 6(3):180-200, 1976.

- HASUI, Y.; CARNEIRO, C.D.R.; COIMBRA, A.M. The Ribeira fold belt. Revista Brasileira de Geociências, 5(4):257-266, 1975.
- HASUI, Y.; PONÇANO, W.L.; BIRTRICHI, C.A.; STEIN, D.P.; GALVÃO, C.A.C.F.; GIMENEZ, A.F.; ALMEIDA, M.A. de; MELO, M.S. de; PIRES NETO, A.G. As grandes falhas do este paulista. In: SIMPÓSIO DE GEOLOGIA REGIONAL, 1., São Paulo, 1977. Atas. São Paulo, SBG, 1977, v. 1, p. 369-380.
- HASUI, Y.; ALMEIDA, F.F.M. de; NEVES, B.B.B. As estruturas brasilianas. In: CONGRESSO BRASILEIRO DE GEOLOGIA, 30., Recife, 1978a. Anais. Recife, SBG, 1978a, v. 6, p. 2423-2437.
- HASUI, Y.; CARNEIRO, C.D.R.; BISTRICHI, C.A. Os granitos e granitóides da Região de Dobramentos Sudeste nos Estados de São Paulo e Paraná. In: CONGRESSO BRASILEIRO DE GEOLOGIA, 30., Recife, 1978.

 Anais. Recife, SBG, 1978b, v. 6, p. 2579-2593.
- HASUI, Y.; PONÇANO, W.L.; BIRTRICHI, C.A.; STEIN, D.P.; GALVÃO, C.A.C.F.; GIMENEZ, A.F.; ALMEIDA, M.A. de; PIRES NETO, A.G.; MELO, M.S. de; SANTOS, M.C.S.R. Geologia da região administrativa 3 (Vale do Paraí ba) e parte da região administrativa 2 (litoral) do Estado de São Paulo. São Paulo, IPT, 1978c. 78 p. (Monografia 1).
- HASUI, Y.; GIMENEZ, A.F.; MELO, M.S. Sobre as bacias tafrogênicas continentais do sudeste brasileiro. In: CONGRESSO BRASILEIRO DE GEOLOGIA, 30., Recife, 1978. Anais. Recife, SBG, 1978f, v. 1, p. 382-392.
- HASUI, Y.; CARNEIRO, C.D.R.; BISTRICHI, C.A. Estrutura e tectônica do Pré-Cambriano de São Paulo e Paraná. Anais da Academia Brasileira de Ciências, 52(1):61-76, 1980.
- HASUI, Y.; ALMEIDA, F.F.M. de; MIOTO, J.A.; MELO, M.S. de. <u>Geologia</u>, <u>tectônica</u>, <u>geomorfologia</u> e sismologia de interesse as usinas nucleares da praia de Itaorna. São Paulo, IPT, 1982, 149 p. (Monografia 7).
- HASUI, Y.; FONSECA, M.J.G.; RAMALHO, R. A parte central da Região de Dobramentos Sudeste e o Macico de Guaxupé. In: SCHOBBENHAUS, C.; CAMPOS, D.A.; DERZE, G.R.; ASMUS, H.E. Geologia do Brasil Texto Explicativo do mapa do Brasil e da área oceânica adjacente incluindo depósitos minerais, escala 1:2.500.000. Brasília, DNPM, M.M.E., 1984. cap. 7, p. 307-330.

- HENNIES, W.T.; HASUI, Y. Geocronologia das rochas eruptivas da Ilha de São Sebastião, SP. In: CONGRESSO BRASILEIRO DE GEOLOGIA, 22., Belo Horizonte, 1968. Anais. Belo Horizonte, SBG, 1968, p. 145-148.
- HENNIES, W.T; HASUI, Y.; PENALVA, F. O falhamento transcorrente de Taxa quara. In: CONGRESSO BRASILEIRO DE GEOLOGIA, 21., Curitiba, 1967. Anais. Curitiba, SBG, 1967a, p. 159-168.
- Geologia do Pre-Cambriano a noroeste da capital paulista. Boletim
 Paranaense de Geologia, 26:17-18, 1967b.
- HOBBS, W.H. Lineaments of the Atlantic border region. <u>Geological</u> <u>Society of American Bulletin</u>, <u>15:483-506</u>, 1904.
- HOBBS, B.E.; MEANS, W.D.; WILLIANS, P.F. An outline of structural geology. New York, John Wiley, 1976. 571 p.
- LE PICHON, X.; HAYES, D.E. Marginal offsets, fractures zones and the early opening of the South Atlantic. <u>International Geophysic Res.</u>, 76(26):6283-6293, 1971.
- LIMA, M.R. de; AMADOR, E. da S. Analise palinológica de sedimentos da Formação Resende, Terciário do Estado do Rio de Janeiro, Brasil. In: CONGRESSO BRASILEIRO DE PALEONTOLOGIA, 8., Rio de Janeiro, 1983.

 Anais. Rio de Janeiro, SBG, 1983, v. 1, p. 98-102.
- LIU, C.C. Análise estrutural de lineamentos em imagens de sensoriamento remoto: aplicação ao Estado do Rio de Janeiro. Tese de Doutoramento. São Paulo, Instituto de Geociências da USP, 1984, 157 p.
- LOCZY, L.; LADEIRA, E.A. <u>Geologia estrutural e introdução à geotectônica</u>. São Paulo. E. Blucher, CNPq, 1976. 528 p.
- MAC DONALD, H.C.; KIRK, J.N.; DELLWIG, L.F. The influence of radar look-direction on the detection of selected geological features. In: INTERNATIONAL SYMPOSIUM ON REMOTE SENSING OF THE ENVIRONMENT, 6., Ann Arbor, 1969. Proceedings. Ann Arbor, MI, 1969, p. 637-650.
- MELO, M.S. de; BISTRICHI, C.A.; PIRES NETO, A.G. Estudos geológicos tectônicos na Bacia de Resende (RJ) e sedimentos terciários da área de Volta Redonda (RJ) e Bacia de Taubaté (Área de Cruzeiro, SP), São Paulo, IPT/DMGA, 1983, 2 v. (Relatório IPT 17737).

- MELO, M.S. Geologie du Basin de Resende et contribution a l'evolution du système de rift du SE du Brésil. Tese de Doutoramento.

 Marseille, França, Universit D'Aix, 1984, 62 p.
- MOORE, G.K.; WALTZ, F.A. Objective Procedures for lineament enhancement and extraction. <u>Photogrammetric Engineering and Remote</u> Sensing, 49(5):641-647, 1983.
- MORAES REGO, L.F. <u>Notas sobre geomorfologia de São Paulo e sua gênesis</u>. São Paulo, Instituto Astronômico e Geofísico, 1932. 28 p.
- Contribuição ao estudo das formações pre-devonianas de São Paulo. São Paulo, Instituto Astronômico e Geofísico, 1933. 43 p.
- NOVO, E.M.L.M. Efeito do ângulo de elevação solar e do azimute na determinação de compartimentos geomorfológicos. In: SIMPÓSIO BRASILEI RO DE SENSORIAMENTO REMOTO, 2., Brasilia, 1982. Anais. Brasilia, CNPq, 1982, v. 1, p. 53-61.
- O'LEARY, D.W.; FRIEDMAN, J.D.; POHN, H.A. Lineament, linear, lineation: some proposed new standards for old terms. <u>Geological</u>. Society of America Bulletin, 87:1463-1469, 1976.
- PARADELLA, W.R., DUTRA, L.C. Filtragens digitais de imagens Landsat como técnica de auxílio visual na fotointerpretação geológica. In: CONGRESSO BRASILEIRO DE GEOLOGIA, 31., Camboriú, 1980. Anais. Camboriú, SBG, 1980, p. 1765-1770.
- PENALVA, F. Geologia e tectônica da região do Itatiaia. <u>Boletim</u>
 da Faculdade de Filosofia, Ciências e Letras, USP; Série Geologia,
 302(22):195-196, 1967.
- PONÇANO, W.L.; BISTRICHI, C.A.; CARNEIRO, C.D.R.; ALMEIDA, M.A.; PIRES NETO, A.G.; ALMEIDA, F.F.M. de. O conceito de sistemas de relevo aplicado ao mapeamento geomorfológico do Estado de São Paulo. In: CONGRESSO REGIONAL DE GEOLOGIA, 2., Rio Claro, 1979. Atas. São Paulo, SBG, 1979, v. 2, p. 253-262.
- PONÇANO, W.L.; CARNEIRO, C.D.R.; BISTRICHI, C.A.; ALMEIDA, F.F.M. de; PRANDINI, F.L. Mapa geomorfológico do Estado de São Paulo. São Paulo, IPT, 1981, 94 p. (Monografia 5).

- PORADA, H. The Damara-Ribeira orogen of the Pan-African-Brasiliano cycle in Namibia (South West Africa) and Brazil as interpreted in terms of continental colision. Tectonophysics, 57:237-265, 1979.
- RAMSAY, J.G. Folding and fracturing of rocks. New York, Mc-Graw-Hill, 1967, 568 p.
- Shear zone and geometry: a review. <u>Journal of Structural Geology</u>, 12(2):83-99, 1980.
- READING, H.G. Characteristics and recognition of strik-slip fault systems. Special Publication Int. Ass. Sediment, 4:7-26, 1980.
- RICCOMINI, C.; BISTRICHI, C.A.; MELLO, M.S. Sobre a ocorrência de um derrame de ankaramito na Bacia de Volta Redonda (RJ) e sua importância na datação das bacias tafrofogênicas, continentais do sudeste brasilei ro. In: SIMPÓSIO REGIONAL DE GEOLOGIA, 4., São Paulo, 1983. Atas. São Paulo, SBG, v. 1, p. 52-58, 1983.
- SABINS JR., F.F. Remote sensing, principles and interpretation. San Francisco, CA, W.H. Freeman, 1978. 426 p.
- SADOWSKI, G.R. <u>Tectônica da Serra de Cubatão</u>. Tese de Doutoramento. São Paulo. Instituto de Geociências da USP, 1974, 159 p.
- Ativação da plataforma na América do Sul e as zonas de fratura no Atlântico Sul. In: CONGRESSO BRASILEIRO DE GEOLOGIA, 29., Ouro Preto, 1976. Anais. Belo Horizonte, SBG, 1976. v. 4, p. 13-23.
- Sobre a geologia estrutural de cinturões de cisalhamento continen tais. Tese de Livre Docência. São Paulo, Instituto de Geociências da USP, 1983. 108 p.
- SLATER, P.N. Remote Sensing: Optics and optical systems. London, Addison-Wesley, 1980. 498 p.
- SOARES, P.C.; FIORI, A.P. Lógica e sistemática na análise e interpreta ção de fotografias aéreas em geologia. <u>Notícias Geomorfológicas</u>, 16(32):71-104, 1976.
- SOARES, P.C.; MATTOS, J.T.; BALLIEIRO, M.G.; MENESES, P.R. Lineamentos em imagens de Landsat e Radar e suas implicações no conhecimento tectônico da Bacia do Paranã. In: SIMPÓSIO BRASILEIRO DE SENSORIAMENTO REMOTO, 2., Brasília, 1982. Anais. Brasília, CNPq, 1982, v. 1, p. 143-156.

- STRECKEISEN, A.L. Classification and nomeclature igneous rocks.

 IUGS subcomission on systematic of igneous rocks. Geotimes, 18(10): 26-30. 1973.
- SUGUIO, K. Contribuição à geologia da Bacia de Taubaté. <u>Boletim</u> <u>Especial da Faculdade de Filosofia, Ciências e Letras da USP</u>, nº 6, 106 p., 1969.
- Sintese dos conhecimentos sobre a sedimentação da Bacia de São Paulo. Publicação Especial SBG-SP, nº 23, p. 25-34, 1980.
- TCHALENKO, J.S. Similarities between shear zones of different magnitudes. Geological Society of America Bulletin, 81(6): 1625-1640. 1970.
- VENEZIANI, P.; ANJOS, C.S. Metodologia de interpretação de dados orbitais (Landsat) no mapeamento geológico regional. In: INSTITUTO DE PESQUISAS ESPACIAIS. Curso de Treinamento: aplicações de sensoria mento remoto com ênfase em imagens Landsat, no levantamento de recursos naturais. São José dos Campos, INPE, 1980, cap. 4, p. 4.1-4.16. (INPE-1945-MD/006).
- WERNICK, E. Aspectos petrológicos dos granitóides da provincia Ribeira, SP e PR. In: SIMPOSIO REGIONAL DE GEOLÓGIA, 2., São Paulo, 1979. Atas. São Paulo, SBG, 1979a, v. 1, p. 101-116.
- WERNICK, E. O magmatismo granitoide das regiões de dobramento Nordeste e Sudeste do Brasil. Revista Brasileira de Geologia, 9:123-139, 1979b.
- WILCOX, R.E.; HARDING, T.P.; SEELY, D.R. Basic Wrench tectonics.

 AAPG Bulletin, 57(1):74-96, 1973.

APENDICE A

MAPA DE LINEAMENTOS ESTRUTURAIS

APENDICE B

MAPA DE LINEAMENTOS ESTRUTURAIS DO SISTEMA B

APÊNDICE C

MAPA DE LINEAMENTOS ESTRUTURAIS DO SISTEMA C

APENDICE D

MAPA DE FEIXES DE LINEAMENTOS DOS SISTEMAS A, B, C

APENDICE E

MAPA DE LINEAMENTOS ESTRUTURAIS DO SISTEMA D

APÊNDICE F

MAPA DE LINEAMENTOS ESTRUTURAIS DO SISTEMA E

APENDICE G

MAPA DE LINEAMENTOS ESTRUTURAIS DO SISTEMA F

APÊNDICE H

MAPA DE LINEAMENTOS ESTRUTURAIS DO SISTEMA G

APENDICE I

DADOS ESTRUTURAIS DE CAMPO

S]		N69W/80SW N72W/86SW	N73W/V	N75W/V N175/5255	N188/555E	N15E/57SE	N21E/48SE	N14E/45SE	N17E/52SE	N1/E/58SE N21F/50SF	N15E/49SE	N14E/53SE	N34W/66NE	N30W/25NE	N15E/V	N12E/V	N16E/85SE	N14E/V	N13E/86NW	N15E/V	N10E/84NW	N15E/V	N14E/V	N18W/47SW	N32W/49SW	N20W/455W	N28W/45SW	N21W/43SW	N30W/49SW	N28W/45SW	N24W/48SW	NZCW/43SW	WIS/SN	NIOE/V	NO E/V	NS/09W	N2E/V	NICEA	NIOE	NS/28W	MC9/SN
MEDIDAS ESTRUTURAIS DE JUNTAS	CARAGUATATIJBA	N15W/V N13W/V	N16W/85NE	N12W/87SW	N17W/B/NE	N14W/85SW	N12W/83NE	N15W/V	N15W/86SW	NBW/V	N40W/V	N35W/78SW	N40W/V	N36W/V	MS0M/80SM	N37W/85SW	N40W/V	N35N/V	N34W/79SW	N4ZW/V	N39W/865W	N35W/825W	N35W/V	N40W/V	N70E/38SE	N/1E/35SE N55F/23NW	N57E/25NW	N50E/23NW	N59E/20NW	N55E/28NW	N56E/23NW	NS IE/24NW	NO4E/21NW	NSSE/ZZNW	NEST/25MW	MNO//P/COM	V/M5/N	N/M0KN	N70N/V	N72W/85NE	N75W/89ME
MEDIDAS 1	PERFIL 1: SÃO JOSÉ DOS CAMPOS - CARACUATATABA	EW/33S EW/35S	EW/30S	EW/32S	N80E/30SE	N85W/32SW	N87W/30SW	EW/33S	EW/32S	N46W/72NE N45W/70NE	N50W/68NE	N50W/75NE	N43W/70NE	N40W/68NE	N46W/71NE	N46W/72NE	N48W/75NE	N45W/67NE	N40E/21NW	N40E/20NW N40E/23NE	N38E/23NW	N36E/18NW	N45E/19NW	N44E/25NW	N43E/25NW	N4 1E/ 18NW N36F/24NW	N45E/25NW	N39E/20NW	N39E/23NW	N40E/19NW	N42E/25NW	N40E/21NW	N/MOGN	N54W/V	N46W/V	V /MC P.VI	N50W/85ME	N51W/88SN	N51W/88SW	N52W/875W	N20W/V
	PERFIL 1: SÃO	N25W/72NE	N30W/74NE	N31W/72NE	NSZW/ /4NE NSZW/ /4NE	NS5W/68NE	N56W/70NE	N53W/V	NS5W/V	N34W/V N38W A1	N35W/V	N36W/V	N37W/V	N35W/V	N36W/V	N38W/V	N37W/V	N35W/V	N62W/V	N64W/V	N67WA7	NS/V	N10E/63SE	. A/SN	NSE/80SE	NOE/V N75/85CF	NS/70SE	NS/75SE	NS/V	N10E/78SE	N10E/31SE	N/E/76NW	N32E/63SW	N55E/71SE	N53E//5SE	N55F /72CF	N75E/71SE	N58E/73SE	N58E/73SW	N50E/68SE	N52E/69SE
NSE/V N30E/V																																									
V/MCIN V/MCIN	N70E/60SE N68E/65SE	N60E/44NW N35W/V	NIOE/81SE	NS/78E	NS/80E	NOE/198E NAE/80SE	NS/V	NS/V	N5E/V	N3W/V	NS/N	N50E/30NW	N55E/32NW	N49E/30NW	N47E/27NW	N50E/36NW	N55E/V	No DE/V	NS8E/V	N63E/V	N60E/V	N59E/V	N63E/V	N60E/V	N61E/V	NAOW N	N35W/V	N38W/V	N3/W/EN	N49W/V	N32W/V	V/NGEN	N36W/V	N40W/V	N/UE/V	NA SWAY	N61E/V	N65E/V	N58E/V		
NBW/V N10W/V	N12W/56 SW N15W/50 SW	N84/55SW N13W/52SW N114/64CW	N10W/55SW	N9W/52SW	N14W/49SW	N35W/78NE	N10W/55SW	N14W/51SW	MS05/MCIN	N15W/53SW	N1 1W/5 35W	N10W/525W	N1 3W/485W	N12W/50SW	N36W/78NE	N30W/78NE	N32W/70NE	N33W/80NE	N3/W//SNE	N2 OW/ OLIVE N3 4W/77NE	N35W/78NE	N31W/80NE	N33W/83NE	N32W/71NE	N30W/78NE	N38W/82NE	N29W/73NE	N30W/77NE	N35W/79NE	N30W/8INE	N3IW/75NE	N6 2E/4 ZNW	N60E/44NW	N25E/V	NZ8E/V	N/UE/ LYNW	NG JW A	N85E/22NW	N87E/20NW		
N55E/75SE N54E/71SE	N45E/V N38E/V	N42E/V N39E/V	N33E/V	N38E/V	N40E/V	N41E/V N25W/V	N16W/V	N20W,V	N23W/V	N19W/V	N25WA	N24W/V	N21W/V	N18W/V	EW/68N	N80E/75NW	N75E/V	EW/V	EW//SN	NOSE/SOIM	NE EE/77NW	N75E/V	EW/88N	N24W/V	N19W/V	N2 24 / BSNF	N19W/89NE	N25W/86SW	N18W/V	N22W/V	N25W/V	N22W/V	N20W/V	N25W/80NE	NUSAN VECES	NZ3W/835W	NZOW/V	N22W/825W	N10W/51SW		

	N40W/75SW	N65E/V	N67E/V	N6 3E/V	N62E/84SE	N55E/V	N56E/V	N15W/V	NI 5W/V	N16W/V	N13W/V	N13W/ 855W	N16W/855W	N15W/86SW	N16W/885W	N15W/85NE	N15W/V	3859/3C8N	EW/70N	NI 5W/61SW	N35W/55NE	N20E/V	N21E/V	N30E/V	N33E/V	N22E/V	N24E/V	N25E/V	N28E/V	N21E/V	NZ3E/V	N25E/V	N27E/V	N29E/V	V 222/V	N335/V	N20E/N	N28E	N21E/V	N31E/V	N27E/V	N29E/V	N27E/V	N32E/V	N23E/V	N28E/V	N30E/V	N31E/V	N25E/V
		N62W/76SW	N40E/54SE	N68E/60NM	N68E/60NW	N40E/64NW	N42E/65NW	N38E/63NW	EW/70N	EW/68N	NI3/EV	N35E/70NW	JNG2M/JONE	N85E/68NW	N85W/72NE	N88W/72NE	EW/70N	EN/70N	N30E/V	N30E/V	N32E/V	N35E/V	N34E/V	N26E/V	N28E/V	N29E/V	N32E/V	N35E/V	N30E/85NW	N32E/88NW	N28E/85NW	N30E/85SE	N28E/88SE	N32E/85SE	NEON/V	NOOE/000E	NOUV STINE	NSE A	NJOEN	N15E/54SE	NS/V	N60W/66NF	N55W/80NE	NS5W/85NE	N60E/V	N62E/V	N58E/V	NIOW/78NE	N12W/7NE
ATE-UBATUBA		N78E/78NW	EW/V	N86E/V	N88W/V	EW/V	EW/V	N85E/V	N70E/75SE	N72E/78SE	N68E/73NW	N70E/75SE	N75E/80SE	N68E/70SE	N70E/75SE	N72E/78SE	N70E/70SE	N66E/75SE	N40E/73SE	N44E/75SE	N35E/V	N48E/84NW	N30E/V	N32E/V	N28E/V	N30E/85NW	N30E/85SE	N73W/73SW	N72W/80SW	N70W/67NE	N72W/68NE	N69W/67NE	N78E/64SE	N50E/V	N50E/V	N 30M/V	V/MCCN V/MCCN	V 284 /V	N25WA/	NEGW/RUE	NS AW / RS CW	NSSM A	N30F A	N28EA	N70E/56SE	N SW/80NE	N60W/76SW	N70E/64NW	N72E/64NW
PERFIL 2: TAUBATE-UBATUBA		N56W/80SW	N58W/V	WS58/W65N	N/ML/N	N49E / 70NW	N24E,V	N26W/V	N44E/66NW	N30E/V	N32E/V	N28E/V	N35E/V	NIOE/70NW	N20E/80NW	EW/V	N85E/V	N85W/V	EW/V	EW/V	N25W/V	N25W/V	N28W/V	N22W/V	N30E/76NW	N45W/V	N10E/70SE	EW/V	N80W/V	EW/V	EW/V	N78W/V	N85W/V	M88SW	EW/V	NACON.	EW/V	NI SECA	NSW AZ	NIOWA	MION/V	NBOW A	Mesw V	NASE /SRCE	NA 8R 7555F	14 3E 760 SE	N12W/78ME	N20E/V	N22E/V
	N22E/V	N26E/V	N29E/V	N21E/V																																													
	OW/80NE	IW/81NE	2W/78NE	W/82NE																																													

N682/62WW N30W/80NE N71E/65NW N31W/81NE N69E/62NW N32W/78NE N70E/63NW N29W/82NE

N18E/85NW N20E/86SE N21E/V NS/V

	N21W/77SW	N45W/325W	N40W/30SW	N4ZH/4USW	MOCW / SOCIA	N45W/29SW	N46W/33SW	N39W/355W	N45W/28SW	N48W/30SW	N25W/V	N28W/V	N20W/V	V/M6ZN	N3CM N3CH	A/MOZN	V/MCNI V/MCN	N25u A	1 / NOCIN	1/20N	A./MCZNI	3128W/88ME	NZ /W/ 80SF	N26W/85NE	MSB//MSZN	NZ3VI/ 103V	NZOW/V	NZ SW/ 6 SWE NO SW/ 8 SCW	N2OM/625M	ANDON/NOOM	N34W/26FE	N30M/20life	N40W/25NE	N38W/31NE	N36M/29NE	N29W/21NE	N36W/26NE	N37W/28NE	N35W/22NE	N34W/25NE	N38E/70SE	N35E/75SE	N35E/68SE	N37E/66SE	N40E/V	N4 2E/V	
	NBE/V	NS/88W	N6W/V	NS/82E	N20E/V	N55EA	N48E/V	N49E/V	N53E/V	N50E/V	N51E/V	N46E/V	N54E/V	N56E/V	N48E/V	N20E/V	N49E/V	N245/V	V /3/8/1	N46E/V	N3.3E/V	N43E/V	N5ZE/V	NS/85E	NS/85E	>/M/N	NS/V	NOE/V	N/3E/025E	M/0E/00SE	NO9E/ 32SE N70F/68SE	N74F/60SE	N73E/59SE	N77E/67SE	N75E/62SE	N75E/70SE	N76E/63SE	N21W/70SN	N28W/75SW	N18W/79SW	N22W/62SW	N25W/68SW	N15W/67SW	N25W/73SW	N20W/70SW	N22W/70SW	
RECIDA-PARATI	N48E/V	N52E/83SE	N80E/75SE	N85E/70SE	N/0E//USE N915/79CF	NROF/ROSE	N86E/78SE	N77E/79SE	N79E/81SE	N80E/75SE	N83E/75SE	N51E/V	N52E/V	N50E/V	N47E/85NW	N355N	N49E/V	N52E/85SE	NO 3E/01SE	N46E/V	NO 3E/ 8USE	N81E/76SE	N84E/72SE	N76E/68SE	N76E/68SE	N83E/ 19SE	N80E/ /5SE	NG 1E/ 835E	NGDE/ 78SE	N/3E/ /3SE	N/1E/80SE	1207/358M	NSOF/65NW	N38E/71M	N35W/74NE	N80W/60ME	N50E/V	NS/V	NS/N	N5E/V	NS/v	N7E/V	NS/V	N7E/85SE	NSW/V	N3W/78NE	
PERFIL 3: APARECIDA-PARATI	N55E/70SE	N70E/29NW	N45W/V	N55W/V	NOE/V	EW/605	N87E/62SE	N75E/72SE	N25E/57NW	N35W/45NE	N54W/V	N55W/67NE	N60W/V	N56W/75NE	N58W/V	N90M/JBNE	HNSB/MSSN	NO4W/80NE	V/W/ CN	N60W/V	N/MSSN/V	NSOW/65NE	N55W/74NE	N55W/74NE	N50W/V	0/M09N	N6ZW/75NE	HORM/RONE	NS3W/BUNE	A/MCCN	N6 3W/V	NOOE/EENTA	N3CE/JONE	NAOE/68NW	N48E/V	NSOE/BONW	N32E/75NI	N55E/79NW	N50E/V	N55E/V	N48E/85NW	N47E/81NP	N51E/V	N49E/V	N55E/88SE	N54E/80SE	
NS/15W N10W/13SW	NZH/20SW NS/16W	NSW/15SW	N6W/18SW	NS/20W	NSW/14SW	NGW/20NE	N12W/15NE	N5W/23NE	N8W/18NE	N6W/20NE	NSE/80NM	NS/V	NS/85W	N10E/V	NS/V	NS/8 SW	N3E/V	N7E/V	NSE/80MW	N85E/V	EW/V	EN/V	N80E/V	EM/V	N88E/V	N85E/V	EW/V	EW/V	NG 1E/V	NOTE OZNW	NS/V	N12FA	NS/A	NS/85W	N6E/V	N3E/V	NSE/75NW	N6E/75NW	N86E/V	EM/V	EW/V	N83E/V					
N46W/60NE N27W/61NE	N31W/60NE N40E/56NE	N31W/63NE	N36W/60NE	N39W/65NE	N30W/5/NE	NJOW/55NE	N12W/30NE	N15W/28NE	N6W/28NE	N21W/25NE	N13W/40NE	N8W/30NE	N11W/30NE	N16W/30NE	N21W/35NE	N9W/27NE	N62E/V	N60E/V	N65E/V	N58E/V	N55E/V	N68E/V	N62E/V	N65E/V	N60E/V	0/38CN	N4 5W/ /ZNE	N40W/ /ONE	N43W/ /8NE	MACH VESNE	N48W/68NE N45W/70NE	NASW/73NE	NAOW/78NE	N38W/79NE	N45W/75NE	N60W/18NE	N65W/19NE	N63W/25NE	N55W/15NE	N58W/21NE	NS/13W	NSW/21SW					
N10W/32NE N12W/35NE	NSW/26NF N18W/25NF	N12M/38NE	N9W/30NE	N10W/32NE	N15W/31NE	NSt./20NE	N3ZE/75SE	N36E/V	N43E/78SE	N41E/65SE	N40E/88SE	N37E/V	N38E/V	N77E/40SE	N72E/33SE	N74E/35SE	N76E/40SE	N80E/32SE	N82E/37SE	N67E/32SE	N75E/42SE	N76E/40SE	N81E/30SE	N80E/33SE	N79E/25SE	N/3E/46SE	N/5E/36SE	N83E/4USE	N/8E/30SE	N/5E/30SE	N/5E/40SE	M926/4235	N78E/36SE	N22W/V	N20W/83NE	N17W/V	N16W/V	N26W/76SW	N20W/V	N22W/80SW	N21W,'86SW	N30W/V	N8W/80SW	NS/65W	MS/70W	NGE/71NW	NZE/ /SNW
N33E/75SE N38E/V	N41E/80SE N30F/60SE	N42E/85SE	N35E/V	N36E/V	N/5E/35SE	N70E/30SE N74E/36SE	N75E/39SE	N81E/28SE	N80E/35SE	N70E/35SE	N79E/40SE	N78E/39SE	N80W/29SW	N80E/36SE	N78E/28SE	N75E/44SE	N75E/35SE	N81E/40SE	N78E/32SE	N76E/36SE	N74E/39SE	N81E/41SE	N79E/40SE	N20W/V	N2ZW/80NE	V/WSIN	N18W/V	NZBW/ /BSW	NZOW/V	WSI M/MI ZN	NZCW/BCW	1/11/CM	NASW/SONE	N25W/62NF	N30W/60NE	N42W/55NE	N28W/59NE	N35W/63NE	N38W/65NE	N32W/58NE	N36W/62NE	N40W/59NE	EW/V	N85E/V	N87E/V	∆/\\\\\\\\\\\\\\\\\\\\\\\\\\\\\\\\\\\\	EW/V

NS/75W
NS/68NW
EW/15S
EW/15S
EW/12S
N85E/12SE
N89E/12SE
N87E/57S
EW/57S
W77E/51SE
EW/56S
EW/56S
EW/56S
EW/56S
W77E/51SE
EW/56S
N77E/51SE
EW/56S
N77E/51SE
W776S
N17E/51SE
EW/56S
N17E/71NW
NS/73W
NS/66W
NS/73W
NS/66W
NS/73W
NS/66W
NS/66W
NS/73W
NS/67Z

N83E/V
N40E/V
N40E/V
N83E/68SE
N55M/58SW
N40E/20M
N50E/25MI
N50E/25MI
N50E/25MI
N50W/75NE
N40W/75NE
N40W/56S
N80W/56S

	N58W/62SW	N38E/53SE
78NW	N61W/69SW	N32E/60SE
>	N65W/65SW	N29E/48SE
>	NS6W/70SW	N30E/45SE
N42W/V	N60W/73SW	N24E/51SE
N48W/V	N6ZW/63SW	N25E/50SE
N35W/V		N31E/5/SE
N38W/V	N25E/ /85E N18F /65CF	N35E/49SE N39E/52SE
N5/W/V	N16E/68CE	1 =
V 40514	N 10E/ 72SE	N50E/78NW
N42W/V		
1W/V		N25W/V
N38W/V		>
N45W/V		N20E/48SE
N38W/V	N18E/72SE	
N41W/V	N65W/60SW	
N38W/V	MSOM/ 68SM	
N50W/V	N63W/65SW	
V/W/ 4N	Neow/ /osw	
N45W/V	MS09/M/SN	
N4 SW/V	WCO/ /WCON	
N42W/V	N58W/715W	
N72E/40SE	N64W/75SW	
N65E/33SE	N60W/65SW	
N68E/45SE	N23E/71SE	
N77E/38SE	N26E/80SE	
4.	N21E/65SE	
	N18E/69SE	
N66E/40SE	N22E/ /35E	
N / E/ 395E	N25E/75SE	
N50E/61NW		
N49E/68NW	1	
NS6E/57NW	N3041/V	
N60E/54NW	N28W/V	
N58E/59tW	N37W/V	
N54E/63NW	N25W/V	
NSSE/65NW	N32W/V	
N48E/58NW	N30W/V	
NSSE/68NW	2/MCZN	
N65W/62SW	N3/W/V	
MEDIA / RESER	V/31K/V	
HOOD /HOOM	1000	

PERFIL 4: BARRA MANSA - BR-101

N78W/V	EW/V	EW/V	EW/V	N85E/V	N82E/V	N85W/V	EW/V	N45W/725W	N42W/70SW	N38W/78SW	N46W/65SW	N51W/66SW	N374/70SW	N40W/77SW	N46W/65SW	N44W/68SW	N45W/72SW	N30W/74NE	N30W/V	N25W/80SW	EW/32S	EW/V	EM/∨	N80W/V	EW/V	EW/V	EW/V	N80W/V	N81E/V	N85E/V	EM/V	N48W/70SW	N38W/685W													
N18W/V	N 1 1 W/V	N8W/V	N15W/V	N16W/V	N40E/55SE	N42E/50SE	N47E/58SE	N38E/49SE	N34E/47SE	N39E/51SE	N42E/55SE	N40E/55SE	N48E/49SE	N43E/60SE	N25E/V	N15E/V	N22E/V	N16E/V	N22E/V	N20E/V	N26E/V	N19E/V	N18E/V	N20E/V	N23E/V	N18E/V	N24E/V	N18E/V	N20E/V	N17E/V	N20E/V	N25E/V	N19E/V	N13E/V	N15W/40SW	N18W/42SW	WS0S/MSLN	N20W/45SW	N16W/38SW	N15W/35SW	N13W/40SW	N21W/335W	N10W/39SW	N9W/42SW	EW/V	EW/V
N70E/52SE	N75E/50SE	N66E/57SE	N65E/48SE	N72E/52SE	N77E/45SE	N70E/50SE	N68E/55SE	N73E/58SE	EW/V	N15W/V	N10W/V	N21W/V	N18W/V	N26W/V	N1W/V	N13W/V	N10W/V	N14W/V	N18W/V	EW/V	N80W/V	N3 TW/30NE	N18W/35NE	N18W/31NE	N26W/36NE	N23W/25NE	N20W/33NE	N31W/32NE	N26W/28NE	N21W/41NE	N29W/31NE	N73E/50SE	N68E/55SE	N76E/53SE	N68E/60SE	NeSE/49SE	N68E/50SE	N79E/48SE	N75E/50SE	N69E/55SE	N77E/53SE	N18W/V	N12W/V	N23W/V	N21W/V	N25W/V
N30W/55SW	N20W/71SW	N25W/68SW	N28W/60SW	N23W/63SW	N20W/58SW	N28W/69SW	N30W/655W	N25W/63SW	N26W/67SW	EW/V	EW/V	N81W/V	N85E/V	EW/V	EW/V	EW/V	N32W/50SW	N23W/735W	N26W/63SW	N31W/59SW	N23W/60SW	N21W/59SW	WS69/MEEN	N30W/62SW	N28W/65SW	N23W/645W	EW/V	EW/V	EW/V	N83W/V	EW/V	N86E/V	EW/V	EW/V	N78W/V	N30W/Z9NE	N1 /W/3 /NE	N20W/30NE	N25W/35NE	N23W/28NE	N18W/32NE	N29W/34NE	N25W/30NE	N24W/39NE	N27W/37NE	N70E/50SE
N49E/68NW	N48E/71NW	N52E/75NW	N55E/71NW	N35W/V	N28W/V	N30W/V	N38W/V	N27W/V	N25W/V	N29W/V	N31W/V	N31W/85NE	N30W/845W	N27W/85SW	N31W/V	N35W/V	N28W/V	N75E/35SE	N75E/35SE	N77E/36SE	N78E/32SE	N73E/33SE	N74E/37SE	N75E/37SE	N78E/32SE	N75E/36SE	N79E/38SE	N72E/35SE	N75E/35SE	N76E/30SE	N78E/34SE	N72E/38SE	N78W/V	N78W/V	N80W/V	N75W/V	N78W/85NE	N78W/86SW	N76W/85SW	N79W/85NE	N27E/V	EW/V	V/W67N	N81W/V	N/W6LN	N75W/V
N30W/85SW	N28W/88SW	N29W/85SW	N33W/V	N32W/85SW	N30W/V	N47E/72NW	N63E/73NW	N45E/68NW	N53E/65NW	N57E/65NW	N58E/70NW	N63E/73NW	N58E/65NW	N57E/72NW	N58E/70NW	N47E/69NW	N51E/68NW	N49E/75NW	N54E/75NW	N51E/67NW	N33W/V	N28W/V	N35W/V	N30M/V	N26W/V	N29W/V	N3ZW/V	N30W/81NE	N32W/V	N35W/82SW	N29W/85SW	N31W/88SW	N35W/V	N35W/V	N35W/V	N47E/71NW	NS1E/67NW	N51E/69NW	NSOE/70NW	N55E/69NW	N55E/74NW	N61E/68NW	N60E/70NW	N52E/73NW	N51E/73NW	N50E/70NW
N76E/88SE	N85E/70NW	N85E/71NW	N85E/72NW	N84E/70NW	N83E/74NW	N87E/68NW	N88E/67NW	N87E/70NW	N65E/V	N27E/V	N80W/80NE	NS/82E	N80E/60NW	N35W/V	N80W/65NE	N27W/V	EW/V	EW/V	EW/85N	EW/88S	N87E/V	N88W/V	N45E/70NW	N60E/70NW	N48E/72NW	N50E/68NW	N53E/67NW	N55E/74NW	N60E/70NW	N58E/68NW	N5GE/73NW	NS5E/72NW	N50E/67NW	N48E/71NW	N49E/70NW	N50E/72NW	N51E/71NW	N304:/V	N31M/V	N32W/V	N35W/V	N28W/V	N27W/V	N29W/V	N30W/85NE	N31W/88NE
N65E/39SE	N65E/43SE	N60E/77NW	N65E/73NW	N20W/81NE	N28W/86NE	N70E/61SE	N46E/54SE	N45E/55SE	N47E/53SE	N44E/55SE	N36E/V	N10E/44SE	N11E/43SE	N33W/70NE	N35E/30SE	N38W/815W	N23E/48SE	N44W/V	N75W/35NE	N30W/V	N10E/V	N70E/V	N30W/V	N10E/64SE	N10E/80SE	N15E/25NW	EW/70N	EW/V	NS/V	NS/V	N3E/V	NZN/V	NSE/85NW	N4W/86NE	NS/88E	NS/87W	NS/V	N2E/V	NZM/V	N75E/V	N75E/V	N77E/V	N73E/V	N75E/85SE	N75E/88SE	N75E/V

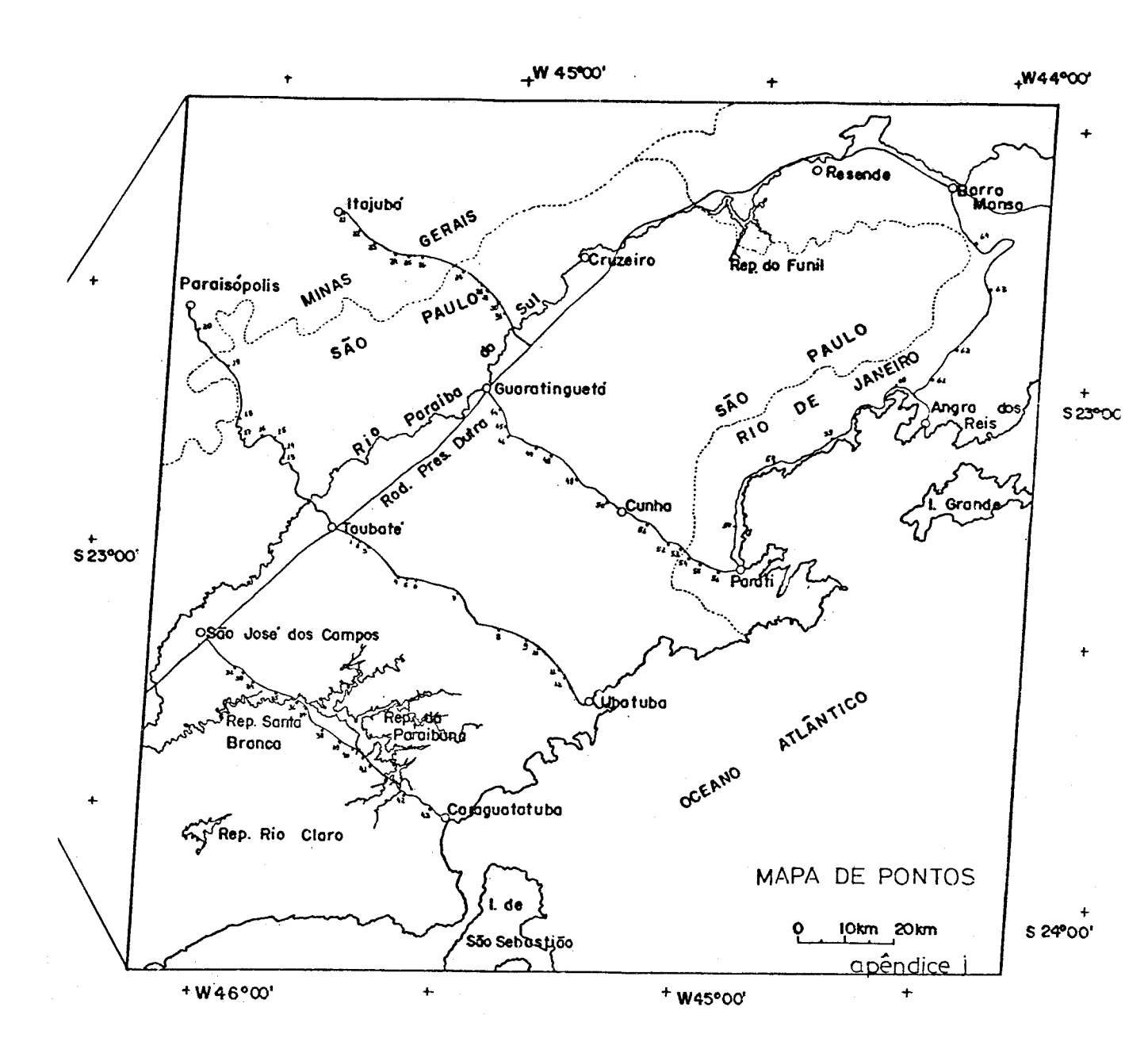
PERFIL 6: TAUBATÉ-PARAISÓPOLIS

PERFIL 5: PARATI-ANGRA DOS REIS

NEW CASES SEE NEW	PERFIL 7: LORENA-ITAJUBA				
NY NY NY NY NY NY NY NY				V/W0W/V	N86W/47SW
N. 100 N		N60W/V	NSOE/V	V/WZW/V	N67E/38SE
NIGWA NIGW		N10E/52NW	N50W/52SW	N79W/81NE	N75E/10SE
N126/Y N15E/GGE SN/Y NGW/TNE	_	N30E/70NW	N75W/14SW	N/MS/N	N65E/38SE
N. 1966		N15E/V N75E/6GE	EW/V	N81W/V	N71E/30SE N78E/34SE
N	•	N20E/65NW	N57E/79SE	WS88/M9/LN	N70E/27SE
NTEL/85KW NTEL/67kW NTEL/65kW NTEL/66kW NTEL		N22E/63NW	N35E/66SE	N29M/85SW	N71E/33SE
NYEE/FORM NYEE/FOREE BNJ445		N23E/67rW	N55W/73NE	N78W/80NE	N75E/35SE
NYEE/BOWN NYEE		N18E/64NW	NZ6E/66SE	N81W/81NE	N68E/41SE
N75E/7 NAM N15E/7 NAM N15E/7 NAM N17E/7	-	N19E/68NW	N42E/V	EW/44S	N68W/38SW
N70E/V N13E/V N65K/4NE BA/50S N70E/V N13E/V N65K/4NE BA/50S N70E/V N12E/V N65K/4NE BA/50S N71E/90M N12E/V N20E/14NM BA/55S N72E/R0M N12E/V N20E/F (1NM N89W/52S N72E/R0M N12E/V N20E/F (1NM N89W/52S N6DE/V N12E/V N12E/F (1NM N89W/52S N6DE/V N12E/V N12E/V N10E/F (1SE N7E/B N12E/V N10E/F (1SE N10E/F (1SE N7E/B N10E/F (1SE N10E/F (1SE N10E/F (1SE N7E/V N10E/F (1SE N10E/F (1SE N10E/F (1SE N7E/F (1SE N10E/F (1SE N10E/F (1SE N10E/F (1SE N6E/F (1SE N10E/F (1SE N10E/F (1SE N10E/F (1SE N6E/F (1SE N10E/F (1SE		NZOE/64NW	N14E/V	EW/72S	NS1W/65SW
NTEL/90M NTEL/90M NEOR/10ME EM/50S NTEL/90M NTEL/90M NEOR/17ME EM/50S NTEL/90M NTEL/90		N15E/V	EW/50N	EW/50S	N70W/61SW
N71E/73NW N20E/7 NW N20E	_	N30E/V	N65W/16NE	EW/60S	NS3W/20SW
N		NZ0E/V	N65W/4/NE	EW/558	N55W/58SW
NY3EVA N	_	N22E/V	NZOE/ /4NW	EW/53S	N65W/71SW
NOSE/A NASE/A NASEA/A NASE/A NASE/A NASE/A NASE/A NASE/A NASE/A NASE/A NASE/A NASEA/A NASE/A NASE/A NASE/A NASE/A NASE/A NASE/A NASE/A NASE/A NASEA/A NASE/A NASE/A NASE/A NASE/A NASE/A NASE/A NASE/A NASE/A NASEA/A NASE/A NASE/A NASE/A NASE/A NASE/A NASE/A NASE/A NASE/A NASEA/A NASE/A NASE/A NASE/A NASE/A NASE/A NASE/A NASE/A NASE/A NASEA/A NASE/A NASE/A NASE/A NASE/A NASE/A NASE/A NASE/A NASE/A NASEA/A NASE/A NASE/A NASE/A NASE/A NASE/A NASE/A NASE/A NASE/A NASEA/A NASE/A NASE/A NASE/A NASE/A NASE/A NASE/A NASE/A NASE/A NASEA/A NASE/A NASE/A NASE/A NASE/A NASE/A NASE/A NASE/A NASE/A NASEA	N11W/82NE N72E/V	N18E/V	NZ5E/61NW	N85E/50SE	N69W/62SW
NTE/Y	N69E/V	NZSE/V	NZOZ / COM	N89W/5ZSW	Negw/40SW
N15E/80M		NZ6E/V	NZ3E/OOMW	NGOW/46SW	MSR9/MOCN
NOSE/SNAM NASE/Y		NZ4E/V	NZZE/6/NW	N83E/55SE	NS68W/SSW
N 1 E	N18W/85NE N65E/85NW	NZSE/V	N10E/4/SE	N65E/38SE	Wale/wash
NTSE/V NTSE/TSEN NTSE/TS	N/1E/86NW	NZ3E/V	N3SE/ TONW	NOUE/34SE N7OE/16 SE	MSDW/DDSW
NYSELY N	MNO0/37/N	NOZE/V	N3/E/ 2010 N3/E/ 17/NW	N/02/ 10 3E	NZOW/FOCIN
N75E/V N40W/71NE N56E/15SE N75E/30SE N65E/V N41W/70NE N56E/15SE N75E/30SE N65E/V N41W/70NE N75E/15SE N70E/30SE N60E/GMM N43E/40M N62E/61MM N70E/30SE N65E/GMM N49W/V N3E/64MM N70E/30SE N65E/63MM N40W/V N5E/64MM N65E/30SE N65E/63MM N40W/V N5E/56MM N65E/30SE N65E/63MM N40W/V N5E/56MM N65E/30SE N65E/63MM N40W/V N5E/58MM N65E/58MM N65E/63MM N40W/V N5E/58MM N65W/3SM N65E/64MM N41W/V N60E/61MM N65W/6SM N71E/58MM N41W/V N60E/61MM N60M/6SM N71E/58MM N41W/V N60E/63MM N60M/6SM N70E/54MM N3E/45SE N11M/V N9M/V N9M/V N70E/54MM N60M/V N11M/V N9M/V N9M/V N2M/6SM N60M/V N11M/V N9M/V N16E/8SM <t< td=""><td>NOW / NOW /</td><td>N27E/12NW</td><td>N57E/15SE</td><td>N70E/28SE</td><td>NS/78W</td></t<>	NOW /	N27E/12NW	N57E/15SE	N70E/28SE	NS/78W
N65E/V N41W/70NE N75W/V N75W/V N75E/20SE N60E/G4MW N62E/64M N60E/64M N75E/20SE N60E/G4MW N62E/64M N75E/30SE N65E/64MW N65E/64M N65E/30SE N65E/64MW N65E/54M N65E/30SE N65E/50MW N67E/58M N65M/42SE N67E/58MW N40W/V N60E/63M N71E/58MW N41W/V N60E/63M N71E/58MW N41W/V N60E/63M N71E/55MW N41W/V N60E/63M N60E/51MW N31E/45SE N15W/V N60E/51MW N31E/45SE N15W/V N60E/51MW N60W/V N11W/V N60W/V N11W/V N60W/V N60W/V N11W/V N60W/V N60W/V N11W/V N60W/V N60W/V		N40W/71NE	N56E/15SE	N75E/30SE	NS/68W
N6BE/V N82W/25NE N6OE/61NM N70E/29SE N50E/64NW N45E/40NM N62E/63NM N70E/29SE N35E/63NW N40E/79NW N62E/63NM N70E/29SE N65E/63NW N40E/79NW N36E/63NM N65E/39SE N62E/50NW N38W/V N57E/58NW N65E/39SE N62E/58NW N40W/V N56E/58NW N50E/68SW N61E/60NW N38W/V N60E/62NW N50E/58NW N61E/58NW N40W/V N60E/62NW N50E/58NW N61E/58NW N41W/V N60E/62NW N60W/63SW N60E/58NW N41W/V N60E/63NW N60W/63SW N60E/58NW N31E/42SE N10W/V N60W/68SW N60E/58NW N31E/42SE N10W/V N60W/C N60E/58NW N31E/43SE N10W/V N60W/C N60W/V N11W/V N90W/V N90W/V N60W/V N10W/V N90W/V N90W/V N25W/70SW N60W/V N10W/V N60W/C N12W/70SW N60W/V N10W/V <td></td> <td>N41W/70NE</td> <td>N75W/V</td> <td>N70E/30SE</td> <td>N35E/73SE</td>		N41W/70NE	N75W/V	N70E/30SE	N35E/73SE
NGOE/64NW N45E/40NN N62E/63NM N72E/30SE NJSE/47NW N45E/40NN N65E/63NM N72E/30SE NGSE/63NW N40N/V N65E/64NM N65E/39SE NGSE/63NW N40N/V N65E/63NM N65E/39SE NGSE/63NW N40N/V N59E/58NM N60P/68SW NGBE/60NW N38M/V N60E/62NM N50P/68SW NGBE/60NW N39M/V N60E/63NM N59M/63SW NGBE/50NW N41M/V N60E/63NM N63M/68SW NGBE/50NW N35E/42SE N60E/63NM N63M/68SW NGBE/50NW N35E/42SE N10M/V N63M/68SW NGBE/50NW N35E/45SE N10M/V N63M/68SW NGBE/50NW N35E/45SE N11M/V N60M/V NGBE/50NW N60M/V N11M/V N6M/51S NGBE/50NW N60M/V N11M/V N80M/51S NGBM/CSSW N60M/V N11M/V N80M/51S NGSM/CSSW N60M/V N11M/V N80M/51S NGSM/CSW N10M/V	_	N82W/25NE	N60E/61NW	N70E/29SE	N35E/70SE
N73E/47W N40E/79NW N65E/64WN N65E/64WN N62E/63WM N40W/V N38E/63MM N65E/42SW N62E/50NM N42M/V N39E/58NM N60M/68SM N6EE/6NM N40M/V N69E/58NM N70M/63SM N6TE/58NM N40M/V N60E/61NM N5M/8SM N71E/48NM N39M/V N60E/61NM N63M/68SM N71E/48NM N39M/V N60E/61NM N63M/68SM N71E/48NM N33E/42SE N10M/V N63M/68SM N61E/51NM N33E/42SE N10M/V EM/33 N65E/51NM N33E/45SE N10M/V EM/53S N65E/51NM N33E/45SE N11M/V EM/53S N65E/51NM N63M/V N11M/V EM/53S N65E/51NM N60M/V N11M/V EM/53S N65E/51NM N60M/V N11M/V EM/53S N66E/53NM N60M/V N11M/V N80M/V EM/60S N25E/53NM N60M/V N11M/V N80M/V N80M/C N15E/8SSM N16E/	_	N45E/40NV	N62E/63NW	N72E/30SE	N15E/41NW
NGSE/63NW N45R/V N38E/63NW N65W/42SW NGSE/63NW N45N/V N38E/63NW N65E/58NW N65M/42SW NGBE/60NW N38M/V N60E/62NW N50M/68SW NGTE/58NW N40W/V N60E/62NW N50W/58SW N71E/48NW N39W/V N60E/62NW N50W/58SW N71E/48NW N39W/V N60E/63NW N58W/58SW N71E/48NW N35E/42SE N10E/58NW N60E/63NW N71E/48NW N35E/42SE N12W/V N60E/63NW N71E/5NW N35E/42SE N12W/V N60E/63NW N65E/5NW N35E/45SE N12W/V N60E/63NW N65E/5NW N35E/45SE N11W/V N15W/V EW/53S N65E/5NW N65W/V N11W/V N9W/V EW/53S N65E/5NW N60W/V N11W/V N9W/V N8BW/50S N26W/10NE N60W/V N11W/V N9W/V N8BW/50S N26W/5NE N15W/NE N15W/NE N15W/NE N15W/NE N15E/85NW N15W/NE	_	N40E/79NW	N65E/64NW	N65E/39SE	N45W/14NE
NGZE/SOW NAZW/V N57E/58W N50H/68SW NGEE/GORW NA3W/V N69E/58W N70H/68SW NGTE/58WW N49W/V N60E/63W N59E/58W NGTE/58WW N41W/V N60E/63W N58W/58SW NGTE/55WW N41W/V N60E/63W N58W/58SW NGTE/55WW N41W/V N60E/63W N58W/58SW NGTE/55WW N41W/V N60E/63W N68W/68SW NGTE/55WW N31E/40SE N10W/V N60W/CSW NGTE/51W N31E/40SE N10W/V N60W/CSW NGTE/51W N32W/70S N11W/V N10W/V NGTE/51W N10W/V N11W/V N40F/53S NGSE/50W N60W/V N11W/V N40F/53S NGSE/49W N60W/V N11W/V N40F/53S NGSW/V N11W/V N40F/V N40F/S NGSW/V N11W/V N40F/S N40F/S NGSW/V N11W/V N40F/S N40F/S NGSW/V N11W/V N40F/S N40F/S	_	N40W/V	N38E/63NW	N65W/42SW	N70E/9SE
NGEL/GOWN NASW/V NS9E/58NM N10W/6.35W NGEL/SRW NA9W/V NG0E/62NM N59W/58SW NATE/58NW NA9W/V NG0E/61NM N63W/58SW NG9E/50NW NA1W/V NG0E/63NM NG3W/68SW NG1E/55NW NA1W/V NG0E/63NM NG40S NG1E/55NW NA1E/40SE N10W/V EW/40S NG1E/55NW NA3E/45SE N10W/V EW/51S NG1E/55NW N31E/45SE N15W/V EW/51S NG1E/55NW NG0W/V N11W/V EW/51S NG1E/55NW NG0W/V N11W/V EW/51S NG1E/55NW NG0W/V N11W/V EW/51S NG2W/70SM NG0W/V N11W/V EW/51S NG2W/10ME NG0W/V N11W/V N9W/V NG2W/10ME NG0W/V N11W/V N9W/V NG2W/70SM NG0W/V N11W/V N9W/V NG2W/70SW NG0W/V N11W/V N9W/V NG2W/20SW NG0W/V N11W/V N9W/V	~	N42W/V	N57E/58NW	N209/68SW	N72E/10S)
NGTE/58NW N40W/V N60E/62MW N50E/52MW N50E/52MW NTE/48W N39W/V N60E/61MW N50E/53MW N50E/53MW NG1E/55NW N41W/V N60E/63MW N60E/63MW NG1E/55NW N31E/40SE N10W/V N60E/63MW NG1E/53NW N31E/40SE N10W/V EM/40S NG1E/53NW N31E/40SE N10W/V EM/40S NG1E/53NW N31E/45SE N10W/V EM/40S NG1E/53NW N60W/V N11W/V EM/51S NG1E/53NW N60W/V N11W/V EM/53S NG1E/55NW N60W/V N11W/V EM/53S NG2W/70SH N60W/V N10W/V EM/53S NG2W/70SH N50W/V N11W/V N80W/V NG3W/V N10W/V N10W/V N80W/V NG2W/5KE N15W/V N15W/V N15W/V N15E/8SW N15E/V N15W/V N15W/V N15E/SW N15W/V N15W/V N15W/V N15E/V N15W/V N15W/V <td>N72E/88NW N68E/60NW</td> <td>N38W/V</td> <td>N59E/58NW</td> <td>M269/M0/N</td> <td>N69E/8SE</td>	N72E/88NW N68E/60NW	N38W/V	N59E/58NW	M269/M0/N	N69E/8SE
NG NG NG NG NG NG NG NG	N67E/58NW	N40W/V	N60E/62NW	N55W/50SW	N74E/82NW
NGEE/SORM	_	A/M6EN	N60E/6 INW	MSBC/MBCN	EW/ /4N
N		N4 1W/V	N6ZE/S8NW	ND 3W 685W	NCOM/40SW
NO SET SERW	_	N35E/425E	NOUE/ 6 SNW	Noow/ busw	MC24/MCON
NODE/SOW		NS/IS/4USE	NIOW V	2017/M2	WCZ # / MI / N
N 7 1E/5 03149 N 249/7 AND N 194/V N 1		ACCA / 3CM	N 12W V	EM/ 703	Meder / Me / M
N 1 E / SONW NOW/V N 1 W / V N N W / V N N W / V N N W / V N W W / V N N W / V N N W / V N N W W N N W W N N N W W N N N W W N N N W W N N N W W N N N W W N N N W W N N N W W N N N W W N N N W W N N N N W W N N N S W N N S E / V N S E / V N S E	N/OE/ SSINM	NZ OM / ZNE	V (NC) N	CAVE SE	
NOE/55NW	N/IE/CONM	A MOON A	A/WI IN	SCC /WG	
NOE/55NW N65M/V N08W/V N0E/55NW N65M/V N08W/V N05W/V N11W/V N10W/V N05W/V N9W/V N05W/V N9W/V N05W/GNE N05E/75NW N10W/V N16E/88SE N13E/V N15E/85NW N16E/V N15W/RE N13E/W N13W/46NE N13E/85NW N14E/V N13W/46NE	NOOF / HON	V/MP9/N	>\M\\\\\\\\\\\\\\\\\\\\\\\\\\\\\\\\\\\	5/C/MJ	
N26W/ 10M N56W/V N10W/V N26W/ 10ME N60W/V N11W/V N9W/V N25W/ 64NE N25E/75M N10W/V N9W/V N16E/88SE N13E/V N15E/85M N16E/V N16E/V N16M/ 3ME N13E/85M N16E/V N13W/ 46NE N13E/85M N13W/ 46NE		N6 3W/V	N8W/	EW/00S	
N25W/10NE N6W/V N1W/V N5W/V N5W/V N5W/V N0W/V N0E/83EE N13E/V N16E/843EE N16E/V N16W/3NE N16E/V N16E/V N16W/3NE N13E/85NW N16E/V N16W/45NE N13E/85NW N16E/V N16W/45NE N13W/46NE		A/MRCN	>/MOIN	300F/300N	
N23W/ 55NE N25E/ 75NW N15E/ 85NW N15E/ 85NW N15E/ V		Noon Noon	>/MI / W	NSBW/SDSW	
N.23W/ 34PE N.23E/V N.16E/88SE N.13E/V N.15E/85xW N.16E/V N.13E/85xW N.14E/V		V/W/CM	N3W/V		
N 19E/V N 19E/85w N 19E/V N 19E/85w N 14E/V		WNC//9CN	>/wolv		
N13E/85NW N13E/85NW N13E/85NW		N13E/V	N DW/NE		
N13E/85NW N14E/V		NIGE/V	N low/4 SNE		
	_	N14E/V	N 3W/46NE		

APÊNDICE J

MAPA DE PONTOS



APÊNDICE L

REALCE DE LINEAMENTOS ESTRUTURAIS ATRAVÉS DE TÉCNICAS DE FILTRAGENS DIGITAIS

L.1 - INTRODUÇÃO

Com o desenvolvimento dessa pesquisa, verificou-se a existência de duas possibilidades para a analise de lineamentos estruturais em imagens orbitais: a interpretação visual ja consagrada pelo uso corrente, e a interpretação utilizando-se técnicas de realce por processamento digital, esta ainda em estágio inicial de desenvolvimento nas pesquisas realizadas no Brasil.

Atraves do processamento digital, varias tecnicas objetivas de realce de imagem podem ser utilizadas como auxilio na identificação e extração de lineamentos.

Entre as técnicas de processamento, destaca-se a filtra gem digital que atua sobre as variações tonais da imagem, correspon den do aos diferentes níveis de cinza dos seus constituíntes (pixels), com base no conceito de frequência espacial da imagem digital (Paradella e Dutra, 1980).

Um lineamento tonal pode ser um limite reto entre areas de tons contrastantes ou mesmo uma faixa realçada sobre um fundo unifor me. Diferenças na vegetação, teor de umidade, composição dos solos ou rochas, que por sua vez podem representar lineamentos estruturais ou geo morficos, conduzem geralmente a acentuados contrastes tonais.

Dentro desse contexto buscou-se o estabelecimento e ava liação de uma metodologia para a identificação, extração e classificação de lineamentos tonais, presumivelmente associados a lineamentos estru turais, através de técnicas de realce por filtragem digital em imagens LANDSAT/TM. Deve-se salientar que a metodologia aqui desenvolvida não foi utilizada na realização do trabalho proposto nessa dissertação, por ser uma metodologia relativamente nova com desenvolvimento ainda incipiente e de difícil aplicação para areas muito extensas como a enfocada, optando-se para tanto, pelo método de interpretação visual.

Fica porem, reportado aqui, o trabalho realizado, como uma forma alternativa para o auxílio à interpretação estrutural em areas pre-cambrianas.

L.2 - AREASTESTE

Como areas teste para este estudo foram escolhidas uma região próxima à represa de Paraibuna, processada em escala 1:50.000 e 1:25.000 e outra região na divisa entre os estados de São Paulo e Rio de Janeiro, na Serra dos Órgãos, processada em escala 1:100.000 (Figura L.1).

Para a seleção destas áreas levou-se em consideração os seguintes fatores:

- a) Existência de lineamentos estruturais bastante visíveis nas direcões N45E, N45W e EW, sendo que o Norte considerado aqui não é o verdadeiro, mas sim a direção perpendicular à varredura do sistema sensor. Essas direções foram escolhidas devido à existência de filtros apropriados para seu realce já implantados no sistema Image-100 (ver item 3).
- b) Baixa atividade antrópica de maneira a evitar que lineamentos to nais causados pela separação de culturas pudessem ser também clas sificados.
- c) Relevo pouco acidentado e/ou homogêneo para evitar que o sombrea mento causado por grandes elevações escondam os sombreamentos me nores causados por variações sutis do relevo.

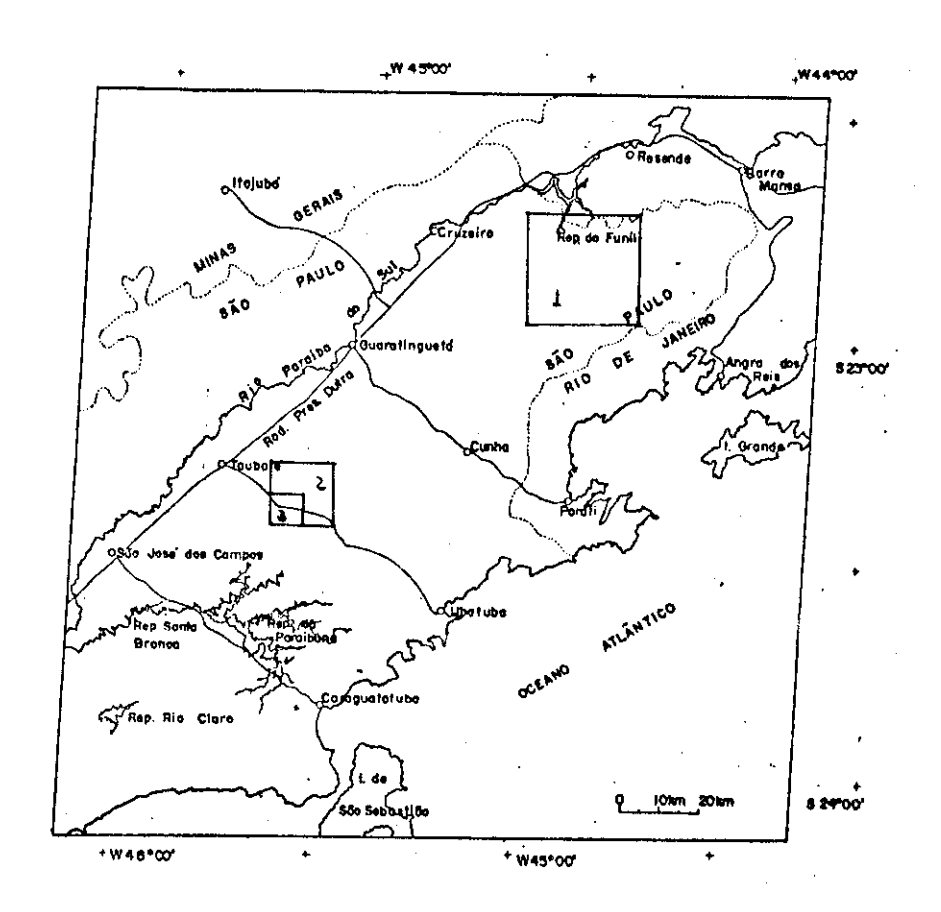


Fig. L.1 - Localização das areas teste processadas nas escalas:
1) 1:100.000, 2) 1:50.000 e 3) 1:25.000.

L.3 - MATERIAL UTILIZADO

Os dados TM foram utilizados na forma digital, gravados em fitas magnéticas compatíveis com computador (CCT) nas bandas 3, 4 e 5, re ferentes à passagem de 22/06/84, orbita 218/ponto 76.

Esses dados foram tratados no sistema Analisador Multies pectral Image-100 (I-100) e os resultados obtidos em seu terminal de $v\bar{1}$ deo foram fotografados para posterior análise e colocação na forma de mapa.

L.4 - DESENVOLVIMENTO DA METODOLOGIA

A metodologia adotada fundamenta-se no metodo de convol<u>u</u> ção, de maneira a produzir realces direcionais em imagens digitais. Con volução é o movimento (pixel por pixel, linha por linha) de um filtro (janela ou mascara) através de uma imagem. Elementos sucessivos da imagem são multiplicados pelos valores da "mascara" e os produtos são soma dos de maneira a produzir uma imagem filtrada.

Esta técnica consiste pois, em manipular os níveis de cinza da imagem de maneira a realçar os contrastes claro-escuro geralmen te existentes em lineamentos topográficos, causados pela face iluminada do relevo e pela sua sombra, traduzindo-se em lineamentos tonais que podem ser classificados de maneira automática.

Moore e Waltz (1983), baseados em 8 filtros direcionais (máscaras de 3x3) procuraram uma maneira para, de forma objetiva, real car e extrair lineamentos de imagens digitais. Este trabalho foi o ponto de partida para o desenvolvimento da metodologia aqui aplicada.

A seguir apresenta-se uma sequência de passos que indicam a sistemática adotada para identificar, classificar e extrair lineamen tos tonais de imagens digitais. A mesma sequência apresentada foi aplica da as três áreas teste nas escalas 1:100.000, 1:50.000 e 1:25.000.

19 passo: realce por componentes principais

O fato de dispor-se de imagens multiespectrais faz com que se tenha uma grande quantidade de informações muitas vezes despreza da ao analisar-se uma só banda. A aplicação de técnicas de realce de li neamentos tonais a cada banda separadamente tornaria o processo demorado e subjetivo por gerar um acúmulo de dados, difíceis de serem tratados.

Assim, procurou-se reunir a maior quantidade de informa ções em um unico canal pelo método das componentes principais (Câmara Neto et alii, 1980).

Devido ao programa PRINCO (principais componentes) implementado no I-100, trabalhar com quatro canais e ter-se disponíveis apenas três bandas (3, 4 e 5), optou-se por gerar um quarto canal atraves da técnica de razão entre canais (Almeida Filho e Vitorello, 1982). Uma análise visual mostrou que entre as razões obtidas, a 5/3 possuía maior quantidade de informação.

Varios testes foram feitos, aplicando-se a filtragem sobre a banda 4 do TM (que apresenta melhor visibilidade dos lineamentos) e sobre a primeira componente principal obtida a partir das bandas 3, 4, 5 e da razão 5/3. Esta última mostrou melhores resultados.

20 passo: filtragem passa-baixa

Quando o realce de lineamentos por filtragem passa-alta é feito sobre uma imagem de alta frequência espacial, a imagem resultante mostra uma grande quantidade de segmentos de linhas finas e curtas em seu histograma de frequência espacial.

Utilizando-se primeiramente um filtro passa-baixa, suavizam-se os contrastes tonais (diminuição da frequência espacial). Com a filtragem passa-alta posterior ter-se-a menor quantidade de segmentos de linhas e estes serão tanto mais espessos e compridos quanto mais "forte" for o filtro passa-baixa anteriormente aplicado.

Assim, como segundo passo, utilizou-se um filtro passa -baixa caracterizado por uma máscara 3x3 e com valor 1 para todos os ele mentos do filtro (Figura L.2).

1	1	1
1	1	1
1	1	1

Fig. L.2 - Mascara 3x3 utilizada na filtragem passa-baixa.

30 passo: filtragem directional passa-alta

Através de filtros do tipo passa-alta é feito o realce dos lineamentos tonais da imagem de maneira seletiva, aplicado à determinada direção que se queira realçar.

Este processo consiste em aumentar o contraste de bordas e segmentos de linhas aproximadamente na direção desejada, tornando as sombras mais escuras e a porção iluminada do relevo mais clara.

Neste caso, os filtros sugeridos por Paradella e Dutra (1980) mostraram-se mais eficientes que os de Moore e Waltz (1983).

Os filtros usados com os seus respectivos valores foram:

a) A B valores para realce de direção N45E A D B
$$A = -1$$
 B = 1 C = 10 D = -2 D C D B D A valores para realce de direção N45W B A = 1 B = -2 C = 10 D = -1

Os valores para os elementos do filtro em cada caso <u>fo</u> ram obtidos empiricamente através de vários testes até a obtenção de <u>re</u> sultados satisfatórios.

O fato de terem sido utilizados valores que caracteri zam estes filtros como "fortes" causa a destruição das informações espaciais não associadas aos lineamentos tonais.

40 passo: classificação

Apos a aplicação dos filtros realçando os lineamentos to nais em cada uma das direções desejadas foi feita a classificação.

Para isso associou-se a uma classe os "pixels" contendo os níveis de cinzamais escuros da imagem, perfazendo um total de 10% dos pixels da tela (valor sugerido por Moore e Waltz, 1983). Na tela do I-100, que contem 512 x 512 pontos, isto corresponde a 26.214 pixels. Estes pixels classificados correspondem aproximadamente as sombras realça das de acordo com o procedimento descrito no 3º passo. Tais sombras coincidem com lineamentos tonais na imagem, que por sua vez correspondem a lineamentos de relevo que podem traduzir lineamentos estruturais.

Após associar-se essas sombras a um tema (uma cor) pôde-se obter na tela do I-100 unicamente os lineamentos na direção deseja da. Os lineamentos classificados na direção desejada podem ser sobrepos tos à sua imagem de origem (1ª componente principal), permitindo avaliar a eficácia do procedimento automático.

L.5 - RESULTADOS OBTIDOS

Para melhor avaliação dos resultados fez-se uma comparação entre os lineamentos extraídos visualmente da composição colorida obtida com as bandas 3, 4 e 5 (azul, verde e vermelho, respectivamente) (Figuras L.3 e L.4), a imagem da primeira componente principal (Figura L.5) e os lineamentos obtidos pelo processo automático. Tal comparação foi feita para as escalas 1:100.000, 1:50.000 e 1:25.000, esta última amplia da pelo processo de interpolação de pixels.



Fig. L.3 - Composição colorida com bandas 3, 4 e 5 do TM (azul, verde e vermelho, respectivamente) obtida em escala 1:50.000.

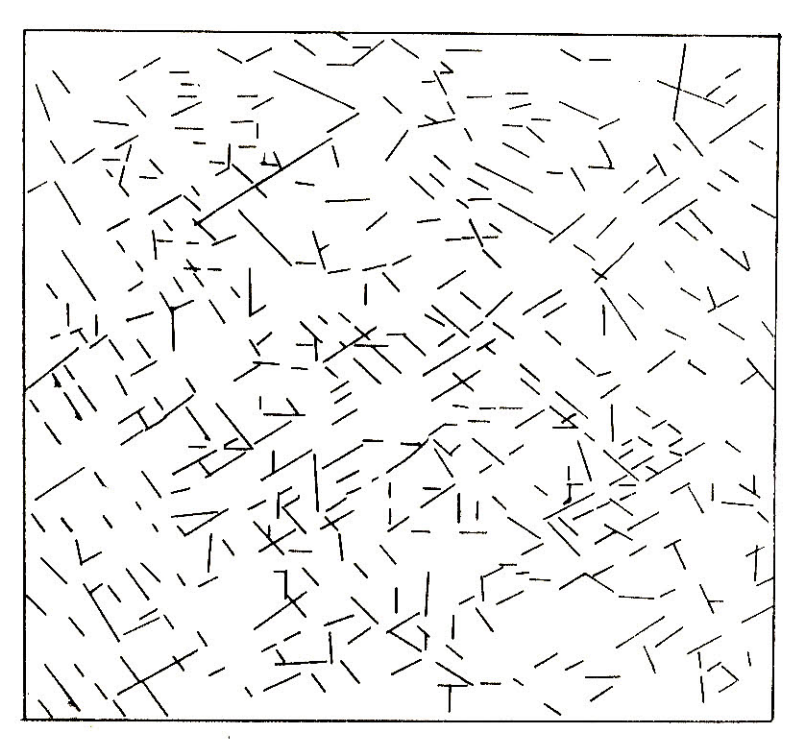


Fig. L.4 - Lineamentos estruturais extraídos \bar{a} partir da Fig. L.3.



Fig. L.5 - Primeira componente principal da area teste 2, com escala 1:50.000.

Os melhores resultados foram obtidos para a escala 1:50.000, por haver maior correspondência entre o número de pontos na tela do I-100 e o número de pixels na imagem. Os resultados das filtra gens e respectivas classificações na escala 1:50.000, são apresentados nas Figuras L.6 e L.7 para a direção NE, Figuras L.8 e L.9 para a direção NW e Figuras L.10 e L.11 para a direção E-W.

Para a area teste trabalhada em escala 1:50.000, obser vou-se grande correspondência entre os lineamentos tonais classifica dos e os lineamentos estruturais extraídos visualmente.

No entanto, verificou-se maior número de lineamentos nas classificações que na interpretação visual. Isto pode ocorrer devido ao realce de lineamentos sutis de difícil percepção, mas pode também relacionar-se a efeitos secundários (ruídos) causados pelo filtro passa-alto quando este for muito "forte".



Fig. L.6 - Filtragem usada para realçar lineamentos na direcão NE.

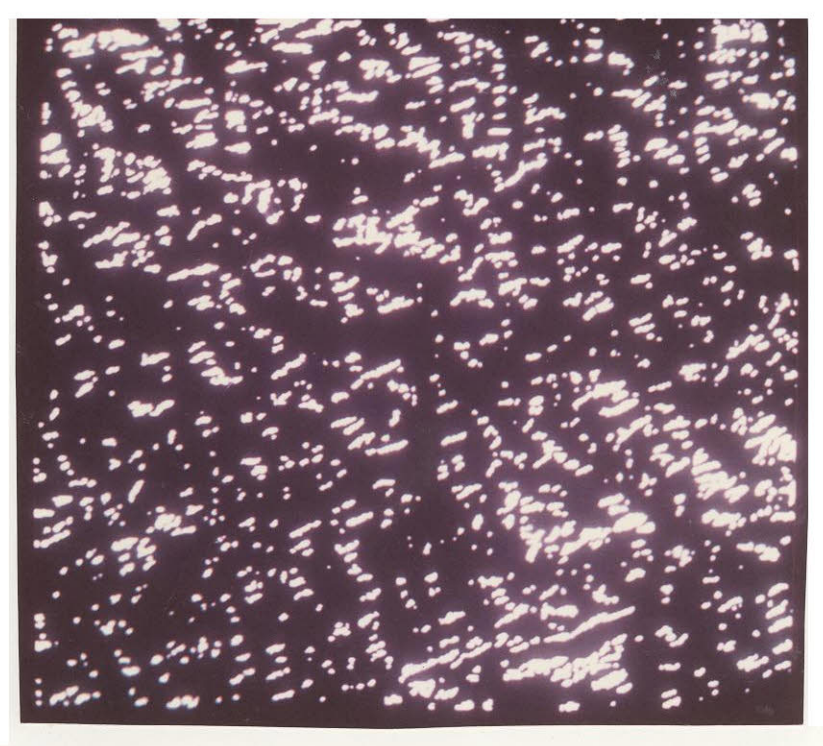


Fig. L.7 - Classificação dos lineamentos tonais na direção NE.



Fig. L.8 - Filtragem usada para realçar lineamentos na direção NW.

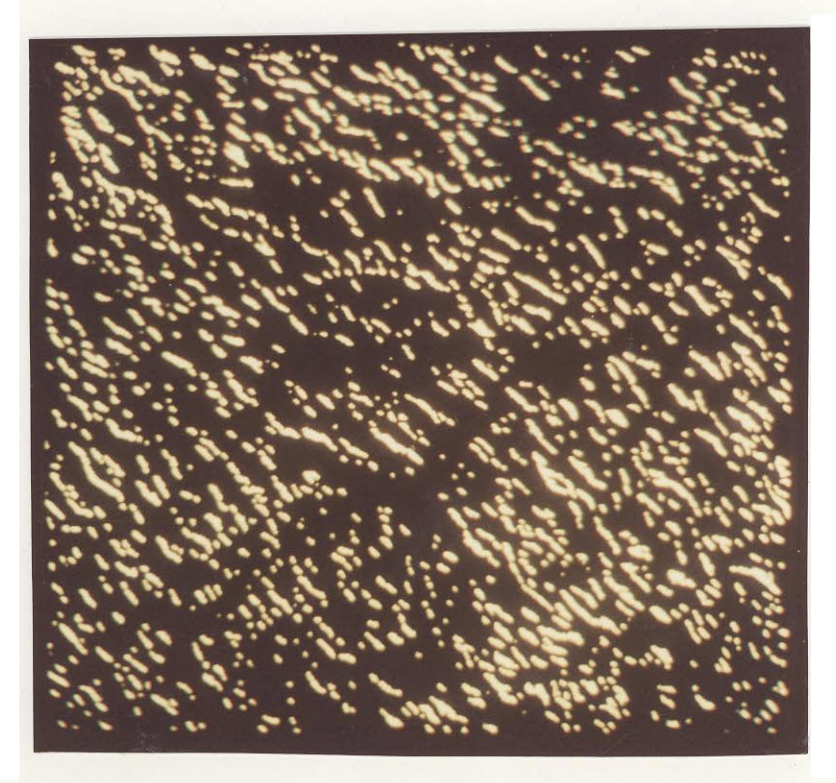


Fig. L.9 - Classificação de lineamentos tonais na direção NW.



Fig. L.10 - Filtragem usada para realçar lineamentos na direção E-W.



Fig. L.11 - Classificação dos lineamentos tonais na direção E-W.

L.6 - CONCLUSÕES E RECOMENDAÇÕES

O metodo aqui apresentado procura auxiliar e dinamizar a interpretação visual, estando no entanto sujeito a erros, que podem ser minimizados mas, talvez, não eliminados.

Desta forma, cabe ao usuario avaliar as vantagens e limitações do metodo e aplica-lo, de acordo com suas necessidades e objetivos de trabalho.

A combinação destas técnicas com a análise visual do foto intérprete, por certo produzirá excelentes resultados, desfrutando-se das vantagens do método sem absorver possíveis erros por ele introduzidos.

A continuidade dos trabalhos nesse sentido deve melhor analisar os efeitos de sombreamento causados por diferentes elevações e azimutes solares em função do tipo de relevo, novos filtros mais adequa dos à direções específicas e análise estatística dos resultados no sentido de eliminar dados anômalos considerados.